

55
19367

ГЕОХИМИЧЕСКИЕ КРИТЕРИИ ПОИСКОВ МЕСТОРОЖДЕНИЙ БОРА

АКАДЕМИЯ НАУК СССР

МИНИСТЕРСТВО ГЕОЛОГИИ СССР

ИНСТИТУТ МИНЕРАЛОГИИ, ГЕОХИМИИ
И КРИСТАЛЛОХИМИИ РЕДКИХ ЭЛЕМЕНТОВ

ГЕОХИМИЧЕСКИЕ
КРИТЕРИИ
ПОИСКОВ
МЕСТОРОЖДЕНИЙ
БОРА



МОСКВА, «НЕДРА», 1979

УДК 553.637 : 550.84

Геохимические критерии поисков месторождений бора/Э. К. Буренков, А. Д. Горшенин, И. П. Заревич и др. М., Недра, 1979, 155 с.

Книга посвящена распределению бора в осадочных, метаморфических и интрузивных (гранитоидных) породах в связи с формированием эндогенных и экзогенных ореолов бора скarnовых месторождений магнезиальной и известковой формаций. Приводится оригинальный аналитический материал, даются геохимические критерии по эндогенным и экзогенным ореолам рассеяния бора, рекомендации по проведению поисковых работ.

Книга рассчитана на геологов, геохимиков, занимающихся поисками месторождений бора.

Табл. 62, ил. 16, список лит.— 136 назв.

Авторы: Э. К. Буренков, А. Д. Горшенин, И. П. Заревич, В. А. Сухов, И. С. Шейнин.

Ответственный редактор член-корреспондент АН СССР
Л. Н. Овчинников

Выпущено по заказу Института минералогии, геохимии и кристаллохимии редких элементов.

Г 20806—470
043(01)—79 . 1904050000

© Институт минералогии, геохимии и кристаллохимии редких элементов (ИМГРЭ)
1979

ПРЕДИСЛОВИЕ

Развитие геохимии (в особенности прикладной) за последнее десятилетие и внедрение геохимических методов в практику поисково-разведочных работ на различные полезные ископаемые обусловлены постановкой работ по разработке методики геохимических поисков борных месторождений различных типов и главным образом эндогенных месторождений известково-и магнезиально-скарновой формаций.

Проблема поисков бора в настоящее время не потеряла своей актуальности. Достаточно сказать, что, поскольку за последние годы не выявлено ни одного сколько-нибудь значительного борного месторождения, внедрение в практику поисковых работ новых геохимических методов становится настоятельно необходимым.

В настоящей работе обобщаются результаты геохимических исследований, проведенных сотрудниками Ревизионно-тематической партии № 15 Центральной геохимической экспедиции ИМГРЭ, представляющие почти десятилетний труд специалистов-геологов, геохимиков, почвоведов, биогеохимиков и геоботаников.

Изложенные в работе материалы собраны по различным регионам: Камчатке, Приморскому и Хабаровскому краям, Читинской и Иркутской областям, Бурятской АССР, Казахстану, Средней Азии, Северному Кавказу, Закавказью, Горной Шории, югу Красноярского края, Закарпатью и др., охватывающим большую часть ландшафтных зон СССР (мерзлотно-таежную, южно-таежную немерзлотную, смешанных и широколиственных лесов, степную и полупустынную). Геохимические работы заключались в изучении закономерностей распределения микроэлементов и бора в рудах и околоврудном пространстве, водах, растениях, почвах, потоках рассеяния и корах выветривания. По итогам этих исследований разработана методика прогнозно-оценочных работ и геохимических поисков борных месторождений по эндогенным и экзогенным ореолам рассеяния, выявлены элементы-индикаторы борного оруденения, разработаны поисковые критерии и рекомендуются методы рациональ-

ного комплексирования при проведении поисковых работ.

В сборе и отработке фактического материала, помимо авторов, участвовали: В. Ф. Борисов, Н. Я. Игумнов, Е. В. Кубышкина, К. И. Кузина, Л. А. Лебедева, Л. Е. Леонова, А. Г. Лыхин, Г. Г. Меркулова, Н. И. Несвижская, В. И. Потапова, Ю. Е. Саэт, М. А. Федорова, А. В. Федоткин, Г. А. Фридман, И. В. Чернышева, В. А. Чижевская, А. Б. Шкарин, Б. С. Шустерман. Использован материал К. П. Атабекьянца, Э. Н. Баранова, А. А. Головина, О. С. Клюева, Э. С. Кравченко по распределению содержаний бора в неборных типах месторождений.

В процессе обработки материала, его подготовки к печати авторы неоднократно пользовались советами Э. Н. Баранова, А. С. Зверева, А. Е. Лисицына, И. Н. Резникова, Ю. Е. Саэта, А. А. Тарасова, К. М. Тесленко, Л. И. Шабынина.

Всем перечисленным товарищам авторы выражают глубокую признательность и благодарность.

ВВЕДЕНИЕ

Бор широко используется в различных областях народного хозяйства: в атомной, химической, стекольной и керамической промышленности, металлургии, медицине, сельском хозяйстве и др. Однако сфера его применения может быть значительно расширена при условии использования более дешевого сырья, что возможно лишь в результате вовлечения в сферу промышленности новых крупных месторождений в экономически освоенных районах, характеризующихся рудами, не требующими обогащения (или легко обогатимыми) при простой и дешевой технологии извлечения из них бора.

В настоящее время известно более 120 борных минералов, из которых 80 составляют бораты, значительно меньшее распространение имеют боросиликаты, алюмоборосиликаты и совсем редки борфториды, борхлориды, борфосфаты.

Вопрос о выделении промышленных типов является одним из актуальных в практической геологии. При отнесении минерального типа к промышленному различные исследователи и геологи-практики применяют весьма разнообразные критерии, главными из которых являются масштабы оруденения, геологическое положение, глубина залегания, наличие апробированных технологических схем обогащения, географо-экономические условия и пр. В отношении месторождений бора преобладает генетический подход к классификациям при выделении промышленных типов (Курман, Мельницкий, 1955; Горбов, 1960; Сердюченко, 1960; Берлин, Перцев, 1961; Шабынин, 1961; Шабынин и др., 1964; Лисицын и др., 1966; Саэт и др., 1973; Шабынин, 1974; Лисицын, 1974). Это обусловлено тем, что усиленный интерес промышленности к бору и соответственно к поискам и освоению борсодержащих руд активизировался сравнительно недавно, в последние 15 лет, а генетические классификации несомненно играют главенствующую роль при поисковых работах. В этом смысле генетическая классификация эндогенных месторождений бора А. Е. Лисицына (1974) является наиболее полной. Нами в классификации месторождений бора (табл. 1) выделены только минеральные типы, для руд которых существуют экономические рентабельные схемы обогащения; они отрабатываются промышленностью или близки к промышленному освоению.

Мировая борная промышленность в настоящее время базируется преимущественно на месторождениях вулканогенно-осадочного типа. Между тем месторождения магнезиально-скарновой формации (курчатовит-сахайтовые, людвигитовые и др.) в

Таблица 1

Классификация промышленных типов месторождений бора

Генетический тип	Минеральный тип ²	Ассоциирующие минералы бора	Сопутствующая рудная минерализация
Галогенно-осадочный	Преображенский-вый	Калиборит, боразит, гидроборасит, ашарит, хильгардит, джинорит, пинонит, кургантит	Калийные соли
Соляной калийно-магнезиальный	Ашаритовый Гидробораситовый	Гидроборасит, улексит Ашарит, улексит	" " "
Эловиальные гипсовые коры выветривания соляных куполов	Колеманитовый	Улексит, говлит, пробергит, террит, гидроборасит, иньонт, мейергофферит, пандермит	Минералы Sz, As, гипс
Вулканогенно-осадочный	Тинкалконит-кернитовый	Тинкалконит, пробергит, говлит, улексит, колеманит, бура, витрит	Сульфиды Fe, As, Sb
Погребенный	Пандермитовый	Сассолин, гидроборасит, курнаковит, иньонт	Минералы Li, гипс
	Бура-улекситовый	Тинкалконит, спирозит, колеманит, пандермит	Минералы As, Sh, Li, гипс, калийные соли, селитра, трона, сода и др.
Современный			

Скарновый

Магнезиальной формации ¹	Суанитовый	Людвигит, котонт, ссайбеллит, флюоборит, варвикит, аксинит, турмалин	Оловянная, железная
	Котонтовый	Суанит, людвигит, ссайбеллит, флюоборит, варвикит, аксинит, турмалин	Оловянная, золотая
Людвигитовый	Суанит, ссайбеллит, флюоборит, сингаит, серендибит, турмалин	Магнетитовая, оловянная	
Ссайбеллитовый	Суанит, людвигит, флюоборит	Магнетитовая, висмутовая	
Сахант-курчатовито- вой	Людвигит, суанит, котонт, флюоборит, варвикит, ссайбеллит-уссексит, фроловит, пентагидроборасцит, вимсит, солонгойит, джимбонит, канит, датолит, боркарит, сибирскит, данбурит, турмалин	Магнетитовая, медная, оловянная, цинковая, золотая, кобальтовая, молибденовая, вольфрамовая	
Известковой фор- мации ²	Датолитовый	Данбурит, аксинит, турмалин	Полиметаллы, молибденовая, золотая, кобальтовая, медная, железная
	Данбуритовый	Датолит, аксинит, турмалин	Оловянная

¹ В тип магнезиальной формации включены также минеральные ассоциации, характерные для известкового известковоскарнового наложения.

² Минеральный тип определяется преобладающим минералом бора.

ближайшем будущем могут сыграть существенную роль в общем балансе борных месторождений.

Для бора характерно многообразие непромышленных скоплений, среди которых выделяются: а) находки отдельных минералов и минеральных ассоциаций, имеющие только минералогический интерес; б) значительные скопления минералов бора, для которых не отработаны экономически эффективные схемы обогащения и извлечения. Первой группе посвящено порядка 90% публикаций по борсодержащим минералам. Они охватывают все известные генетические типы рудных и нерудных полезных ископаемых. Вторая группа значительно более ограничена в количестве минеральных видов и генетических типов. Это ассоциации: турмалиновая, аксинитовая, дюмортьеритовая, данбуритовая.

Турмалиновая ассоциация образует несколько генетических типов, где содержания его составляют первые проценты: 1) турмалинизованные изверженные породы, где акцессорный турмалин достигает 10,6% (граниты лейкократовые, по Ляховичу, 1968); 2) турмалиновые сланцы, известные в древних толщах Алдана, Якутии, Средней Азии и др.; 3) турмалин в скарнах борных месторождений, где он образует значительные по объему индивидуализированные рудные тела с содержанием B_2O_3 до 7—10%; 4) турмалинсодержащие зоны разных типов грейзенов, кварц-турмалиновые брекции золоторудных месторождений. Здесь содержание турмалина также значительно, до 1% B_2O_3 .

Аксинитовая ассоциация интенсивно развивается, достигая значительных объемов и содержаний B_2O_3 , до 5—7%, в известковоскарновых месторождениях бора и некоторых других металлов, локализуясь, как правило, в терригенно-вулканогенно-карбонатных ритмичных толщах.

Дюмортьеритовая ассоциация развита в значительном объеме в формировании вторичных кварцитов (Акташский тип, Средняя Азия); здесь содержания бора достигают 1% на значительной площади.

Данбуритовая ассоциация весьма широко развита в разнообразных типах эндогенных ассоциаций (Лисицын, 1974). Здесь следует подчеркнуть широкое развитие акцессорного данбурита в месторождениях калийных солей типа Тюбе-Гатан в Средней Азии, где содержания данбурита достигают 8—10% и он распространен на значительной площади; примером могут служить также верхнеюрские отложения ангидритовой подсвиты гаурдакской свиты, где, по данным Ю. Е. Саэта и Г. А. Фридмана, содержание B_2O_3 достигает 1,22%.

Изучение ореолов бора и сопутствующих элементов должно базироваться на закономерностях распределения содержаний химических элементов в породах, почвах и т.д., не затронутых рудными процессами. В связи с этим в настоящей работе при-

водится раздел по распределению бора как основного компонента в различных типах изучаемых объектов.

В работе использованы результаты спектральных анализов более чем 80 000 геохимических проб. Ориентировочно по объектам опробования они распределены следующим образом: породы 25 000, почвы 36 000, растения более 15 000 и воды более 7 000 проб.

Все анализы на бор выполнены в лаборатории физических методов Бронницкой геолого-геохимической экспедиции ИМГРЭ спектральным количественным методом, а на другие элементы — спектральным приближенно-количественным методом. Данные по чувствительности анализов проб пород и почв, проводимых в лабораториях ИМГРЭ, приведены в табл. 2.

Анализ бора в водных и кислотных вытяжках, а также в водах и сухом остатке проводился в лаборатории партии химическим методом с «кристаллическим фиолетовым» по методике И. А. Блюма (1959). Замеры плотности производились на фотоэлектроколориметре ФЭК-М-56. При низкой плотности холостой пробы (буферный раствор) достигалась чувствительность определения бора, равная $(1-2) \cdot 10^{-5}\%$.

Таблица 2

Чувствительность определений химических элементов (в %)
в породах, почвах, растениях в лабораториях ИМГРЭ

Элемент	Алюмосиликаты	Карбонаты	Растения
Барий	1×10^{-2}	1×10^{-2}	3×10^{-2}
Бор	5×10^{-4}	1×10^{-3}	5×10^{-3}
Бериллий	1×10^{-4}	1×10^{-3}	3×10^{-4}
Ванадий	1×10^{-4}	3×10^{-4}	3×10^{-4}
Висмут	1×10^{-4}	3×10^{-4}	3×10^{-4}
Вольфрам	3×10^{-4}	3×10^{-3}	1×10^{-3}
Германий	1×10^{-4}	3×10^{-4}	—
Иттрий	3×10^{-4}	1×10^{-3}	1×10^{-3}
Иттербий	1×10^{-4}	1×10^{-4}	3×10^{-4}
Кадмий	3×10^{-4}	3×10^{-3}	—
Кобальт	3×10^{-5}	3×10^{-4}	5×10^{-4}
Литий	3×10^{-3}	1×10^{-2}	—
Марганец	3×10^{-4}	3×10^{-4}	1×10^{-3}
Медь	1×10^{-4}	1×10^{-4}	3×10^{-4}
Молибден	5×10^{-5}	1×10^{-4}	5×10^{-4}
Мышьяк	1×10^{-2}	3×10^{-2}	3×10^{-2}
Никель	1×10^{-4}	1×10^{-4}	—
Олово	1×10^{-4}	3×10^{-4}	3×10^{-4}
Свинец	1×10^{-4}	3×10^{-4}	3×10^{-4}
Серебро	5×10^{-6}	3×10^{-5}	5×10^{-5}
Стронций	3×10^{-3}	3×10^{-3}	—
Сурьма	3×10^{-3}	3×10^{-3}	—
Титан	5×10^{-4}	5×10^{-4}	5×10^{-3}
Хром	1×10^{-3}	1×10^{-3}	1×10^{-3}
Цинк	1×10^{-3}	1×10^{-2}	3×10^{-3}
Цирконий	1×10^{-3}	3×10^{-3}	3×10^{-3}

Часть I

РАСПРЕДЕЛЕНИЕ БОРА В ПОРОДАХ, ПОЧВАХ, РАСТЕНИЯХ, ВОДАХ

В природе бор широко распространен, особенно в малых концентрациях (табл. 3). Помимо собственных минералов он об-

Таблица 3
Распространенность бора в литосфере и гидросфере, %

Литосфера и гидросфера	А. Е. Ферсман, 1933, 1939	А. П. Виноградов, 1962	В. М. Гольдшмидт и Г. Петерс, 1932	Д. Грейв, 1969	Г. Хардер, 1965
Земная кора	$1 \cdot 10^{-3}$	$3 \cdot 10^{-4}$	$1 \cdot 10^{-3}$	—	—
Морская вода	$1,5 \cdot 10^{-2}$	—	$1,5 \cdot 10^{-2}$	—	—
Осадочные породы	—	$1 \cdot 10^{-2}$	$8,5 \cdot 10^{-3}$	—	$8,5 \cdot 10^{-3}$
Магматические породы	—	—	$3 \cdot 10^{-4}$	$3 \cdot 10^{-4}$	$1 \cdot 10^{-3}$
Почвы	—	$1 \cdot 10^{-3}$	—	—	—
Растения (зола)	—	—	—	—	$7 \cdot 10^{-2}$

наруживается в виде изоморфной примеси или в сорбированной форме, входит в состав многих изверженных и осадочных пород, почв и растений. Кроме того, он присутствует в разнообразных водах, сопочных грязях и т. д. Имеющийся огромный фактический материал по распределению содержания бора в различных компонентах литосферы, гидросферы и биосферы распылен в различных изданиях, частично неопубликован. В рамках данной работы не представляется возможным изложить хотя бы большую его часть. В связи с этим авторы сочли необходимым привести лишь основные закономерности распределения его содержания.

Глава 1

БОР В ОСАДОЧНЫХ ПОРОДАХ

Распространенность бора в осадочных породах, по мнению большинства авторов, характеризуется величиной порядка $110-120 \text{ млн}^{-1}$. Содержания бора в различных литологических разностях варьируют в широких пределах — от единиц в известняках до 1000 млн^{-1} в глинах, достигая 3000 млн^{-1} в глауконитовых песках.

На степень концентрации бора в осадочных породах влияют многочисленные и разнообразные факторы, такие как литологический и минеральный состав, фациально-генетические условия осадконакопления, соленость и химизм водного бассейна, наличие и количество пирокластического материала, присутствие органических соединений, формы нахождения бора, сортированность материала и гранулометрический состав, характер и степень диагенетических и эпигенетических изменений и др. Ниже рассмотрим некоторые из них. Влияние минерального состава на бороносность пород весьма убедительно доказано Г. Хардером (1965). Отметим, что содержания бора в осадочных отложениях существенно изменяются и находятся в зависимости от количества и состава иллитовой составляющей, отличающейся наиболее высокими содержаниями бора по сравнению с большей частью пордообразующих минералов.

Наиболее существенные и стабильные различия в содержаниях бора (табл. 4) устанавливаются при сравнении литологических разностей пород. Наблюдается четкая тенденция к возрастанию его содержания по мере уменьшения зернистости пород, т. е. от гравия и песков к алевролитам и глинам, а в известняках отмечается резкое снижение его концентраций.

Эта закономерность проверена на многочисленных разрезах отложений разного возраста, происхождения и состава (использованы данные по районам Закарпатья, Закавказья, Камчатки и некоторые другие). При этом величины содержаний и степень контрастности устанавливаемых различий могут значительно изменяться. Например, отложения морского происхождения обычно характеризуются более высокими содержаниями бора по сравнению с однотипными разностями пород озерного генезиса. Для последних выявляется и более слаженный характер кривой распределения бора по литологическим типам пород, т. е. меньшая, чем для морских отложений, контрастность изменения содержаний, что является следствием худшей сортировки терригенного материала в озерных фациях.

Проследить такую закономерность можно на разрезе песчано-глинистых отложений. Так, в песчаных разностях по мере их перехода от крупнозернистых к тонкозернистым или от песчаников к глинистым песчаникам во всех случаях наблюдается повышение содержаний бора, хотя и не всегда значительное. Безусловно, это относится только к тем отложениям, где собственно борные минералы отсутствуют.

Для осадочных отложений из вулканогенно-осадочных толщ (главным образом глин и песчаников) характерны понижения содержания бора (табл. 5). Появление пирокластического материала в известняках или известковистых разностях пород с низкими содержаниями бора может привести и к повышению его содержаний. Несмотря на это максимальные содержания бора по-прежнему отмечаются в глинистых и алевритистых раз-

Таблица 4

Средние содержания бора в песчано-глинистых и известковистых разностях пород неогенового возраста, млн^{-1}

Структура, возраст отложений	Песчаники				Алевролиты				Глины, аргиллиты				Известники				Литотипы X
	N	\bar{x}	Пределы содержания	N	\bar{x}	Пределы содержания	N	\bar{x}	Пределы содержания	N	\bar{x}	Пределы содержания	N	\bar{x}	Пределы содержания	N	
<i>Морские фации</i>																	
Закавказье																	
Гурийская впадина	19	45	26—86	—	61	20—150	19	74	32—100	—	2	34	—	—	—	—	—
Араатская долина	19	42	20—90	42	64	20—100	33	67	33—110	—	—	—	—	—	—	—	—
средний сармат	9	32	10—60	21	64	20—100	15	64	30—100	—	—	—	—	—	—	—	—
нижний сармат	7	46	20—100	9	47	38—80	5	60	30—80	—	—	—	—	—	—	—	—
чокрак-конк	3	64	40—90	7	86	40—150	—	—	—	2	34	—	—	—	—	—	—
Ленинаканская впадина	10	32	—	—	—	—	86	59	—	1	19	—	—	—	—	—	—
Приеревинский бассейн	23	45	—	—	—	—	41	84	—	3	17	—	—	—	—	—	—
Карталинская депрессия	166	48	23—210	—	—	—	205	120	24—350	18	14	9—24	—	—	—	—	—
верхний сармат	104	55	25—150	—	—	—	149	110	37—220	—	—	—	—	—	—	—	—
средний сармат	10	41	23—70	—	—	—	18	98	58—160	3	11	9—13	—	—	—	—	—
нижний сармат	2	38	—	—	—	—	21	180	92—300	2	18	14—22	—	—	—	—	—
караган-конк	4	44	31—66	—	—	—	6	170	78—350	4	15	9—17	—	—	—	—	—
чокрак	5	130	80—210	—	—	—	9	140	24—200	—	—	—	—	—	—	—	—
сакараул-коцахур	41	21	13—37	—	—	—	—	—	—	—	—	—	—	—	—	—	—
<i>Озерные фации</i>																	
Севанская впадина	26	18	7—33	4	37	30—50	25	35	7—70	5	16	10—30	—	—	—	—	—
Аbastуманский район	23	26	15—36	—	—	—	6	41	33—54	—	—	—	—	—	—	—	123
Урут-Шамбская впадина	52	29	—	60	30	—	56	46	—	—	—	—	—	—	—	—	44
Кисатибское месторождение	27	29	7—100	—	—	—	4	35	7—61	—	—	—	—	—	—	—	—
Закарпатье (в целом)	150	60	12—180	131	89	18—220	346	95	20—260	—	—	—	—	—	—	—	—

Примечания: 1. Морские отложения Карпатской депрессии представлены в относительно глубоководных фациях по сравнению с отложениями

ностях пород. Однако различия в содержаниях между основными разностями пород менее контрастны. Так, песчаники из толщ характеризуются весьма близкими, а глины — резко пониженными содержаниями бора по отношению к его кларку.

Как отмечалось выше, на бороносность отложений существенно влияют фациальные условия их образования (см. табл. 4). Все без исключения литологические разности пород, образовавшиеся в морских условиях, обогащены бором по сравнению с отложениями озерного происхождения, причем содержания в них выше почти в два раза. Эти различия более контрастны при сравнении континентальных образований с морскими отложениями без значительной примеси тuffогенного материала, присутствие которого, как указывалось выше, сопровождается снижением содержаний. При общей тенденции к накоплению бора в породах морского генезиса различия в его содержаниях возрастают по мере увеличения зернистости пород (максимальны в известняках.)

Полученные результаты хорошо согласуются с данными Г. Хардера (1965), установившего, что иллиты генетически различных глин характеризуются следующими содержаниями бора: соленоносные глины выше 1500 млн^{-1} , морские глины порядка нескольких сотен млн^{-1} , озерные глины — значительно меньшими величинами. Иллиты из доломитов более обогащены бором (300 млн^{-1}) по сравнению с иллитами из известняков (200 млн^{-1}).

Полученные сравнительные данные по бороносности песчано-глинистых отложений морского происхождения дают основание утверждать об определенно существующем повышении содержаний бора в глинах, образовавшихся в относительно глубоководных условиях, по сравнению с глинами прибрежных частей этих же бассейнов. Для песчанистых разностей может наблюдаться и обратная зависимость. Изучение в многочисленных разрезах, охватывающих полный цикл осадконакопления от начала трансгрессии до конца регрессии, показало неоднородный характер распределения содержаний бора. На общем фоне выделяется повышенная бороносность отложений базального горизонта. Для глинистых разностей отмечается рост содержаний снизу — вверх, достигающий максимальных значений в горизонтах, образовавшихся в период максимальной трансгрессии моря и стабилизации бассейна. С наступлением регрессии моря проявляется тенденция, заключающаяся в понижении содержаний бора. Аналогичную закономерность, но при меньшей контрастности изменения содержаний можно проследить на примере одного горизонта, сложенного только песчаниками. Так, в песчаниках близкого минерального состава сакараул-коцахурского возраста (Карталинская депрессия) отмечается повышение содержаний бора в средней пачке (всего их выделено три), образовавшейся в период максимального погружения дна бассейна. В

Средние содержания бора в основных разностях осадочных пород

Регион	Песчаники			Алевролиты		
	N	\bar{X}	Пределы содержания	N	\bar{X}	Пределы содержания
Закавказье:						
Ахалцихский р-н	109	27	7—45	—	—	—
Сисианский р-н	52	29	—	60	30	—
Закарпатье	46	47	7—300	6	49	25—78
Камчатка	108	15	6—26	55	18	10—100

песчаниках верхней и нижней пачек содержания бора снижаются, причем по содержаниям кислотнорастворимого бора отмеченные различия более контрастны.

С целью получения более представительного материала, исключающего влияние различного состава терригенного материала, подобраны пробы из одних и тех же стратиграфических горизонтов, представленные чередованием слоев глин (43 пробы) и песчаников (34 пробы) различной мощности, что всегда можно наблюдать в пределах одного законченного цикла осадкообразования.

Глины и песчаники из глинистых пачек с прослойями песчаников характеризуются более высокими концентрациями бора по сравнению с теми же разностями пород из песчанистых пачек с маломощными прослойями глин (табл. 6). Такое изменение

Таблица

Средние содержания бора в глинах, песчаниках из переслаивающихся горизонтов различной мощности

Соотношение мощностей слоев глин и песчаников в разрезе	Содержание бора, млн ⁻¹	
	в глинах	в песчаниках
Мощность глин значительно превышает (более чем в 10 раз) мощность слоев песчаников	100	60
Мощность глинистых прослоев значительно меньше (более чем в 5 раз) мощности песчаников	56	49

содержаний бора является вполне закономерным, так как породы в монотонных мощных горизонтах лучше отсортированы, причем с уменьшением мощности слоев отмечается снижение содержаний бора в глинах в результате увеличения в них песчанистого материала.

Таблица 5

диз вулканогенно-осадочных толщ неогенового возраста, млн⁻¹

N	\bar{x}	Глины		Диатомиты	Туфодиатомиты	Диатомовые глины
		Пределы содержаний				
78	42	30—61		13	22	—
56	46	—		21	—	35
13	69	19—180		—	—	—
3	24	22—30		—	—	—

Таким образом, фациальные условия (морские, озерные) образования отложений не влияют на общий характер распределения бора по профилю, а лишь обусловливают его абсолютные содержания и определяют степень различий в содержаниях между однотипными разностями пород. На дифференциацию глинистых отложений по содержанию в них бора указано в работе А. А. Левинсона и Д. К. Людвига (1967), где отмечается постепенное изменение содержаний бора в глинистых осадках по мере продвижения от устья реки к открытому океану, что соответствует изменению размерности глинистых частиц.

Характер распределения бора в осадочных отложениях, изученных по отдельным разрезам, пачкам, толщам и т. д., не изменяется и подтверждает лишь выводы, полученные по обобщенным выборкам (району, стратиграфическому горизонту).

По мнению В. В. Бирюкова (1966), существует зависимость содержаний бора в осадочных породах от количества его в продуктивных бассейнах. Максимальные содержания бора приурочены к фациям соленосных водоемов, лагун и убывают в направлении фаций открытого моря.

Г. Хардером (1965) отмечался рост содержаний бора по мере увеличения солености бассейна в период осадконакопления. Впервые на этот факт обратил внимание С. Ландергрен (1964). При сравнении данных Г. Хардера с полученными результатами по различным регионам СССР выясняется, что в подавляющем большинстве случаев имеющиеся в нашем распоряжении результаты в два и более раза ниже. Так, например, по данным С. М. Кореневского и К. Б. Донченко (1963), в соленосных отложениях Предкарпатья установлены содержания бора в пределах 10—290 млн⁻¹; количество его прямо пропорционально количеству нерастворимого остатка породы. В растворимой части пород бор не был обнаружен. В целом для соленосных образований содержания бора в растворимой части составляют 300 млн⁻¹, а в нерастворимой 1200—2150 млн⁻¹, а для нормальных морских 80—100 млн⁻¹ против 100—220 млн⁻¹.

бора. И только для отложений Соликамско-Березниковского района результаты имеют близкое значение.

Наличие существенно различных содержаний бора в глинах разного генезиса приводит к мысли о возможности расчленения осадочных пород, образовавшихся в неодинаковых условиях, по содержаниям в них бора. Эта идея высказана С. Ландергреном и В. М. Гольдшмидтом. В дальнейшем она на основании фактического материала была четко сформулирована Э. Дегенсоном (1967), который утверждает, что среди рассеянных элементов служащих критериями для распознания, скажем, морских или пресноводных осадков, в настоящее время наиболее хорошо изучен бор. Далее он считает, что неуверенность в надежности бора как критерия среди возникает там, где континентальные коренные породы уже обогащены им, или там, где в результате наземной вулканической деятельности образуется большое количество борной кислоты. Г. Хардер (1965), указывая на этот факт, отмечает, что, кроме солености, содержания бора в осадочных породах в значительной мере обусловливаются происхождением слагающего их материала и размерами его зерен. Следует лишь добавить, что смена направления или источника сноса терригенного материала приведет также к изменению (и в некоторых случаях весьма существенному) содержания бора в осадке.

Некоторые авторы, в частности Д. П. Сердюченко и др. (1967), указывают на уменьшение боросодержания от древних к более молодым геологическим отложениям (например, для глинистых пород от 100 до 30 млн^{-1} B_2O_3). Анализируя материалы различных исследователей по отдельным геологическим формациям, приходится констатировать, что отмеченная закономерность имеет локальный характер и, как правило, не проявляется в других регионах. Так, по данным С. Ландергрена, приводимым Г. Хардером (1965), максимальными содержаниями (выше 100 млн^{-1}) бора характеризуются глины кембрия и карбона. Всегда это находит подтверждение в работах по Среднему Предуралью А. А. Оборина и И. Э. Залкинд (1964), по Приэльбрусью Ю. А. Будзинского (1965), по Донецкому бассейну М. А. Каракасик и др. (Литология и полезные ископаемые, 1964), по Предкарпатию С. М. Кореневского и К. Б. Донченко (1963), по Тянь-Шаню В. Д. Отрощенко (1967), по Средней Азии В. В. Вирович и М. Ф. Зенина (1966).

В практической деятельности часто приходится иметь дело с карбонатными разностями глин и песчаников, где карбонатный материал служит цементом или находится в виде обломков. Полученные данные по неогеновым отложениям Карталинского депрессии (Закавказье) свидетельствуют о значительном снижении содержаний общего бора по мере роста карбонатной составляющей (табл. 7). Различия в содержаниях бора более контрастны в глинах по сравнению с песчаниками (табл. 8).

Таблица 7

Средние содержания общего бора в глинах и песчаниках различной степени карбонатности, млн^{-1}

Фация	Возраст отложений	Литологические разности	Содержание карбоната кальция в породе, %					
			До 30		30—50		>50	
			\bar{X}	Пределы содержаний	\bar{X}	Пределы содержаний	\bar{X}	Пределы содержаний
Морская континентальная	Чокрак Верхний сармат	Глины	124	58—200	24	10—30	—	—
			108	52—180	80	50—130	—	—
		Песчаники	58	47—80	48	30—76	31	26—34

Таблица 8

Средние содержания бора в кислотных вытяжках из глин и песчаников различной степени карбонатности, млн^{-1}

Фация	Возраст отложений	Литологические разности	Содержание карбоната кальция в породе, %					
			До 30		30—50		>50	
			N	\bar{X}	N	\bar{X}	N	\bar{X}
Континентальная	Верхнесарматский	Глины Песчаники	25 9	26 20	10 7	40 30	— 3	— 40
Морская	Среднесарматский	Песчаники	2	25	11	17	—	—
	Нижнесарматский, чокракский	Глины	22	52	23	22	—	—

Влияние гранулометрического состава глин на концентрацию в них бора (табл. 9) можно проследить на примере морских от-

Таблица 9

Средние содержания бора в различных фракциях миоплюценовых глин, млн^{-1}

Район	Размер частиц, мм				
	<0,005	0,01—0,005	0,05—0,01	0,1—0,05	0,25—0,1
Карталинский	137	76	59	49	—
Гурдийский	67	59	50	37	19
Севанский	27	36	31	28	25

ложений караган-конка и нижнего сармата районов Гуринской впадины и Карталинской депрессии, а также озерных глин сарматской толщи (Севанский участок). В пределах одного района глинам, отобранным из различных стратиграфических горизонтов, присущ более постоянный гранулометрический состав, хотя в Гуринской впадине различия существенны. Наблюдается снижение содержаний бора по мере роста размеров частиц. Во всех трех районах наиболее высокие его концентрации установлены в тонких ($<0,005$), а низкие — в грубых (0,25—0,1) фракциях. Аналогичная закономерность в распределении бора отмечена для глин из различных стратиграфических горизонтов. Глины Карталинской депрессии по сравнению с глинами Гуринской и особенно Севанского участков обогащены бором. Это устанавливается как по общему его содержанию, так и по содержанию в различных гранулометрических фракциях: чем лучше отмыт и отсортирован материал, слагающий породу (глины Карталинской депрессии), тем выше ее бороносность и тем значительнее различия в содержаниях между наиболее тонкими и грубыми фракциями.

Г. Хардер (1965) отмечает два максимума концентраций бора. Один из них расположен в чрезвычайно тонкозернистых фракциях, а другой — в песчаных. В последнем случае повышение содержаний бора обусловлены наличием турмалина. В тонких фракциях повышенные содержания бора объясняются адсорбцией глинистыми минералами.

В последние годы изучению форм нахождения элементов уделяется большое внимание. Они играют существенную роль в концентрации и распределении элементов в породах различного генезиса. Условия образования отложений определяют соотношение в них различных форм нахождения элементов и, в частности, бора. На примере осадочных отложений миоцена Карталинской депрессии изучены водно- и кислоторастворимые соединения бора и определена их доля в общем балансе (Буренков, Зарин, 1973). Установлены содержания сорбированного бора иллювиального краиной мере большей его части.

Бороносность глин и песчаников одного горизонта, толщи т. д. при постоянном минеральном составе терригенного материала находится в прямой зависимости от степени его сортированности. Чем лучше отмыты разности пород, тем выше дисперсия содержаний бора, повышающихся в глинах и снижающихся в песчаниках.

Установление соотношения изучавшихся форм нахождения бора в песчаниках и глинах приводит к выводу, что бор в них в основном присутствует в кислоторастворимых соединениях, также в сорбированной и изоморфной формах. Воднорастворимые соединения существенно не влияют на бороносность пород. Значительная доля сорбированного бора в общем балансе и переход его части в солянокислую 2%-ную вытяжку доказаны ав-

формами экспериментально. Аналогичные результаты изложены Хардером (1961 г.).

На основании изложенного можно сделать следующие выводы.

1. Степень концентрации бора в осадочных отложениях во многом определяется их литологическим и соответственно минеральным составом. Максимальные концентрации установлены в глинах и лигнитах, а минимальные — в известняках. Песчаники и более грубые разности занимают промежуточное положение. Существенное влияние на концентрацию бора оказывает состав цемента.
2. Содержание бора зависит от изменения фациальных условий осадкообразования. Морские фации (по сравнению с озерными) во всех литологических разностях город обогащены бором, причем морские относительно глубоководные фации более обогащены им, чем прибрежные.
3. В пределах одного законченного цикла осадкообразования наиболее высокие содержания бора отмечаются в отложениях средней части разреза. В однотипных отложениях снижение содержаний наблюдается по направлению к подошве и кровле изучаемого горизонта.
4. Однотипные литологические разности пород, образовавшиеся в сходных условиях, могут характеризоваться различными содержаниями бора. По мере увеличения мощности прослоев глин отмечается рост содержаний бора. Для песчаников устанавливается обратная зависимость. Частое переслаивание маломощных прослоев глин и песчаников приводит к инвертировке содержаний бора в результате перемешивания и худшей сортировки как глинистого, так и песчанистого материала. Сравнительные данные по различным стратиграфическим горизонтам отложений показывают, что с увеличением содержаний бора в глинах снижается его концентрация в песчаниках того же горизонта.
5. Повышение карбонатности отложений сопровождается снижением содержаний в них общего бора, которое проявлено более контрастно для глин, чем для песчаников. Содержания бора, извлекаемые 2%-ной кислотной вытяжкой, возрастают наряду с ростом карбонатности в отложениях континентальных и озерных фаций и снижаются в отложениях морского генезиса.
6. Общее содержание бора в изученных породах осадочного генезиса в основном определяется наличием кислоторастворимых его соединений, количеством сорбированного бора и изоморфно входящего в другие минералы. Содержание воднорастворимого бора не превышает 10% общего содержания.
7. Распределение бора в различных гранулометрических фракциях глин отражает закономерности, установленные на основании анализа общих содержаний. Увеличение размеров частиц сопровождается снижением содержаний бора. Во фракции $< 0,005$ мм наиболее высокие содержания бора установлены в тюрингите, монтмориллоните и лепидокроките, а каолинит и гидрослюды характеризуются более низкими его содержаниями.

БОР В ВУЛКАНОГЕННЫХ
И ВУЛКАНОГЕННО-ОСАДОЧНЫХ ОБРАЗОВАНИЯХ

Данные по распределению бора в вулканогенных породах приведены в ряде работ: С. М. Александров, В. А. Барсуков, В. В. Щербина (1968), В. И. Владавец (1958), М. Х. Кадыр (1968), С. Р. Нокколдс и др. (1958), В. Д. Отрощенко (1968) и др. По Г. Хардеру (1965), основные интрузивные и эфузивные породы имеют близкое содержания бора (соответственно 7 и 5 млн^{-1}), в то время как кислые интрузивные породы содержат меньше бора, чем эфузивные разности того же химического состава (10 и 30 млн^{-1} соответственно).

На распределение бора в эфузивных и пирокластических породах существенно влияют процессы дифференциации магмы, переплавления и ассилияции осадочных горных пород, а также процессы гидротермального и гипергенного изменений. В одних и тех же типах изверженных пород в областях современного молодого вулканизма содержания бора существенно различаются. В наибольших количествах бор отмечается в эфузивах развитых в пределах Тихоокеанского окраинно-континентального и Альпийско-Гималайского внутриконтинентального орогенных поясов ($70-150 \text{ млн}^{-1}$), в то время как в эфузивах срединноокеанических хребтов оно почти в 10 раз меньше — равно примерно 5 млн^{-1} (не более 10 млн^{-1}).

Существует мнение, что изверженные породы основного состава обеднены бором относительно кислых и средних разностей. Наш фактический материал свидетельствует о том, что для эфузивных и пирокластических пород такое соотношение не всегда выдерживается и существуют более сложные зависимости (табл. 10). Продукты вулканизма различных тектономагматических этапов и комплексов характеризуются различными содержаниями бора (табл. 11, 12, 13).

Рассматривая бороносность отдельных свит, можно заметить, что относительное обеднение бором всех без исключения эфузивных пород алнейской серии, при этом в последней содержания бора оказываются практически не зависящими от химического состава пород. Причина этого явления заключается, по-видимому, в том, что все породы алнейской серии несут следы интенсивного химического выветривания, в то время как эти же породы березовской и паратунской свит имеют более свежий облик. Это согласуется с историей геологического развития района, поскольку алнейская серия формировалась в субаэральных и полуподверхностных условиях, когда извержения вулканов чередовались с более спокойными периодами жизни на рождавшейся суши. В этих условиях интенсивная денудация сопровождалась естественным выносом различных элементов и, в первую очередь, бора.

Таблица 10

Средние содержания бора
в вулканогенных продуктах молодого вулканизма, млн^{-1}

Порода	Закавказье			Камчатка			Закарпатье		
	N	\bar{x}	Пределы содержаний	N	\bar{x}	Пределы содержаний	N	\bar{x}	Пределы содержаний
Лавы основного состава	92	12	6—47	162	16	5—89	27	20	11—55
Лавы среднего и кислого состава	161	11	6—58	167	12	6—30	111	25	8—96
Уфы (преимущественно среднего состава)	1243	18	6—70	345	19	9—380	396	31	6—210

Распределение содержаний бора в эфузивных породах трех регионов носит пестрый характер и зависит не только от химического состава пород и принадлежности к определенномумагматическому циклу (фазе, этапу), но, как показывает более детальное изучение, и от принадлежности к тому или иному вулканическому аппарату.

Установлено, что большей степени изменения пород соответствует больший вынос бора. Так, по данным А. Озола, содержания бора уменьшаются следующим образом: от 42 и 16 млн^{-1} соответственно в измененных андезито-базальтах и андезитах до 3 и 5 млн^{-1} в пропилитизированных разностях; от 21—25 млн^{-1} в андезито-базальтах и андезитах Курил до 13—14 млн^{-1} в частично измененных породах и до 2—2,5 млн^{-1} в нацело преобразованных (каолинизированных и алунитизированных) породах; от 42 до 5—6 млн^{-1} в дацитах; от 155 до 80 млн^{-1} в кислых породах о-ва Вулкано. В липаритовой лаве Новой Зеландии содержания бора уменьшаются от 25 до 13 млн^{-1} в гидротермально измененных разностях и до 3 млн^{-1} в более сильноизмененной (каолинизированной) породе, от 24 до 9 млн^{-1} в обсидиане и от 23 до 2 млн^{-1} в пемзе. Следовательно, при гидротермальных изменениях континентальных эфузивов из них выносится до 100% бора.

В отличие от континентальных эфузивов гидротермальные изменения в океанических базальтах не сопровождаются выносом бора. Его содержание в толеитовых базальтах Срединно-Атлантического хребта и в образующихся за счет них хлорит-актинолит-эпидот-альбитовых метабазальтах примерно одинаковое (несколько млн^{-1}).

Таблица 11

Средние содержания бора
в эфузивных и пирокластических образованиях Закарпатья, млн⁻¹

Порода	Неогеновый тектономагматический цикл												
	I фаза						II фаза						
	Геловетский этап			Торгонский этап			Сарматский этап			Позднеплиоценовый этап			
	N	\bar{X}	Пределы содержания	N	\bar{X}	Пределы содержания	N	\bar{X}	Пределы содержания	N	\bar{X}	Пределы содержания	
Анделезито-базальты	27	20	11—55	—	—	3	39	22—55	—	—	24	18	11—47
Анделезиты	78	24	8—96	—	—	—	—	—	36	20	39	27	12—47
Анделезито-дациты	8	18	11—27	—	—	—	—	—	—	—	8	8	11—27
Липариты	104	30	13—100	—	9—210	44	77	12	34	13—59	183	20	6—96
Липаритовые	292	31	6—210	—	—	34	32	8—120	—	—	92	30	14—100
											31	28	17—47

Таблица 12

Средние содержания бора в эфузивах Закавказья

Порода	Ахалкалакский комплекс						Кисатибская свита			Манычкарий лавовый покров			Неоген в целом		
	N			\bar{X}			Пределы содержания			N			\bar{X}		
	N	\bar{X}	Пределы содержания	N	\bar{X}	Пределы содержания	N	\bar{X}	Пределы содержания	N	\bar{X}	Пределы содержания	N	\bar{X}	Пределы содержания
Базальты, андезито-базальты	45	10	6—18	46	13	7—47	1	16	—	—	—	—	92	12	6—47
Липариты, дациты, андезиты	5	16	14—17	151	11	6—58	2	16	7—98	150	11	6—58	—	—	—

Среднее содержание бора в гидротермальных
и вулканическо-осадочных породах Камчатки, млн.—

Порода	Неоген в целом				Анапайская серия				Алмейская серия			
	N	\bar{X}	Преледы содержа- ния	N	\bar{X}	Преледы содержа- ния	N	\bar{X}	Преледы содержа- ния	N	\bar{X}	
J1abp1	Базальты и андезито-базальты	162	16	5—89	154	16	10—89	8	11	5—21		
	Андезиты	110	12	6—29	108	12	6—29	2	10	10		
	Андезито-дациты и дациты	21	15	6—30	18	16	6—30	3	12	10—15		
	Липариты	36	12	6—23	6	14	6—22	30	12	8—23		
Typhi1	Базальтовые и андезито-базальтовые	225	21	3—380	210	22	3—380	15	12	6—17		
	Андезитовые	84	15	6—43	73	15	6—43	11	11	6—14		
	Андезито-дацитовые и дацитовые	26	11	5—27	26	11	5—27	—	—	—		
	Липаритовые	10	10	5—18	10	10	5—18	—	—	—		
Byakhorheno- ocajdophne	Туфоконгломерат	15	17	13—20	12	17	13—20	3	17	15—18		
	Туфогравеллит	13	9	11—18	—	—	—	13	9	11—18		
	Туфопесчаник	108	15	6—26	85	15	6—26	23	13	10—18		
	Туфоалевролит	55	19	10—100	55	19	10—100	—	—	—		
	Туфопелит	13	25	22—30	13	25	22—30	—	—	—		

На распределение бора в пирокластических образованиях влияют те же факторы, что и в эфузивах. Содержания его в туфах почти всегда более высокие, чем в лавах. Бороносность различных комплексов приведена в табл. 14 и 15.

Таблица

Средние содержания бора
в пирокластолитах различных комплексов Закавказья, млн⁻¹

Порода	Неоген в целом			Кисатибская свита			Ахалкалакский комплекс			Сарыканская толща		
	N	\bar{X}	Пределы содержаний	N	\bar{X}	Пределы содержаний	N	\bar{X}	Пределы содержаний	N	\bar{X}	Пределы содержаний
Туф	615	19	6—70	598	19	6—70	11	53	46—63	6	24	13—
Туфобрекчия	476	16	6—34	476	16	6—34	—	—	—	—	—	—

Таблица

Средние содержания бора
в пирокластических породах кисатибской свиты, млн⁻¹

Участок	Туф			Туфобрекчия		
	N	\bar{X}	Пределы содержаний	N	\bar{X}	Пределы содержаний
Годердский	42	16	6—41	30	16	8—2
Кисатибский	122	19	9—56	12	11	7—1
Долина р. Паравани	49	27	10—60	19	17	8—3
Вардзийский	335	18	9—70	392	16	6—3
Район с. Ацквита	29	13	8—20	8	11	8—1
Толошский	21	23	18—35	15	17	14—2

Детальное изучение распределения концентраций бора в туфах Вардзийского участка позволило выявить, что в пелитовых, алевритовых и псаммитовых туфах по мере увеличения размера частиц содержание бора имеет тенденцию к снижению (табл. 16).

Бор в туфах различной структуры распределен также неравномерно (табл. 17.).

Таблица 16

Средние содержания бора
в туфах, сложенных
различным по крупности
бломочным материалом, млн^{-1}

Тип туфа	N	\bar{x}	Пре- делы содер- жаний
Диатитовый	11	17	11—27
Гиперитовый	7	16	10—25
Аммититовый	6	14	8—24

Таблица 17

Средние содержания бора
в туфах
различной структуры, млн^{-1}

Тип туфа	N	\bar{x}	Пре- делы содер- жаний
Витрокластический	5	25	13—47
Кристаллокластический	8	13	11—17
Литокластический	12	17	10—25
Смешанный	8	17	8—27

Максимальные содержания бора в витрокластических туфах объясняются, по-видимому, хлоритизацией и оглиниванием стекла, составляющего значительную их часть. Кристаллокластические туфы наименее бороносны. Основные породообразующие минералы этих туфов (плагиоклаз, гиперстен и роговая обманка) имеют свежий облик и не являются концентриаторами бора. Смешанные и литокластические туфы по содержанию бора занимают промежуточное положение между витро- и кристаллокластичными. По данным 53 полных силикатных анализов, среди туфов района выделяются дацитовые, андезито-дацитовые и андезитовые разности. Среднее содержание бора в дацитовых и андезито-дацитовых разностях составляет 18 млн^{-1} (17 проб, от 8 до 7 млн^{-1}), а в андезитовых 22 млн^{-1} (36 проб, от 10 до 56 млн^{-1}). Среди андезитовых туфов выделяются гиперстеновые и слюдянные разности. Различия в средних содержаниях бора в них практически отсутствуют (соответственно составляют 22 и 1 млн^{-1}).

Основным концентриатором бора в излившихся и пирокластических породах областей современного и молодого вулканизма является стекло (Хардер, 1965); содержание в нем бора достигает сотен млн^{-1} (например, в стекле туфов Чилино, Италия, 20 млн^{-1}); в обсидианах содержание бора достигает $140—30 \text{ млн}^{-1}$. Следовательно, в процессе излияния лав бор почти попадает в порфировые вкрапленники, а накапливается преимущественно в остаточном расплаве, дающем при остывании борсодержащее стекло. При раскристаллизации эффузивов бор концентрируется в продуктах их автометасоматической перепроботки: в основных породах — в эпидоте; в кислых и средних — серцизите. Анализ водных вытяжек из туфов Камчатско-Курильской вулканической гряды показал содержания в них бора 5 млн^{-1} , что примерно соответствует количеству воднорастворимого бора в породах Анд.

Распределение бора в вулканогенно-осадочных породахсет черты осадочного литогенеза; концентрации бора в этих породах, как правило, уменьшены. Эта закономерность установлена ранее Э. К. Буренковым (1973) и проявляется в увеличии средних содержаний бора от грубых к более тонким разностям пород. В Закарпатье (табл. 18) нормальное распределение

Таблица

Средние содержания бора
в вулканогенно-осадочных образованиях Закарпатья, млн⁻¹

Порода	Неоген			Левантин			Паннон		
	N	\bar{X}	Пределы содержаний	N	\bar{X}	Пределы содержаний	N	\bar{X}	Пределы содержаний
Туффит	71	40	10—200	15	27	13—75	3	153	60—
Туфогравелит	3	31	20—38	2	37	36—38	—	—	—
Туфопесчаник	41	41	7—300	28	29	13—52	3	200	100—
Туфоалевролит	13	69	19—180	3	26	20—31	—	—	—
Туфопелит	6	49	25—78	6	49	25—78	—	—	—

Продолжение табл.

Порода	Сармат			Тортон		
	N	\bar{X}	Пределы содержаний	N	\bar{X}	Пределы содержаний
Туффит	16	44	10—96	37	36	10—6
Туфогравелит	1	20	—	—	—	—
Туфопесчаник	7	34	7—70	3	12	11—1
Туфоалевролит	5	29	10—42	5	134	72—1
Туфопелит	—	—	—	—	—	—

бора, т. е. увеличение его концентраций от более грубых к более тонким осадкам, нарушается (особенно это относится к туфопелитам). Причины такого явления следует искать, во-первых, в сравнительно высоких (относительно других районов) содержаниях бора в вулканогенных разностях (особенно в туфах), во-вторых, в очень сильной туфогенности исследованных туфопелитов.

Глава 3

БОР В ИНТРУЗИВНЫХ, МЕТАМОРФИЧЕСКИХ И ГИДРОТЕРМАЛЬНО ИЗМЕНЕННЫХ ПОРОДАХ

Интузивные породы. Геохимию бора в интузивных породах Советского Союза изучали В. Л. Барсуков (1958, 1966), Н. Г. Родзянко с соавторами (1968, 1971 гг.), В. Д. Отрошенко

авторами (1965), В. А. Дунаев (1959), Р. В. Гетлинг и Е. Н. Сабанова (1959), А. Е. Лисицын и В. Г. Хитров (1963), М. Г. Руб (1967 г.), В. В. Ляхович (1965, 1967, 1972), А. С. Емельяненко (1967), Я. А. Косалс и М. П. Мазуров (1968), О. Д. Ставров и Г. Хитров (1960), А. Г. Лыхин и Е. В. Кубышкина (1970) и др. Наиболее полной сводкой данных по этому вопросу является докторская работа А. Г. Лыхина (1968 г.), а за рубежом — соответствующий раздел в работе Г. Хардера (1965) «Геохимия бора».

Ниже рассматриваются следующие частные аспекты геохимии бора в интрузивных породах: связь содержаний бора в породах с их составом, возрастом, глубинностью становления интрузивных массивов, принадлежностью к разным фазам последних и рудогенностью в отношении бора.

Характер распределения бора в основных типах магматических пород в зависимости от содержания в них кремнезема изучен слабо. Это обстоятельство подчеркивает и М. Шоу (1969), относя бор к группе малоизученных в этом отношении элементов, наряду с Ge, Ga, W, Sn, Sr, Mp. Однозначной связи содержания бора с составом пород не установлено. Так, кларковые содержания бора в главных типах магматических пород проявляют тенденцию к уменьшению с увеличением основности пород, имеющих близкими содержаниями элемента в кислых и средних породах (табл. 19). По сообщению А. Г. Лыхина, увеличение

Таблица 19

Средние содержания бора в магматических породах, млн^{-1}

Породы				Литературный источник
ультраосновные	основные	средние	кислые	
3	5	9	10	К. Турекян, К. Веденополь (1961 г.)
1	5	15	15	А. П. Виноградов (1962)
—	7	—	10	Г. Хардер (1965)

основности гранитоидов сопровождается увеличением содержания бора: граниты лейкократовые $12,4 \text{ млн}^{-1}$, граниты нормальные $13,4 \text{ млн}^{-1}$, гранодиориты $22,8 \text{ млн}^{-1}$, диориты $33,8 \text{ млн}^{-1}$.

Данные по некоторым бороносным районам Советского Союза (табл. 20) показывают либо близость содержаний бора в кислых, средних и основных породах (Восточная Горная Шория), либо увеличение содержания бора от кислых пород к средним (Казахстан, Западная Горная Шория, Юго-Западное Зайкалье). В то же время в пределах отдельных массивов в четырех случаях из пяти более основные породы I фазы обогащены бором по сравнению с породами II фазы (табл. 21). И, наконец,

Таблица

Средние содержания бора
в интрузивных породах бороносных районов, млн⁻¹

Регион	Породы				
	основные		средние		кислые
	N	\bar{X}	N	\bar{X}	
Центральный Казахстан	—	—	23	23	259
Киргизия	—	—	25	47	35
Западная Горная Шория	—	—	13	16	87
Восточная Горная Шория	49	9	18	8	252
Хакасия	18	10	55	5	217
Юго-Западное Забайкалье	—	—	33	43	105

Таблица

Средние содержания бора в интрузивных массивах
с краевой фацией гибридных пород повышенной основности, млн⁻¹

Регион	Интрузивный массив	Порода	N
Киргизия	Джалгизурюкский	Гранодиориты Кварцевые диориты, диориты	29 25
Западная Горная Шория	Тельбесский	Граниты, гранодиориты Диориты	30 16
Восточная Горная Шория	Чезимский	Граносиениты, кварцевые сиениты Диориты, кварцевые габбро-биотитсодержащие	20 21
Хакасия	Западно-Сонский	Диориты Габбро биотит-рогообманковые меланократовые	26 6

в породах краевых гибридных фаций бор либо накапливается (Киргизия, Западная Горная Шория), либо проявляет стабильность средних содержаний по сравнению с более кислыми ходными породами центральных частей массивов (см. табл. 2).

А. Г. Лыхин, рассмотрев распределение бора по интрузивным породам разного возраста, отметил увеличение содержаний элемента от более древних пород к более молодым (декембрь

млн⁻¹, кембрий-силур 15 млн⁻¹, девон 16,4 млн⁻¹; карбон-пермь 3 млн⁻¹; мезозой, кайнозой по 21,6 млн⁻¹). Кроме того, установлена обратная связь между содержаниями бора и глубиной становления гранитоидных интрузивных массивов. Так, среднее содержание бора в гранитоидах абиссальной фации глубинности составляет 9,1 млн⁻¹, мезоабиссальной 17,2 млн⁻¹, гипабиссальной 21,4 млн⁻¹.

В распределении бора по фазам интрузивной деятельности существует единая закономерность. В табл. 22 приведены со-

Таблица 22

Средние содержания бора
по фазам формирования интрузивных массивов, млн⁻¹

Регион	Интрузивный массив	Порода	Фаза	N	\bar{x}
Северная Горная Шория	Тельбесский	Диориты и габбро-диориты	I	3	16
		Граниты, гранодиориты	II	30	8
		Гранодиорит-порфиры	III	7	17
Восточная Горная Шория	Ортонский	Плагиограниты	II	67	9
		Аплитовидные граниты	III	20	14
		Пегматоидные граниты	III	19	13
Каскания	Западно-Сонский	Габбро роговообманковые	I	10	11
		Диориты	II	26	<5
		Сиениты щелочные	III	44	5
Юго-Западное Забайкалье	Средне-Ербинский	Габбро	I	2	14
		Сиениты	II	33	22
		Граносиениты	III	25	6
	Кутомарский	Диориты	I	4	90
		Граниты, гранодиориты	II	25	46
		Граниты лейкократовые	III	15	63
	Шахтаминский	Диориты	I	17	40
		Гранодиориты, граниты	II	18	18

держания бора в многофазных интрузивных массивах, где первые фазы представлены диоритами или габбро, вторые (главные по масштабу проявления) — гранитами, гранодиоритами, сиенинами, реже — плагиогранитами и диоритами, а третьи представляют дополнительные интрузии, сложенные порфировидными, пегматоидными и аплитовидными гранитами, как правило, более лейкократовыми и щелочными, чем породы II фазы. В распре-

делении бора между породами II и III фаз установлены все возможных варианта: накопление бора в породах III фаз (Тельбесский и Ортонский массив Горной Шории, Кутомский — в Забайкалье); стабильность содержаний бора в породах обеих фаз (Западно-Сонский массив в Хакасии) и обеднение им пород III фазы (Средне-Ергинский массив в Хакасии).

Не установлена также единая закономерность в распределении бора в породах нерудогенных и рудогенных интрузивных массивов, в связи с которыми известны месторождения эндогенного бора. Мнения исследователей о характере проявления генетической специализации на бор интрузивных пород и возможности ее использования для прогноза и поисков расходятся. Так, В. А. Барсуков (1964) отмечает, что в гранитоидах, с которыми генетически связаны боропроявления, содержания бора в 8—10 раз выше, чем в тех, где нет генетически связанных месторождений. В то же время А. Е. Лисицын, С. В. Малинко и Е. В. Орлова (1966) считают, что повышенные содержания бора в интрузивных породах (в 3—5 раз больше среднего) не могут служить положительным поисковым критерием на эндогенные борные месторождения, а лишь указывают на потенциальную боронность тех или иных интрузий. В некоторых интрузиях, рудогенных на бор, содержания бора близки к кларковым или незначительно превышают последние. Однако А. Д. Горшенин (1974) на примере отдельных районов показал, что аномальный уровень содержания бора в породах таких массивов может выявляться сравнением не с кларком бора в литосфере, а с содержаниями его в других массивах рудного района или региона. Это же мнение придерживается А. Е. Лисицын (1974 г.). Такое сравнение проводится по породам главных фаз формирований интрузивных массивов, в то время как использование содержаний бора в породах гибридных фаций, даек и дополнительных интрузий менее надежно.

Характеристика уровня боронности рудогенных на бор и рудогенных интрузивных массивов приведена в табл. 23. Содержания бора в рудогенных интрузиях могут быть выше, чем в нерудогенных массивах (Восточная Горная Шория, Хакасия) и ниже (хр. Джугджур) или близкими по значениям (Киргизия, Западная Горная Шория, Забайкалье). Таким образом, признак повышенного содержания бора в породах рудоносных массивов не выдержан и проявляется в каких-то определенных условиях.

А. Г. Лыхин и Е. В. Кубышкина (1970) в качестве критерия потенциальной боронности интрузивных массивов предлагают использовать повышение содержаний бора в породах краевых частей массивов по сравнению с центральными, что характерно для ряда рудогенных на бор массивов Джугджура и Западной Горной Шории (табл. 24). Однако, по данным Г. И. Баранова и Н. Г. Родзянко (1971 г.), повышенные содержания бора в кра-

Таблица 23

Средние содержания бора в породах главных фаз
интрузивных массивов районов месторождений
эндогенного бора, млн^{-1}

Рудогенные и апофизы интрузивных массивов на бор	Показатель	Регион							
		Киргизия	Западная Горная Шория	Восточная Горная Шория		Хакасия	Юго-Западное Забайкалье	Центральное Забайкалье	Хр. Джугджур
				кислые породы	средние и основные породы				
	Число масси- вов	2	1	1	1	3	2	2	2
догенные	N	76	30	20	21	62	62	60	49
	\bar{X}	40	8	23	19	18	43	11	10
	X_{\min}	27	—	—	—	18	40	11	9
	X_{\max}	53	—	—	—	19	47	12	12
	Число масси- вов	2	1	6	4	3	4	3	4
рудогенные	N	35	8	203	66	91	114	5	67
	\bar{X}	33	9	12	9	7	29	8	14
	X_{\min}	32	—	9	7	5	18	7	13
	X_{\max}	35	—	14	10	8	47	10	17

и апикальных частях минераловодских лакколитов далеко не всегда характерны для наиболее бороносных интрузивных массивов.

Таким образом, рассмотрение закономерностей распределения бора в интрузивных породах, по данным анализов породы в целом, показывает, как правило, многовариантность связи содержаний бора с характеристиками пород. Объяснение некоторых особенностей поведения бора возможно с привлечением форм нахождения элемента в породах описываемой группы.

Основными минералами-носителями бора в гранитоидах являются прежде всего плагиоклазы, а затем роговые обманки (табл. 25), причем роль последних, очевидно, возрастает в более основных породах. Низкие содержания бора в бестурмалиновых лейкократовых и аляскитовых гранитах объясняются единичностью их плагиоклазами и темноцветными минералами, т. е. в этих породах бор находится в основном в составе кварца и альбиноса полевого шпата, кристаллохимически неблагоприятных для концентрации этого элемента. Данные табл. 26 подтверждают характерность повышенных содержаний бора в рогово-

делении бора между породами II и III фаз установлены все возможных варианта: накопление бора в породах III фаз (Тельбесский и Ортонский массив Горной Шории, Кутомский — в Забайкалье); стабильность содержаний бора в породах обеих фаз (Западно-Сонский массив в Хакасии) и обеднение им пород III фазы (Средне-Ергинский массив в Хакасии).

Не установлена также единая закономерность в распределении бора в породах нерудогенных и рудогенных интрузивных массивов, в связи с которыми известны месторождения эндогенного бора. Мнения исследователей о характере проявления геохимической специализации на бор интрузивных пород и возможности ее использования для прогноза и поисков расходятся. Так В. А. Барсуков (1964) отмечает, что в гранитоидах, с которыми генетически связаны боропроявления, содержания бора в 8—10 раз выше, чем в тех, где нет генетически связанных месторождений. В то же время А. Е. Лисицын, С. В. Малинко и Е. В. Орлова (1966) считают, что повышенные содержания бора в интрузивных породах (в 3—5 раз больше среднего) не могут служить положительным поисковым критерием на эндогенные борные месторождения, а лишь указывают на потенциальную борность тех или иных интрузий. В некоторых интрузиях, рудогенных на бор, содержания бора близки к кларковым или незначительно превышают последние. Однако А. Д. Горшенин (1974) на примере отдельных районов показал, что аномальный уровень содержания бора в породах таких массивов может выявляться сравнением не с кларком бора в литосфере, а с содержаниями его в других массивах рудного района или региона. Это же мнение придерживается А. Е. Лисицын (1974 г.). Такое сравнение проводится по породам главных фаз формирования интрузивных массивов, в то время как использование содержаний бора в породах гибридных фаций, даек и дополнительных интрузий менее надежно.

Характеристика уровня бороносности рудогенных на бор и рудогенных интрузивных массивов приведена в табл. 23. Содержания бора в рудогенных интрузиях могут быть выше, чем в нерудогенных массивах (Восточная Горная Шория, Хакасия) и ниже (хр. Джугджур) или близкими по значениям (Киргизия, Западная Горная Шория, Забайкалье). Таким образом, признак повышенного содержания бора в породах рудоносных массивов не выдержан и проявляется в каких-то определенных условиях.

А. Г. Лыхин и Е. В. Кубышкина (1970) в качестве критерия потенциальной бороносности интрузивных массивов предлагают использовать повышение содержаний бора в породах краевых частей массивов по сравнению с центральными, что характерно для ряда рудогенных на бор массивов Джугджура и Западной Горной Шории (табл. 24). Однако, по данным Г. И. Баранова и Н. Г. Родзянко (1971 г.), повышенные содержания бора в кра-

Таблица 23

Средние содержания бора в породах главных фаз
интрузивных массивов районов месторождений
эндогенного бора, млн⁻¹

Иногданость интрузивных ассенов на бор	Показатель	Регион							
		Киргизия	Западная Горная Шория	Восточная Горная Шория		Хакасия	Юго-Западное Забайкалье	Центральное Забайкалье	Хр. Джугджур
				кислые породы	средние и основные породы				
Эндогенные	Число массивов	2	1	1	1	3	2	2	2
	N	76	30	20	21	62	62	60	49
	\bar{X}	40	8	23	19	18	43	11	10
	X_{\min}	27	—	—	—	18	40	11	9
Иногдастные	X_{\max}	53	—	—	—	19	47	12	12
	Число массивов	2	1	6	4	3	4	3	4
	N	35	8	203	66	91	114	5	67
	\bar{X}	33	9	12	9	7	29	8	14
	X_{\min}	32	—	9	7	<5	18	7	13
	X_{\max}	35	—	14	10	8	47	10	17

ах и апикальных частях минераловодских лакколитов далеко не всегда характерны для наиболее бороносных интрузивных массивов.

Таким образом, рассмотрение закономерностей распределения бора в интрузивных породах, по данным анализов породы в целом, показывает, как правило, многовариантность связи содержаний бора с характеристиками пород. Объяснение некоторых особенностей поведения бора возможно с привлечением форм нахождения элемента в породах описываемой группы.

Основными минералами-носителями бора в гранитоидах являются прежде всего плагиоклазы, а затем роговые обманки (табл. 25), причем роль последних, очевидно, возрастает в более основных породах. Низкие содержания бора в бестурмалиновых лейкократовых и аляскитовых гранитах объясняются единствою их плагиоклазами и темноцветными минералами, т. е. в этих породах бор находится в основном в составе кварца и альбового полевого шпата, кристаллохимически неблагоприятных для концентрации этого элемента. Данные табл. 26 подтверждают характерность повышенных содержаний бора в рогово-

Таблица

Средние содержания бора
в центральных (ц) и краевых (к) частях рудогенных
инерудогенных на бор интрузивных массивов, млн⁻¹

Регион	Массив или комплекс (рудоносность на бор)	Порода
Центральный Казахстан	Балкашинский и Золотоношский (нерудоносный)	Лейкохратовые граниты (ц)
		То же (к)
	Жолдыбайский (нерудоносный)	Граниты (ц) Гранодиориты (к)
Западная Горная Шория	Тельбесский (рудоносный)	Граниты, гранодиориты (ц)
		Диориты, гранодиориты, граниты (к)
Хр. Джугджур	Джугджурский (нерудоносный)	Граниты (ц)
		" (к)
	Верхнемеловой (рудоносный)	" (ц)
		" (к)

Таблица

Средние содержания бора
в главных породообразующих минералах гранитоидов, млн⁻¹

Роговая обманка	Биотит	Плагиоклаз		Калиевый полевой шпат	Кварц	Литературный источник
		альбит-олигоклаз	андезин-лабрадор			
51,5 (39)	2,8 (46)	32 (58)	59,7 (32)	7,2 (28)	3,4 (28)	А. Г. Лыхин (1968)
26,0 (7)	11,6 (17)	—	20,1 (123)	9,4 (9)	6,3 (34)	В. В. Ляхови (1972)

Примечание. В скобках — число анализов.

вых обманках и относительно низких — в биотитах, а такжеказывают возможность аномально высоких (до 22 млн⁻¹) содержаний бора в кварце.

В отечественной литературе существует четко оформленвшее представление о наличии прямой зависимости между содержаниями бора в плагиоклазах и основностью последних (Бел-

Таблица 26

Средние содержания бора
в пордообразующих минералах гранитоидов
из районов месторождений эндогенного бора

Регион	Массив или комплекс	Порода	\bar{X} , млн ⁻¹		
			рого- вая об- манка	био- тит	кварц
Центральный Казахстан	Антрауский	Лейкократовый гранит	—	—	5
	Зерендинский	Гранит	—	—	2
Приморье	Карамазарские гра- нитоиды	Гранодиорит	50	30	20
	Джалгизурюкский	“	55	—	—
	Сандалашский	“	20	30	—
Южно-Западное Байкалье	Листвянский	Гранит	40	10	—
	Запокровский	Диорит	—	11	—
	Шахтаминский	Гранит	—	6	—
	“	Диорит	60	7	—
	“	Гранодиорит	35	6	—
Джугджур	Джугджурский	“	41	2	16
	Верхнемеловой	Лейкократовый гранит	—	2	22

0; Барсуков, 1958; Лисицын, Хитров, 1963; Кузьмин, 1964 и др.). Это положение иллюстрируется данными табл. 25, согласно которым содержание бора в альбитах — олигоклазах составляет 32 млн⁻¹, а в андезинах — лабродорах 59,7 млн⁻¹.

Однако это предположение о прямой зависимости между содержаниями бора и основностью плагиоклазов выполняется далеко не всегда. Прежде всего обратная закономерность следует из сравнения кларковых содержаний бора в магматических породах литосферы (см. табл. 19). Сравнение содержаний бора в интрузивных породах разной основности в пределах отдельных геохимических районов (см. табл. 20) и внутри интрузивных массивов (см. табл. 21) показывает, что обогащение бором более основных пород по сравнению с более кислыми проявлено только в 55% проанализированных случаев, в 35% уровень содержаний бора не зависит от основности пород, а в 10% наблюдается обеднение бором более основных пород. Известны и контрастные разности основных и средних пород с низкими содержаниями бора: габбро, габбро-нориты и нориты Пистекского, Аягольского, Балыксинского, Праводресвянского, Абаканско-

го и Охотничьего массивов в Восточной Горной Шории 8—9 млн^{-1} ; гибридное меланократовое биотит-рогообманковое габбро Западно-Сонского массива в Хакасии 10—12 млн^{-1} ; гибридное рогообманковое габбро и биотит-рогообманковые диориты того же массива 5 млн^{-1} . И, наконец, существуют многочисленные прямые данные о низком содержании бора в основных плагиоклазах у Г. Хардера (1965): аортит из альбитового базальта Японии — бор не обнаружен при чувствительности анализа 1 млн^{-1} ; лабрадор с острова Павла 4 млн^{-1} ; то же, из Италии меньше 1 млн^{-1} ; то же, из Норвегии около 3 млн^{-1} . Приведенные данные, по-видимому, свидетельствуют о том, что содержание бора в интрузивных породах, по крайней мере, ряда гранитов — диорит является в основном функцией состава пород, а первичного содержания элемента в магме в период становления интрузивного массива и конкретных геологических условий.

При оценке содержания бора в плагиоклазах, по данным анализа монофракций, не исключена возможность завышения этой характеристики за счет измененных разностей. По данным Г. Хардера (1965), известна повышенная бороносность мусковитов (в основном от 40—75 до 110—480 млн^{-1} бора) и частично серицитизированных плагиоклазов (до 100 млн^{-1}). Таким образом, вопрос о характере связи содержаний бора в плагиоклазах с составом последних нельзя считать окончательно решенным.

Большое значение для интерпретации распределения бора в интрузивных породах имеет нахождение его в виде турмалина. Данные о средних содержаниях акцессорного турмалина в гранитоидах Советского Союза наиболее полно представлены в материалах В. В. Ляховича (1968 г.). Нет сомнения, что особенно высокие содержания турмалина в гранитоидах связаны с наложенной турмалинизацией, что и подчеркивает В. В. Ляхович. Турмалинизацией, вероятно, объясняется и часто отмечаемое резкое повышение уровня содержания бора в лейкократовых гранитоидах последних фаз становления интрузивных массивов, например в гранитоидах Мяо-Чана (Руб и др., 1964).

Послемагматическая турмалинизации вообще широко распространена в гранитоидах рудных районов как в связи с торождениями эндогенного бора скарнового типа, так и в связи с месторождениями ряда других рудных элементов: олова на Северо-Востоке СССР, в Хабаровском и Приморском краях, меди (в некоторых месторождениях Казахстана); вольфрама, берилля и др. Турмалинизация гранитоидов в связи с месторождениями бора широко распространена (Киргизия, Западная Горная Шория, Юго-Западное Забайкалье, некоторые районы востока СССР) и охватывает интрузивные массивы на площадях в десятки и сотни квадратных километров. Во многих случаях турмалинизация проявлена с разной степенью интен-

ости и более локально, явно тяготея к месторождениям бора Центральный Казахстан, Восточная Горная Шория, Хакасия, северный Кавказ.). В последнем случае турмалинизация проявляется, как правило, только в интрузивных массивах, непосредственно примыкающих к месторождениям.

Отсутствие критерия отбраковки турмалинизованных разностей приводит к «волевому» подходу формирования выборок для характеристики интрузивных массивов, с которыми непосредственно пространственно и часто генетически связаны месторождения бора. Не случайно для районов, где турмалинизация проявилась особенно широко и интенсивно (Киргизия, Юго-Западное Забайкалье и др.), получены наиболее высокие значения содержаний бора в породах массивов, с которыми связаны месторождения бора $27-53 \text{ млн}^{-1}$. Представляется, что повышенные содержания бора в интрузивных массивах, к которым приурочены месторождения бора, скорее всего связаны не с геохимической специализацией интрузивных пород (содержанием бора в магме в момент становления интрузии), а с широким плодившим наложением гидротермальных бороносных растворов.

Влияние широкой площадной гидротермальной проработки интрузивных пород на их бороносность можно подтвердить рядом примеров. Так, в районе одного из месторождений Забайкалья граниты в 20 км от месторождения характеризуются содержанием бора, равным 6 млн^{-1} , что можно принять за фон; в 1 км — 8 млн^{-1} ; в 0,5 км (в массиве, с которым непосредственно связано месторождение) — 11 млн^{-1} ; в 5—20 м от контакта рудоносной скарновой зоной — 24 млн^{-1} . Вполне вероятно и то, что обогащение бором краевых частей интрузивных массивов также связано с более интенсивным проявлением наложенной турмалинизации. Так, в регионе Юго-Западного Забайкалья содержания бора в центральных и краевых частях Кутомарского массива составляют соответственно 46 и 156 млн^{-1} ; доверхнекаринских гранитоидов Быстринского массива — 47 и 280 млн^{-1} ; джанеюрских гранитоидов того же массива — 40 и 220 млн^{-1} . Нет сомнения, что эта разница связана с турмалинизацией краевых частей интрузивных массивов. Однако известны случаи геохимической специализации интрузий на бор, например для единиц Средне-Ербинского массива в Хакасии, с содержанием бора 23 млн^{-1} , что существенно (в два и более раза) пре-вышает содержания бора в других массивах района.

Наложенная выше концепция предполагает, что обогащение интрузивных массивов бором обусловлено наложенными после-тектоническими процессами, а не первичным содержанием элемента в магме. В заключение следует отметить, что она не отрицает возможности использования данных по бороносности интрузивных пород в прогнозных и поисковых целях.

Метаморфизованные карбонатные породы. Карбонатные породы известкового и доломитового ряда играют значительную

роль как вмещающие породы эндогенных месторождений бора в особенности скарновых типов. Древние толщи карбонатных пород в ряде регионов СССР положительно оценивались исследователями с позиций поисков борных месторождений, например карбонатные отложения верхнего протерозоя Бурятии (А. Е. Сицин, 1966 г.; А. Г. Лыхин, 1966 г.) или карбонатные породы кальцифиры Алдана (Шабынин и др., 1964; А. Е. Лисин, 1966 г. и т. д.). Поэтому рассмотрение закономерностей распределения бора в карбонатных породах представляет интерес с позиций возможного решения различных генетических и поисковых задач. В табл. 27 помещены данные по метаморфизованным породам разного возраста, различной геологической позиции, разнообразной металлогенической спецификации различных регионов СССР.

Распределение средних содержаний бора в известняках характеризуется большей дисперсией по сравнению с доломитами, содержания бора в которых в целом выше, чем в известняках. Эта закономерность прослеживается в разрезах одновозрастных толщ конкретных районов, где представлены известковые и доломитовые разности пород (например, районы хр. Хамар-Дабана различных участков Курбинского района Бурятии). В целом при очень низких значениях содержаний бора в карбонатных породах, близких к пределам чувствительности анализа (6 млн), удается проследить явную тенденцию повышения содержания бора по мере увеличения доломитовой составляющей в известняковых разностях. Примером могут служить отложения верхней девона района рудопроявления Сюрень-Ата (табл. 28). Маленькая частота встречаемости проб, в которых установлено содержание бора, отмечается для доломита и снижается пропорционально уменьшению MgO в породе.

Содержания бора в известковых разностях пород среднего и юрского и более молодого возраста в 1,5—3 раза выше по сравнению с более древними толщами и не зависят от наличия борных месторождений и рудопроявлений (см. табл. 27). 298 анализов карбонатных пород Бурятии показали равные количества бора (до 6 mln^{-1}) в районах с наличием борной нерализации (Кундуй, Орсок) и без таковой (Хасурта, Маньга, Мысовка, Мишиха). Степень мраморизации карбонатных пород не влияет существенно на изменение содержаний бора. Примером могут служить доломитовые и кальцитовые разности пород, которые в районе месторождения Сюрень-Ата (Средняя Азия) представлены тонкозернистыми, афанитовыми и инсивно мраморизованными разностями. Содержание бора в этих структурных разновидностях карбонатных пород не меняется. Существенное влияние на распределение бора оказывают контактово-метасоматические, скарновые и гидротермальные процессы, что будет показано ниже. Таким образом, имеющийся фактический материал противоречит выводам Д. П. Серебренникова.

Таблица 27

Средние содержания бора
в метаморфизованных карбонатных породах, млн⁻¹

Районы	Возраст	Известняк		Доломит	
		N	\bar{X}	N	\bar{X}
Приморье: Дальнегорск участок	Tr _{tt}	15	<5	—	—
	Tr ₁	15	<5	—	—
	Pt ₃	35	14	—	—
	Pt ₃	20	10	—	—
	Pt ₁	6	12	—	—
	Pt ₃	44	20	—	—
р. Джугджур	Sn	—	—	28	19
Каспия	Cm ₁	13	5	—	—
Южная Шория: Синайская серия Усинская свита	Pt	28	6	—	—
Восточное Забайкалье: Быстринская свита Алтакинская свита	Cm ₁ bs	18	6	—	—
	Cm ₁₋₂ alt	4	4	5	10
Казахстан: Северный Центральный	A C ₁₋₂	— 7	— 20	13 —	20 —
Забайкалье, Бурятия: Мисовка Миниха Мантуриха	Pt ₃ Pt ₃ Pt ₃	5 4 —	6 10 —	6 9 4	8 12 9
Давыдинский р-н	Cm ₁ ol	36	6	163	6
Пробинский р-н: Кундуй Хужертуй Могой Атка-Хул Хасурта Майгота Орек IV	Cm ₁ kb ₁ Cm ₁ kb ₁ Cm ₁ kb ₁₋₂ Cm ₁ kb ₁ Cm ₁ kb ₃ Cm ₁ kb ₂₋₃ Cm ₁ kb ₁₋₂	— — 8 — 14 18 15	— — 6 — 6 6 6	25 6 7 5 9 7 6	6 6 8 6 6 6 6
Средняя Азия: Гана Сирень-Ата Ихтон Кок-суу	C ₁ D ₂₋₃ O C ₂	14 21 66 5	10 6 6 6	14 13 18 —	10 6 6 —
Смир	P ₂ gn T ₁₋₃ kb	14 32	10 10	— —	— —

Таблица

Зависимость содержаний бора
от количества доломитовой составляющей
в известковых разностях пород

Порода	N	Нерастворимый остаток, %	Минерал		Число проб, показавших содержания бора		
			кальцит, %	доломит, %	от следов до 6 млн ⁻¹	6 млн ⁻¹	> 6 млн ⁻¹
Доломит	13	1,0	0,3	99,7	—	10	—
Известковистый доломит	30	3,0	18	76	4	16	—
Известковый доломит	9	1,0	42	55	—	4	—
Доломитовый известняк	6	3,0	58	38	—	2	—
Доломитистый известняк	18	2,5	75	22	—	5	—
Известняк	66	2,5	90	7	—	14	—
Измененный известняк	15	3,6—7,0	68	13	—	12	1
Измененный доломит	16	3,5—5,5	10	76	4	10	2
Скарноид	14	55—78,8	18	—	—	12	2

ченко (1967) об уменьшении содержаний бора от древних к более молодым геологическим отложениям, о существенном влиянии процессов перекристаллизации карбонатных осадков при региональном метаморфизме на содержание бора в метаморфических образованиях. Наши данные по средним содержаниям бора в известковых и доломитовых разностях карбонатных пород, а также о несколько большем количестве бора в доломитах по отношению к известнякам вполне согласуются с таковыми многих авторов (Хардер, 1959; Гетлинг, Савинова, 1959; Дунаев, 1960; Варлаков, 1961; Лисицын и др., 1963; Некрасов, 1966; Шабынин, 1966 и др.).

Метаморфизованные песчаники, алевролиты, глины (глинистые и филлитовидные сланцы), мергели и кремнистые породы.

Наиболее определенные выводы по имеющимся данным относятся к следующим: содержание бора возрастает от песчаников к глинам, намечается явное уменьшение содержаний бора в кластических породах и глинах в связи с увеличением их карбонатности. Характерны в этом смысле разрезы истыкской свиты Памира (район перевала Джамантал) и палеогеновых отложений Кавказа. Содержания бора в песчаниках разных районов близки, начиная от нижнего кембрия (Бурятия) до триаса, находятся в пределах 34—63 млн⁻¹. Содержания бора в глинистых осадках колеблются на 1—1,5 порядка, что скорее всего определяется разнообразным составом глин и различным содержанием в них хлоритов и минералов группы слюд, характеризующихся повышенной бороносностью (Хардер, 1959; Лисицын, 1966; Некрасов, 1966 и др.). В целом выводы о распределении

содержаний бора в ряду кластических метаморфизованных пород: несчаники → алевролиты → глины (глинистые, филлитовидные сланцы) и влиянии карбонатности кластических пород на степень их боронасности не отличаются от данных по неметаморфизованным разностям.

Метаморфизованные, вулканогенные, метаморфические и контактово-метасоматические породы. Материал по вулканогенным породам изучен преимущественно на двух месторождениях (Памир и Забайкалье). В первом случае представлены кластические и вулканогенные породы, а также вулканиты основного состава пермо-триасового возраста, во втором — кластические вулканогенные породы кислого (дацит-липаритового ряда) и среднего — основного (андезит-диабазового ряда) состава нижнекембрийского возраста. Распределение бора в породах пермо-триасовых вулканогенных пород проявляет определенную тенденцию накопления в однотипных разностях пород от древних более молодым, увеличиваясь примерно в два раза. Вулканогенно-кластические породы нижнего кембра Бурятии характеризуются явным увеличением содержаний бора от кислых разностей к основным в три раза (от 22 до 70 млн⁻¹). В контакто-метасоматических роговиках, развивающихся по вулканогенно-кластическим породам кислого и основного состава, содержания бора не меняются и сохраняются в количествах, близких к первичной породе. Интересно, что содержания бора в амфиболах изученных районов (Казахстан, Украинский кристаллический массив) показали наиболее низкие значения бора (10—15 млн⁻¹) из всех метаморфических и метасоматических пород.

Данные по метаморфическим и kontaktово-метасоматическим породам весьма разрознены и характеризуют комплексы метаморфических пород от архея до верхнего протерозоя; kontaktово-метасоматические породы представлены породами архейского — нижнеюрского возраста. Несмотря на это разнообразие возрастов и геологических позиций выявляется ряд общих особенностей. Для всех разновидностей гнейсов, гранито-гнейсов, кристаллических сланцев содержания бора колеблются в узком диапазоне от 10 до 34 млн⁻¹, причем максимальные значения (20—34 млн⁻¹) принадлежат разновидностям пород, обогащенных слюдами и амфиболами. Исключение представляют юношеские гранито-гнейсы быстринской свиты Восточного Забайкалья (Ст1bs), где содержания бора составляют 560 млн⁻¹. Эти данные представляются завышенными в связи с возможным уложением скарноворудных процессов.

Рассмотрение kontaktово-метасоматических пород различных минеральных фаций роговиков показывает, что содержания бора увеличиваются максимум в два раза или остаются на прежнем уровне по отношению к содержанию бора в исходных кластических, пирокластических и других разностях пород, претерпевших процессы ороговикования. Изучение же конкретных

разрезов одного из месторождений (Бурятия) показало даже небольшое уменьшение бора в роговиках по отношению к пироксенитам и др. породам (табл. 29). Определенное накопление бора чисто установливается в скарновых контактах. В приведенных табл. 30 данных по обобщенным и частным скарновометасоматическим колонкам, изученным в различных регионах, намечаются следующие закономерности: 1. Максимально благоприятной для накопления бора является экзоскарновая зона. 2. Намечается резкое различие скарноворудных и безрудных типов контактов. В первом типе значения содержаний бора резко увеличиваются.

Таблица

**Средние содержания бора
в роговиках и неметаморфизованных исходных породах
месторождения Забайкалья, млн⁻¹**

Неметаморфическая порода	<i>N</i>	\bar{X}	Метаморфическая порода	<i>N</i>
Кварцевый порфир	10	11	Ороговиковый кварцевый порфир	10
Дацитовый порфир	30	25	Ороговиковый дацитовый порфир	42
Туф андезитового порфириита	35	42	Аповулканогенный роговик по туфам андезитовых порфиров	30
Туф диабазового порфириита	26	65	Аповулканогенный роговик по туфам диабазового порфириита	10
Карбонатизированный туф среднего состава	13	26	Скарноид с реликтами туфа среднего состава	20
Сиенито-диорит	30	12	Скарнированный сиенито-диорит*	18
Доломит	30	6	Кальцифир (вне зоны развития оруденения)	30

* Сохраняются реликты интрузивной породы в гранат-эпидотовом агрегате.

чижаются от 10 до 100 раз и более в зоне кальцифира (в скарнах магнезиальной формации) или в зоне волластонита (в скарнах известковой формации). В безрудных контактах магнезиальная (пироксеновая, форстеритовая, клиногумитовая и др.) зона и зона волластонита также являются наиболее богатыми бором, однако вариации содержаний бора в пределах отдельных зон и между конечными членами ее ряда не превышают 1,5—3 раз. В случаях контактов с вулканогенными породами основного состава накопление бора вообще не происходит. Следует отметить, что во всех случаях в табл. 30 включался материал по породам, макро- и микроскопически не обнаруживающим борсодержащих минералов; поэтому повышенные содержания бора в определенных зонах скарнов, возможно, объясняются

Таблица 30

Средние содержания бора
в скарновых рудных и безрудных контактах, млн⁻¹

Контакты в борнитах и боросиликатными рудами			Безрудные контакты			
Порода	N	X	Порода	N	X	
Доломит	30	6	7	Известняк	30	6
Кальцифир	71	200		Брекчированный мрамор	87	7
Форстерит-пироксен-магногумитовый скарн	12	330		Волластонитовый скарн	5	16
Гранат-пироксеновый скарн	18	180		Гранатовый скарн	32	8
Гранат-эндотитовый скарн	4	21		Гранат-везувиановый скарн	21	17
Граносиенит грейзенизованный	46	16		Граносиенит	15	12
Граносиенит	50	11				
Известняк	15	6	8	Карбонатная порода	163	6
Гранат-пироксеновый скарн	15	24		Аповулканогенный роговик	89	19
Гранат-везувиановый скарн	15	490		Вулканогенные породы основного состава	127	70
Карбонатизированный туф	12	15	9	Известняк	3	6
Доломит	4	6		Гранат-пироксеновый скарн	1	10
Кальцифир	1	23		Гранатовый скарн	1	37
Магнезиальный скарн	1	2100		Фельзит-порфир	1	42
Пироксен-гранатовый скарн	1	2300	10	Доломит	1	13
Аповулканогенный роговик по породам кислого состава	1	23		Кальцифир	1	28
Туф дацитового порфирита	1	25		Магнезиальный скарн	1	40
				Роговообманково-плагиоклазовая близскарновая порода	1	18
				Гранодиорит	1	17
Доломит	1	6	11	Известняк	1	10
Слабоизмененный доломит	1	6		Кварц-карбонат-гранатовая порода	1	14
Кальцифир	1	200		Волластонит-гранатовый скарн	1	35
Магнезиальный скарн	1	2100		Пироксен-гранатовый скарн	1	32
Околоскарновая пироксен-плагиоклазовая порода	1	17		Околоскарновая порода	1	5
Гранодиорит	1	12				

Контакты с борными и боросиликатными рудами				Безрудные контакты			
Типы разрезов	Порода	N	X	Типы разрезов	Порода	N	X
5	Известняк	39	10	12	Известняк	1	
	Волластонитовый скарн	2	225		Пироксеновый скарн	1	
	Геденбергитовый скарн	2	610		Гранатовый скарн	1	
	Гранат-геденбергитовый скарн	2	330		Гранитоид	1	
	Гранатовый скарн	4	39				
6	Известняк	1	6	13	Известняк	1	
	Волластонитовый скарн	1	3400		Пироксен-гранатовый скарн	1	
	Везувиан-скаполитовый скарн	1	1000		Диорит	1	
	Песчаник	1	25	14	Песчаник	1	
					Везувиановый скарн	1	
					Габбро	1	

няются высоким содержанием его в пордообразующих минералах. Некоторые материалы о высказанных предположениях можно найти у А. Е. Лисицына (1963); Л. И. Шабынина и др. (1964); В. Л. Барсукова (1958, 1960) и др. На определенную геохимическую специализацию пордообразующих минералов неоднократно указывали В. Л. Барсуков (1963), И. Я. Некрасов (1966), А. Е. Лисицын и В. Г. Хитров (1962), Л. И. Шабынин (1974), В. Д. Отрошенко (1968) и др. Возвращаясь к данной табл. 30, следует отметить, что именно в контактово-метасоматических породах различного состава наблюдаются наибольшие колебания содержаний бора (от 5 до 7900 млн⁻¹). Это, вероятно, связано с различным отношением скарновых зон к наличию или отсутствию борного, боросиликатного и других типов борного оруденения.

Глава 4

БОР В ПОЧВАХ *

Среднее содержание бора в почвах, по А. П. Виноградову (1957), составляет 10 млн⁻¹, несколько большие кларки приводят Н. Г. Зырин (1968) — 24 млн⁻¹ и К. И. Лукашев (1967).

* При написании глав 4 и 5 и раздела, посвященного экзогенным оре лам рассеяния, по районам Киргизии, Хабаровского и Приморского края, Восточного Забайкалья, Южного Прибайкалья, Якутии, Большого Кавказа, Армении, Туркмении, Казахстана, Украины, Красноярского края использованы материалы, собранные в различные годы Ю. Е. Саитом, В. Ф. Борисовым, Н. Я. Игумновым, К. И. Кузиной, Г. Макуниной.

млн⁻¹. По нашим расчетам среднее содержание бора в почвах СССР составляет 39 млн⁻¹. Однако эта величина может быть несколько завышена, так как основная часть материалов собрана в пределах известных рудных полей и провинций.

Данные о средних содержаниях бора в некоторых почвах ССР приведены в приложении. За основу выделения таксономических единиц принята классификация М. А. Глазовской (1972). Низкими концентрациями бора (в среднем 27—32 млн⁻¹) характеризуются почвы кислых ассоциаций, которые были изучены наиболее полно. Низкие содержания бора характерны для почвах торфяных болотных почв и иллювиально-гумусово-железистых подзолов мерзлотно-таежной зоны (20—22 млн⁻¹). Содержания порядка 50 млн⁻¹ установлены в кислых дерновых почвах и буроземах. Большая часть этих данных подтверждает результаты, опубликованные ранее В. А. Ковдой и др. (1959), В. Григорьевой (1967), В. И. Головым (1969), В. В. Ковальчуком, Г. А. Андриановой (1970) и др.

Для большинства исследованных кислых субаэральных почв характерно накопление бора по сравнению с почвообразующими породами. Элювиально-аккумулятивные коэффициенты кислых почв колеблются в среднем от 1,2 до 1,6. Главным фактором, определяющим различия содержания бора в почвах, является исходная боронасность почвообразующих пород. Сопоставление содержаний бора в кислых субаэральных почвах и породах, на которых они формируются, показало прямую зависимость между ними. По данным большинства исследователей (Обухов, 1968; Рабинович, 1969; Некоторые вопросы..., 1974), отмечавших аналогичную зависимость, коэффициент корреляции равен 0,5—0,9.

Влияние таких факторов, как изменение содержания гумуса, мерзлотно-щелочных условий, величины поглощающего комплекса и многих других приводит к тому, что колебания содержания бора в кислых почвах на одних и тех же породах довольно значительны. Коэффициент вариации для однотипных кислых почв составляет в среднем 40—50% и особенно велик (до 100—30%) в гумусовых горизонтах и почвах подчиненных ландшафтов. В целом в зонах распространения кислых почв контрастность содержаний как валовых, так и подвижных форм бора в напряженных ландшафтах довольно велика (табл. 31).

Наибольшей контрастностью содержаний бора в почвах автономных и подчиненных ландшафтов отличаются ландшафты тайги, смешанных и широколиственных лесов.

На миграционную способность бора в почвах существенно влияют такие физико-химические факторы, как кислотно-щелочные условия среды, содержания гумуса, подвижных оснований, механический состав. Между миграционной способностью бора в почвах и величиной pH установлена обратная связь: по мере роста pH миграционная способность бора в почвах понижается.

Таблица

Средние содержания бора
в почвах сопряженных ландшафтов, млн⁻¹

Род ландшафта				Тип (класс) ландшафта
Автоном- ный	Транзитно- аккумуля- тивный	Суперак- тивный аккумуля- тивный	Акваль- ный	
33 4,2	52 1,7	53 6,0	31 6,5	Мерзлотные ландшафты северной средней тайги (H^+)
27 2,5	31 2,8	53 3,8	15 7,4	Южнотаежные немерзлотные ландшафты и ландшафты широколиственных лесов (H^+)
22 1,5	—	30 1,2	26 2,5	Таежные ландшафты ($H^+ — Ca^{2+}$)
38 2,6	44 2,3	45 4,8	40 6,5	Степные ландшафты (Ca^{2+})
135 —	—	160 —	—	Пустынные и полупустынные ландшафты ($Ca^{2+} — Na^+$)

Примечание. В числителе приведено содержание валового бора, в знаменателе — воднорастворимого.

жается (миграционная способность бора в почвах оценивалась коэффициентом водной миграции по Ю. Е. Сауту, 1966). И обратную связь между величиной рН и содержанием воднорастворимого бора указывают В. И. Голов (1969), О. А. Ивашко (1972), Г. П. Дубиковский (1973) и др. Существенным для почвенной миграции бора является его соотношение с подвижными катионами, которые в воднорастворимых соединениях могут являться ионами-осадителями бора (Валяшко, 1953; Эффедиев, 1955; Яржемский, 1958). Для всех генетических горизонтов почв между этими двумя показателями наблюдается прямая связь.

Установлена прямая зависимость между миграционной способностью бора и содержанием общего гумуса. Характерно, что прямая связь между ними, обусловленная наличием борсодержащих органических соединений, по направлению от верхних гумусовых горизонтов к нижним минеральным горизонтам становится менее отчетливой, и для иллювиальных горизонтов практически отсутствует. Это явление хорошо объяснимо как общим снижением количества органического вещества вниз по профилю, так и большей степенью минерализации органического вещества в нижних горизонтах почв, а следовательно, разрушением органических кислот с высвобождением из них бора.

Прямая корреляционная связь между содержанием воднорастворимого бора и гумусом отмечалась Д. В. Григорьевой (1967), О. А. Ивашевской (1972), Г. П. Дубиковским (1973) и др. Зависимости между содержаниями гумуса и валовых форм бора обнаружено не было.

Установлено, что максимальной концентрацией бора в почвенных ассоциациях характеризуется фракция мелкой пыли. Продолженность максимальных концентраций бора к тонкодисперсным фракциям почв отмечали ранее А. Л. Ковалевский, Д. Черных (1967); В. Б. Ильин (1969 г.); А. Д. Егоров и др. (Микроэлементы..., 1970); Н. Г. Зырин (1973) и др.

Связь с гумусом, механическим составом, кислотно-щелочными условиями среды отражается, естественно, на характере распределения бора по генетическим горизонтам почв. Дерновой процесс сопровождается слабым, но четко выраженным наложением как валового, так и воднорастворимого бора (см. приложение). В альфегумусовых почвах выявляется тенденция накоплению подвижных форм бора в иллювиальных гумусово-глинистых горизонтах. В буровоземах и подзолоземах четкие закономерности распределения бора по профилю выявляются далеко не всегда. Гораздо лучше выявляются закономерности распределения содержания воднорастворимых форм бора. Для подзолоземов характерно распределение содержания воднорастворимого бора по элювиально-иллювиальному принципу. В буровоземах максимум подвижной части бора приурочен к нижним горизонтам.

В описываемых ассоциациях кислых почв наиболее низкими содержаниями кислотно- и воднорастворимых форм бора отличаются почвы подзолистого ряда (см. приложение). Этот факт отмечался ранее С. И. Синяковой (1939); Я. В. Пейве (1960₁, 1960₂, 1960₃); М. В. Каталымовым, С. И. Рябовой (1958); В. Ковалевским, Г. А. Андриановой (1970) и др. Наиболее высокие содержания воднорастворимого бора отмечены в торфяно-болотных почвах, где водной вытяжкой извлекалось до 80% валового бора. На высокие содержания воднорастворимых форм бора в кислых торфянистых почвах указывают М. Стружкина и др. (Микроэлементы в почвах..., 1969).

Более высокие (в среднем 32—49 млн⁻¹ валового и 1,8—2,5 млн⁻¹ воднорастворимого бора) содержания характерны для кислотно-щелочных и нейтрально-щелочных почв. Данные о содержании валовых и растворимых форм бора в некоторых типах почв этих ассоциаций (см. приложение) в целом подтверждают данные Е. П. Барановой, Н. Г. Родзянко (1963); Г. Палолова (1958); О. В. Макеева (1961, 1967); В. В. Ковалевского, А. Андриановой (1970) и др.

Практически для всех исследованных типов кислотно-щелочных и нейтрально-щелочных почв характерно накопление бора в почвенном профиле по сравнению с почвообразующими по-

родами. Эллювиально-аккумулятивные коэффициенты составляют в среднем 1,4—1,6. Между содержанием бора в почвах и породах отмечена прямая связь. Коэффициент вариации содержаний бора в почвах одного типа для кислотно-щелочных ассоциаций меньше коэффициента вариации в кислых почвах и составляет 30—40 %. Слабее выражена и контрастность между средними содержаниями бора в почвах автономных и подчиненных ландшафтов (см. табл. 31).

В серых лесных и остаточно-карбонатных почвах максимум подвижного бора приходится на нижние карбонатные горизонты; в коричневых почвах и черноземах — на верхние гумусовые горизонты. Такое распределение воднорастворимых форм было обусловлено прежде всего резко различными типами водного режима этих почв.

Максимальным содержанием бора как среди субаэральных, так и среди супераквальных почв характеризуются щелочные почвы. Среднее содержание бора в щелочных субаэральных почвах равно 54 млн^{-1} , в супераквальных 87 млн^{-1} . Данные о средних содержаниях валовых и растворимых форм бора в некоторых типах почв этих семейств (см. приложение) хорошо сопоставимы с данными С. Г. Цейтлина (1939); В. Б. Ильина (1960), В. В. Ковальского, Г. А. Андриановой (1970) по щелочным почвам СССР и намного превышают средние содержания бора в щелочных почвах Монголии (Содержание микроэлементов, 1973). Наиболее высокой бороносностью отличаются засоленные разности щелочных почв. На эту закономерность указывали многие исследователи (А. П. Виноградов, 1947, 1957; С. И. Онякова, 1939; В. В. Ковальский, Г. А. Андрианова, 1960; В. А. Ковда и др., 1959 и др.). Сопоставление содержаний бора в щелочных почвах с подстилающими породами показывает прямую зависимость между ними.

Анализ распределения содержаний бора по горизонтам почв щелочных ассоциаций показывает четкую приуроченность к более высоких концентраций к горизонтам максимального скопления солей. В бурых и серо-бурых полупустынных и пустынных солонцеватых почвах характерно наличие двух максимумов скопления бора, один из которых расположен в солонцовых горизонтах B_{tNa} , выполняющих роль своеобразных геохимических барьеров, а второй — в нижних засоленных горизонтах BC/CS . Резко дифференцированный по содержанию бора профиль имеет три исследованные разновидности солончаков Юго-Западной Туркмении. В шоровых и приморских корковых солончаках бор накапливается в солевых корках, содержание бора в нижележащей толще незначительно. Наиболее высокими содержаниями бора из всех исследованных почв Советского Союза (300 млн^{-1}) отличаются солончаки, образование которых связано с высокоминерализованными нефтяными водами (с содержанием бора до 1 млн^{-1}), выходящими на поверхность по тек-

ческим трещинам нефтегазоносных структур, а также солончаками, образующиеся на продуктах извержения грязевых вулканов, содержащих до 1000 млн^{-1} бора. В солончаках последнего выделяются два горизонта накопления бора: зона капиллярной избыточности (верхний горизонт) и нижние, переходные к погодам, горизонты скопления солей. Приуроченность максимальных содержаний бора к карбонатным и солевым горизонтам в почвах наблюдалась многими исследователями: Б. Ильиным (1964); П. А. Власюком (1955); А. Л. Ковалевым, И. Д. Черных (1967); Д. В. Григорьевой (1967) и др.

Таким образом, содержание бора в почвах Советского Союза колеблется в очень широких пределах (от 5—10 до 300 млн^{-1}). Такой факт постепенного увеличения содержания бора в ряду базальных почв от кислых к щелочным несомненен. Поскольку этот переход отражает широтную зональность почв, то можно констатировать, что содержание бора в зональных типах почв увеличивается от холодных гумидных областей к жарким тропическим. Подобную широтную зональность в содержании бора почвах как в целом по Советскому Союзу, так и по отдельным регионам отмечали А. П. Виноградов, 1957; В. А. Ковде и др., 1959; В. Б. Ильин, 1964; М. В. Каталымов и С. И. Рябова, 1965; А. Д. Егоров и др., (Микроэлементы..., 1970). Одно колебание содержаний бора в однотипных почвах довольно значительно и увеличивается от щелочных почв к кислым, с юга на север, что, согласно В. А. Ковде (1959, 1973), влечет увеличению в этом направлении пестроты почвообразующих пород, содержания гумуса, поглощенных оснований и других показателей. Геохимические особенности поведения бора почвах могут быть использованы в качестве поисковых признаков и критериев при литогеохимических поисках борного ряда.

Глава 5

БОР В РАСТЕНИЯХ

Бор является физиологически активным микроэлементом и особенно необходим для нормального роста и развития всех растений, что доказано многочисленными исследованиями как в СССР, так и за рубежом (Школьник, 1939, 1950, 1952, 1955; Язева, 1938; Бобко, 1938, 1940; Яковлева, 1952; Буслова, 1952; Дж. Скок, 1962; Мак-Лин, Волк, 1962; Хардер, 1965 и др.). Установлено этим исследованиям присутствие бора в растениях и влияет фотосинтез, дыхание, поглощение катионов, превращение и передвижение углеводов и фосфора, повышает солеустойчивость и способствует лучшему усвоению калия.

Биофильные свойства бора обусловливают его накопление в растительностью. А. И. Перельман (1972, 1975) относит бор к элементам энергичного накопления с коэффициентами биологи-

ческого поглощения, равными $n=10$. Среднее содержание бора в золе растений суши, по С. М. Ткаличу (1970), составляет 400 млн $^{-1}$. Морские растения богаче бором. Так, содержание бора в различных водорослях, по данным А. П. Виноградова (1935), равно 100—3000 млн $^{-1}$, составляя в среднем в золе рода *Laminaria* 1600 млн $^{-1}$, а в золе рода *Fucus* 1700 млн $^{-1}$.

Бор в растениях мерзлотно-таежной зоны исследовался в районах Прибайкалья, Забайкалья, Южной Якутии, севера Баренцева моря и был определен в 30 видах. В таежной зоне выявлено довольно резкое различие в накоплении бора различными между двумя классами ландшафтов: кислым (H^+) и переходным (H^+-Ca^{2+}). Растения H^+-Ca^{2+} ландшафтов центрируют бор в значительно большей степени, чем растения кислых ландшафтов (табл. 32). Содержание бора в золе растений ландшафтов H^+ класса превышает содержание бора в горизонтах питания в 2—20 раз (в среднем 15); в ландшафтах H^+-Ca^{2+} класса в 3—35 раз (в среднем 22), что хорошо соот-

Таблица

Средние содержания бора
в некоторых растениях различных ландшафтов
мерзлотно-таежной зоны, млн $^{-1}$

Растение	H^+ класс			H^+-Ca^{2+} класс	
	автономный	трансэлювиальный	супераквальный	автономный	супераквальный
Сосна обыкновенная	270	—	350	400	440
Кедровый стланик	730	970	1300	126	1000
Лиственница даурская	420	640	540	630	800
Береза Миддендорфа	260	460	480	470	600
Береза плосколистная	411	—	620	665	700
Ольха черная	270	330	500	390	500
Рододендрон даурский	460	—	650	620	740
Брусника	370	—	480	460	600
Голубика	510	—	680	510	1000
Багульник болотный	680	1120	1100	1000	1150
Гипновый мох	—	—	100	—	120

суется с данными И. Я. Некрасова (1966); А. Л. Ковалевской и И. Д. Черных (1967); О. А. Ивашевской (1972) и др.

Колебания содержаний бора в одних и тех же видах различных ландшафтов в пределах одного класса ландшафта значительны и многом зависят от рода и вида ландшафта. Растения супераквальных ландшафтов, как правило, богаче бором по сравнению с аналогичными видами в автономных условиях (см. табл. 32). Отмечена зависимость между содержанием бора в растениях механическим составом субстрата, которая выражается в у-

чении содержания бора в растениях на тяжелосуглинистых глинистых почвах. Содержание бора в растениях зависит и от принадлежности их к различным систематическим группам. Всех исследованных видах таежных ландшафтов $H^+ - Ca^{2+}$ всегда отмечена тенденция к накоплению бора в древесных родах. По степени возрастания содержаний бора растительные группы можно расположить в следующем порядке: осоково-злаки-лишайники-злаки-бобовые → кустарнички → куриные-деревья. Из этого ряда выпадает багульник болотный, содержание бора в котором существенно выше, чем во всех этих видах (до 1000 млн⁻¹).

Интенсивность накопления бора органами растений различна. Наиболее резко содержание бора в органах растений дифференцировано у древесных пород, где выявляется тенденция к накоплению бора в побегах, листьях и хвое (в среднем в 1,3 раза больше по сравнению с корой и древесиной). Концентрация бора в листьями и хвоей древесных пород в таежной зоне отмечалась В. Б. Ильиным (1964, 1974), О. А. Ивашевской (1972), И. Некрасовым (1966) и др.

Биогеохимия бора в зоне широколиственных лесов изучалась в районах Хабаровского и Приморского краев, Ханкана, Большого Кавказа. Получены данные о содержании бора

Таблица 33

Средние содержания бора
в некоторых растениях зоны
широколиственных и мелколиственных лесов, млн⁻¹

Растение	Классы ландшафтов		Растение	Классы ландшафтов	
	H^+	$H^+ - Ca^{2+}$		H^+	$H^+ - Ca^{2+}$
Бородавчатка монгольский	860	890	Орех маньчжурский	890	920
Бородавчатка даурская	800	1600	Леспредеца копеечниковая	630	840
Бородавчатка маньчжурская	720	660	Кочедыжник женский	840	930
Бородавчатка мелколиственный	510	650	Чина приземистая	310	700
Бородавчатка лопастной	610	710	Орляк обыкновенный	250	410

в 76 видах растений. Содержания бора в растениях рассматриваемой зоны зависят от класса, рода и вида ландшафтов, пределах которых они произрастают, а также от принадлежности к различным систематическим группам, возраста, фазы гетерации и микроклиматических условий.

Содержание бора в большинстве видов растений несколько выше в переходном к кальциевому ландшафте (табл. 33). Однако контрастность концентрации для большинства видов велика (в среднем 1,2—1,3) и меньше, чем в аналогичных

классах ландшафтов мерзлотно-таежной зоны. Распределение содержаний бора в растениях на различных элементах рельефа в пределах ландшафтов одного класса водной миграции позволяет некоторое накопление бора в подчиненных ландшафтах (табл. 34).

Таблица

Средние содержания бора в некоторых видах растений
в зависимости от рода ландшафта, млн^{-1}

Растение	Род ландшафта		Растение	Род ландшафта	
	авто- номный	супер- акваль- ный		авто- номный	супер- акваль- ный
Дуб монгольский	710	890	Осина	560	710
Береза даурская	750	810	Ива козья	670	710
Береза маньчжурская	720	850			

Существенное влияние на колебание содержаний бора в растениях ландшафтов одного класса и рода оказывает пестрота коренных пород и их исходная бороносность. Распределение содержаний бора в растениях ландшафтов лесной нетаежной зоны определяется также видовыми особенностями растений и принадлежностью их к различным систематическим группам. Наиболее низкие содержания отмечены в низших растениях мхах, хвощевых, папоротниках (средние содержания 100—150 млн^{-1}). Низкие содержания бора (до 200 млн^{-1}) характерны для злаков: вейника наземного, пырея ползучего, мяты лугового, трищетинника сибирского. Наиболее богаты бором и сокоорганизованные растения — кустарники и деревья (среднее содержание 400—500 млн^{-1}). Промежуточное положение между злаками и кустарниками занимает разнотравье (250—300 млн^{-1}), в котором наиболее высокие содержания бора наблюдаются в растениях семейства кипрейных (иван-чай обыкновенный) и бобовых (леспедеца копеечниковая, чина призматическая, люцерна серповидная). Расположив группы растений по степени увеличения содержания бора, получим следующий ряд: мхи \rightarrow осоковые \rightarrow злаковые \rightarrow хвощевые \rightarrow многоножковые \rightarrow ариллисовые \rightarrow сложноцветные \rightarrow лилейные \rightarrow кипрейные \rightarrow бобовые \rightarrow кустарники \rightarrow древесные породы. Примерно аналогичный ряд накопления бора в растениях приводят А. Д. Егоров и (Микроэлементы..., 1970).

Различные органы древесных пород накапливают бор в одинаковых количествах. Места максимальной концентрации бора в лиственных деревьях и кустарниках — листья и ветви хвойных — кора и ветви. В травянистых растениях, как правило, бор концентрируется в наземной части. Исключение составляют красоднев желтый, в корнях которого были зафиксированы

жания бора, в 1,5 раза превышающие содержание в наземной части.

В ландшафтах широколиственных и мелколиственных лесов выявлено повышение содержаний бора у древесных пород от юных экземпляров к старым. Так, среднее содержание бора в ветвях и листьях молодой березы желтой составляет в среднем 480 млн^{-1} , в то время как в старой — 640 млн^{-1} . Среднее содержание бора в золе ветвей молодой липы амурской равно 3 млн^{-1} , в старой — 430 млн^{-1} . Аналогичная закономерность установлена и для лещины разнолистной, жимолости Рупрехта (Согласно В. В. Поликарпочкину и Р. Г. Поликарпочкиной 1964), бор относится к элементам, способным к реутилизации, и повторному использованию в растениях. Такие элементы, в правило, поступив однажды в тот или иной орган растений,ично удерживаются в нем. С возрастом происходит постепенное их накопление, и в более старых органах растений содержание их повышено.

Для всех древесных и травянистых растений, за исключением семейства злаковых и лилейных, выявлена тенденция дальнейшего значительного увеличения содержания бора в завершающий период вегетации и плодоношения (табл. 35).

Таблица 35

Средние содержания бора в некоторых растениях широколиственной и мелколиственной лесной зоны в различные периоды вегетации

Растение	$\bar{X}, \text{млн}^{-1}$		Растение	$\bar{X}, \text{млн}^{-1}$	
	начало лета	конец лета		начало лета	конец лета
Лещина разнолистная	440	810	Грушанка круглолистная	210	280
Лицоколистный	230	420	Земляника лесная	210	390
Жимолость Рупрехта	100	260	Ландыш маньчжурский	120	170
Бородавчатый	180	430	Волжанка обыкновенная	270	330
Анчай обыкновенный	420	420	Какалия копьевидная	180	210

На содержание бора в растениях существенное влияние оказывает и интенсивность освещения. Опробование ветвей кедра Еврейского и ивы Роде, ориентированных по разным сторонам ствола, показало значительное увеличение (в среднем в 1,5 раза) содержания бора с южной освещенной стороны по сравнению с северной. Эти данные еще раз подтверждают результаты опытов Я. Школьника (1950), показавшего, что низкие температуры и невысокая интенсивность освещения уменьшают потребление бора растениями.

Биохимические исследования на бор в лесостепных, степных сухостепных ландшафтах проводились на территории Северного

го Казахстана, Армении, Украины, в предгорьях Большого Кавказа. Всего был собран материал о содержании бора в 158 видах растений. Особенности распределения содержаний бора в растениях, выявленные в лесных ландшафтах, в целом характерны и для лесостепных. Минимальным содержанием бора ($25-50 \text{ млн}^{-1}$) характеризуются злаки (вейник наземный, костер безостый, ковыли). Более высокие содержания бора характерны для растений семейства подорожниковых, губоцветных и сложноцветных ($100-500 \text{ млн}^{-1}$). Наконец, самые высокие содержания бора фиксируются в древесных породах (береза, ясень, ясеневидная, ясень коричневый, ясень красный, ясень серый), составляя $350-700 \text{ млн}^{-1}$. Максимум концентрации бора в древесных растениях приходится на ветви и листья. Древесные растения содержат в ветвях с южной стороны в 2 раза больше, чем с северной (средние содержания бора равны соответственно 1200 и 920 млн^{-1}).

На содержание бора в растениях лесостепной зоны существенное влияние оказывают и видовые различия в ландшафтах. Так, например, содержание бора в дубровнике беловойлочном и шалфеевом в ландшафтах на известняках равны соответственно 680 и 510 млн^{-1} , на песчаниках и аргиллитах — 460 млн^{-1} . Значительно слабее проявлено влияние родово-видовых различий ландшафтов на содержание бора в растениях. Из исследованных видов растений практически только полынь и лодная накапливают бор в подчиненных ландшафтах по сравнению с автономными. Контрастность содержаний бора в субальпийских растениях отсутствует. В лесостепной зоне Казахстана выявлены растительные виды — концентраторы бора. Это сосна уральская и береза бородавчатая. Коэффициенты биологического поглощения бора в лесостепной зоне равняются 3—4 (в среднем 12).

Для биогеохимии бора в условиях сухостепных ландшафтов характерны закономерности распределения его содержаний в растениях в зависимости от их биологического-физиологических способностей, принадлежности к различным биологическим группам, возраста, фазы вегетации, условий освещенности. Для многих растений сухостепной зоны характерно наличие очень высоких содержаний бора. Так, среди бобовых, которые во влажных зонах содержат повышенное по сравнению с другими травянистыми растениями количество бора, в аридной зоне выявляется род астрагалов. Содержание бора в растениях этого рода достигает $1000-3000 \text{ млн}^{-1}$. Высокие содержания бора (в среднем $600-900 \text{ млн}^{-1}$) характерны для растений рода лохаев, что подтверждает уже приводившиеся в литературе факты повышенной способности к концентрации бора растениями с млечной системой (Сывороткин, 1952). Очень высокие содержания бора были зафиксированы в растениях на травянистых отложениях углекислых источников. На участках разгрунто-

в этих водах, где содержание бора в породах достигает 100 млн⁻¹, наблюдаются плеши и не произрастают практически никакие растения, кроме астрагала колючего и тростника обыкновенного. Содержание в первом составляет в среднем 10 млн⁻¹, а во втором достигает 12 000 млн⁻¹, тогда как на этих участках они равны 100—300 млн⁻¹. Видимо, эти виды отличают боролюбивыми свойствами и индивидуальными способностями пышно расти и развиваться в условиях высокой минерализации, где не растут другие виды. Единичные экземпляры полинии душистой, гебелии лисохвостной и солодки, произрастающие на травертинах, находились в крайне сухом состоянии. Высокие содержания бора отмечены также в боре грецком, шиповнике иглистом, барбарисе восточном и ряде австралийском. Наиболее низкие содержания бора в семейства злаковых и сложноцветных. Фактический ряд позволяет составить следующий ряд из различных представителей биологических групп (по количеству накопления бора): древесные растения → кустарники → травянистые растения. Ряд выпадают растения-концентраты бора (различные виды астрагалов, молочаев и тростник обыкновенный).

Старые экземпляры древесных растений содержат бор в больших количествах, чем молодые. Например, в листьях ореха дуба возрастом 50 лет содержится в среднем 580 млн⁻¹, а в молодом (5 лет) — 420 млн⁻¹.

Содержание бора в побегах ореха грецкого с южной стороны в три раза больше, чем с северной, восточной и западной. Появление потребности бора при увеличении интенсивности освещения связано, по мнению М. Я. Школьника (1950), с повышенной проницаемости плазмы клеток, что влияет на увеличение возможности проникновения элементов в растения. Содержания бора в листьях ореха грецкого в разгар вегетационного периода (до 1000 млн⁻¹) в три раза больше, чем в стеблях и коре, а в пестиках — в 10 раза, в плодоношении на два порядка ниже, чем в плодах. Величины коэффициентов биологического поглощения в растениях сухой зоны составляют в среднем 10—12.

Биогеохимия бора в пустынных ландшафтах изучена в районах Юго-Западной и Восточной Туркмении, а также в Армении. Установлена бороносность 44 видов растений. В Восточной Туркмении наиболее высокие содержания бора отмечены в астрагале (до 1000 млн⁻¹). Почти такие же концентрации наблюдаются в цельнолистнике Бунге, трикодесме серой. Наиболее низкие содержания (не >80 млн⁻¹) характерны для саксаульчика тонкостебельного и спиростегии бухарской. Интересно, что даже инеоносной толще с борной минерализацией (данбурит) содержание бора в саксаульчике тонкостебельном практически не отличается, т. е. данный вид можно отнести к растениям-концентратам бора.

В Юго-Западной Туркмении была изучена борная биогенная провинция, связанная с морским засолением территории. Наблюдалось сильное обогащение бором природных и почв. Содержание бора в почвах (до 300 млн⁻¹) в 10 раз превышает верхние пороговые концентрации бора, достаточные по данным В. В. Ковальского и Г. А. Андриановой (1970) для нормального развития растений. Наиболее высоки содержания бора в галофитах: сарсазане шишковатом и поташнике камском, а также астрагалах (в среднем 800—1000 млн⁻¹). Были обнаружены симптомы токсичности бора у кандыма безлистного, реомюрии туркестанской и солянки малолистной. Морфологические изменения проявлялись в отмирании верхушечных побегов, малом росте, резком увеличении объема члеников. Многими наблюдалась гибель растений. В то же время содержание бора в золе селитрянки Шобера равнялось 85 млн⁻¹, в саксауле белом не превышало 100 млн⁻¹. Видимо, оба вида являются концентраторами бора. Коэффициенты биологического поглощения бора растениями пустынь (Юго-Западная Туркмения в расчет не бралась) составляют 1—10 (среднее 5).

Таким образом, имеющийся фактический материал по геохимии бора позволяет сделать следующие выводы: содержание бора в исследованных растениях Советского Союза колеблется в очень широких пределах — от 20 до 10 000 млн⁻¹; наименее низкие содержания бора в низших растениях мерзлотной таежной зоны (мхах, лишайниках), наиболее высокие в галофитах, растениях рода астрагалов и тростниках засоленных аридных районов.

На содержание бора в растениях влияет класс, род и тип ландшафта, на котором они произрастают. Растения калиевых и переходных к кальциевым ландшафтов богаче бором, чем растения кислых ландшафтов. Растения подчиненных ландшафтов концентрируют бор в больших количествах, чем те же растения в автономных условиях. Наиболее резко выражена контрастность содержаний бора в сопряженных ландшафтах в гумидной зоне. Наиболее богаты бором растения, произрастающие на сокобороносных сланцах, соленосных глинах, суглинках и т. д.

Различные растения в сравнительно одинаковых условиях обитания обладают неодинаковыми способностями усваивать бор. Это физиологическое свойство избирательного поглощения бора было использовано для выделения растений-концентраторов бора. В таежной зоне таким является багульник болотный, в лесостепной зоне Казахстана — солодка уральская и белая, бородавчатая; в сухостепной — растения родов астрагалов и лохаев; в пустынной — цельнолистник Бунге, трикодесма супина, растения рода астрагалов и некоторые растения галофитов. Растения: селитрянка Шобера, саксаул белый и саксаульчик костебельный в пустынной зоне являются деконцентраторами бора.

бор в древесных растениях концентрируется в местах наибольшего напряжения жизненных процессов — побегах, листьях, плодах. В период максимального вегетационного развития содержание бора в растениях увеличивается. Содержание бора в растениях зависит также от их возраста. Старые растения, как правило, содержат большее количество бора, чем молодые. Побеги деревьев с южной стороны света концентрируют бор в больших количествах, чем остальные. Все указанные особенности фитогеохимии бора могут быть использованы в качестве признаков и критериев при биогеохимических поисках борного сырья.

Часть II

ЭНДОГЕННЫЕ ОРЕОЛЫ

Опубликованные работы по изучению эндогенных ореолов месторождений бора ограничены одним-двумя названиями, ложенный ниже материал также ограничен прежде всего лом месторождений как известковоскарновой (два основных объекта и два второстепенных), так и магнезиально-скарновых формаций (один и семь соответственно), где возможно изучение эндогенных ореолов по условиям обнаженности и распространенности месторождений. При описании эндогенных ореолов были использованы следующие параметры: 1) продуктивность $\text{ПР} = \sum X_{ian} \times L_{ian}$, где X_{ian} — аномальные содержания элементов в пробах; L_{ian} — длина проб с аномальными содержаниями; аномальные принимались содержания, превышающие величину $C_f + S$, где C_f — среднефоновое содержание, а S — среднеритичное отклонение содержаний элемента в фоновых выработках; 2) нормированная продуктивность $\text{ПР}_n = \text{ПР} / \sum L_i$, $\sum L_i$ — сумма длин всех проб; 3) среднеаномальное содержание $C_{an} = \text{ПР} / \sum L_{ian}$; 4) коэффициент контрастности $K_k = C_{an} / (C_f + S)$; 5) коэффициент минерализации $K_m = \sum L_{ian} / \sum L_i$; 6) коэффициент зональности — отношение мультиплексивных показателей зоновых индикаторов фронтальных частей рядов зональности к тыловым.

Глава I

ЭНДОГЕННЫЕ ОРЕОЛЫ МЕСТОРОЖДЕНИЙ БОРА ИЗВЕСТКОВОСКАРНОВОЙ ФОРМАЦИИ

Эндогенные ореолы месторождений бора известковоскарновой формации изучены очень слабо и сведения о них в литературе ограничены работами Ю. Е. Саита с соавторами (1973) по одному из месторождений Северного Кавказа. Возможности их изучения ограничиваются малым числом обследований такого рода в Советском Союзе (около 16 месторождений), слабой доступностью большинства из них для изучения эндогенных ореолов (плохая вскрытость ореолов, отсутствие материала керна скважин) и совмещением боросиликатного оруденения с другими видами оруденений. Поэтому материал по эндогенным ореолам, излагаемый далее, ограничен из-за перечисленных факторов.

Месторождения в Казахстане. Эта группа месторождений скарнового типа, главным рудным элементом которых являются

и медь, второстепенными — кобальт, молибден, бор (бораты проинкликаты). Все месторождения района локализованы в зонах, приуроченных к контакту карбонатных пород и крупного интрузивного массива. Боросиликатное оруденение локализовано на Центральном участке, типичный разрез осадочных пород которого (сверху вниз) состоит из перекрывающей толщи перемежающихся в разных соотношениях туфоалевролитов туфовесчаников (150—250 м); продуктивного горизонта, состоящего из двух пластов известняков с разделяющей их толщей терригенных пород (100—150 м, из них 50—100 м — карбонатные породы) и подстилающей толщи туфоалевролитов и туфовесчаников (не менее 1000—1300 м). Осадочные породы залегают субгоризонтально. Интрузивные породы представлены гранодиоритами и кварцевыми диоритами, силлами спессартита и крутоопадающими дорудными дайками диоритовых и шпато-биотитовых порфиритов.

Скарны известковые; пироксен-гранатовые с существенно сульфидными гранатами и пироксенами салит-геденбергитового состава. Образование скарнов связано в основном с конвективно-инфилтратационным метасоматозом при инфильтрации горячих растворов от интрузива по напластованию известняков с замещением последних. Скарны и вмещающие терригенные породы изменены послескарновыми гидротермальными растворами с образованием актинолитовых, кальцит-хлоритовых и датоловых метасоматитов, причем последние более характерны для терригенных пород. Скарны и апоскарновые метасоматиты слагают продуктивные горизонты, вмещающие основную рудную минерализацию участка, что характерно и для других месторождений этого рудного района.

Рудные тела локализуются во внешней части скарновой зоны и имеют форму лентообразных линз, вытянутых в субширотном направлении параллельно контакту скарнов с известняками и гранитоидами. Главные минералы сульфидных руд представлены арсенопиритом, кобальтином, глаукодотом, германитом. Борные руды сложены в основном данбуритом и в меньшей степени датолитом и аксинитом. Аксинит ассоциирует с боросиликатами, однако чаще образует близкие к мономинеральным метасоматиты и вкрапленность в скарнах за счетами рудных тел. По терригенным породам развивается только аксинит. Турмалин очень редок, развивается по дайкам, в то время как в пределах описываемого рудного района он шире распространен (в основном турмалинизация гранитоидов).

Для каждого типа руд наиболее характерны элементы, слагающие основные рудные минералы в качестве главных компонентов или характерных примесей. Для боросиликатных руд — В и Ве, которыми обогащены датолит, данбурит и аксинит для кобальтовых руд — Со, Bi, As, Ni, входящие в состав

арсенопирита, кобальтина, глаукодота, герсдорфита, самого висмута и виттихенита. Тесное пространственное смещение руд обоих типов привело к взаимному обогащению рактерными элементами.

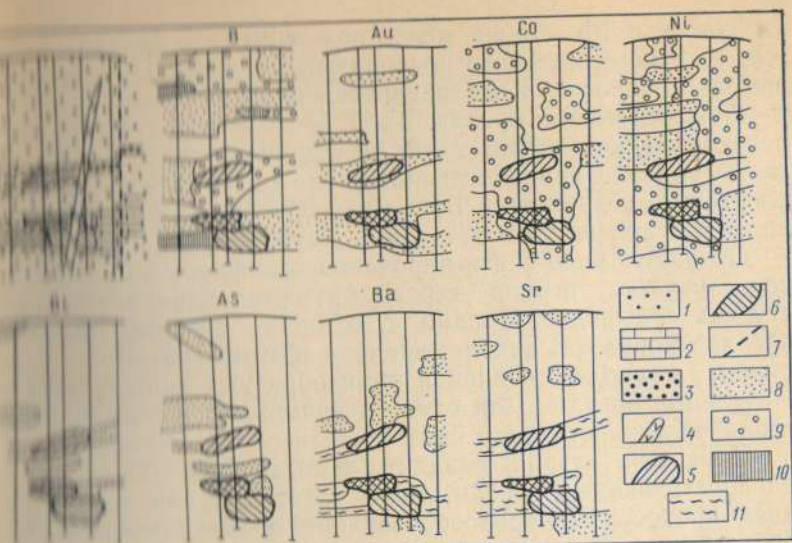
Пространственное совмещение кобальтового и боросилкого оруденений на Центральном участке месторождения чет за собой и совмещение эндогенных ореолов рудных обоих типов.

На участке установлено развитие ореолов 20 элементов: Be, V, Co, Cu, Mo, As, Ni, Pb, Ag, Sb, Ti, Cr, Zn, Bi, W, Y, Ge, B, Ba, Na, K, Rb.

Все элементы образуют положительные ореолы, а Ba, Sr, K и Rb — также и отрицательные. Наиболее широко и интенсивно развиты положительные ореолы В, Ni, Co, Cu, As. Степень ореолов определяется в основном двумя факторами: литологическим и структурным. Литологический фактор определяет более интенсивное развитие ореолов Ba, Be, V, Ti, Cr в скарнах и апоскарновых метасоматитах продуктивного горизонта. Ореолы ряда элементов либо вообще не выходят за пределы продуктивного горизонта (Sb, W, Bi), либо преимущественно развиты в его породах (Be, Mo, Co, Ag). Естественно, форма таких ореолов определяется формой продуктивного горизонта — сильно вытянутые лентообразные линзы. Выклинивание рудного тела сопровождается выклиниванием комплексного ореола, который приобретает характерную пламенеющую форму, прослеживаясь после выклинивания рудного тела еще на 450 м.

Роль структурного фактора проявляется в зависимости физики ореолов от разрывных нарушений двух основных систем: субгоризонтальных межплаковых и крутопадающих, кущих напластование осадочных пород. Субгоризонтальные межплаковые нарушения контролируют образование ореолов простых форм — вытянутых уплощенных (рис. 1). Крутопадающие нарушения и приуроченные к ним антиклины играют главную роль в формировании блоковых структур ореолов, экранируя последние. Одни и те же структуры (даже разломы) могут выполнять роль экрана в одних участках и «пробиваться» ореолами в других.

Ореолы бора наиболее широко распространены на Центральном участке и однозначно связываются с боросиликатным орудением, а на западном фланге — с боратовой минерализацией, очень слабо проявляясь на участке медного оруденения. В рудах и породах продуктивного горизонта бор находится в виде датолита, данбурита и аксинита, а в терригенных породах — в основном в виде аксинита. На участке развития боратовой минерализации для ореолов в породах перекрывающих толщи характерен не аксинит, а турмалин.



I. Эндогенные ореолы боросиликатного месторождения Казахстана

1 — гидротермальные туфоалевролиты; 2 — скарнированные известняки; 3 — сканы; 4 — боросиликатные рудные тела; 5 — кобальтовые рудные тела; 6 — разнотипные ассоциации; 7—10 — содержания элементов в положительных ореолах; 8—10 — содержания элементов в отрицательных ореолах (Ba > 100, Sr > 100, Co > 10, Ni > 10, As > 100, Ba > 1000, Sr > 1000, Co > 19, Ni > 22, Ba > 2200, Sr > 900; 10 — B > 1000); 11 — содержания элементов в отрицательных ореолах (Ba < 200, Sr < 100)

Ореолы берилля тесно связаны с боросиликатной минерализацией, так как основными минералами-носителями и концентраторами берилля в рудах и ореолах являются датолит (2 млн^{-1}), данбурит (25 млн^{-1}) и аксинит (до 30 млн^{-1}). Содержание берилля в турмалине значительно ниже (3 млн^{-1}), что связано, вероятно, очень слабое развитие ореолов элементов в связи с боратовой минерализацией.

Образование ореолов марганца полигенетично и связано с выносом элемента в скарновую стадию (содержание MnO в скарновых гранатах и пироксенах достигает соответственно 0,5–0,6% при максимальном содержании в известняках 0,2%); выносом при актинолитизации и аксинитизации (содержание MnO в аксините достигает 2%) и с выносом его при эпидотизации скарнов и образовании кальцит-хлоритовых метасоматитов с дальнейшим переотложением его в терригенных породах перекрывающей толщи. В последних ореолы марганца в основном расположены над участками гидротермально преобразованных скарнов.

Вывес определено со скарновой стадией связаны отрицательные ореолы бария, стронция, натрия, калия и рубидия в скарнах и аноскарновых метасоматитах продуктивного горизонта. Причем, если отрицательные ореолы Ba и Sr занимают всю площадь развития продуктивного горизонта, то ореолы

лы Na, K и Rb — лишь менее половины, что связано с химическим гидротермальным преобразованием скарнов, сопровождающегося привносом и перераспределением этих элементов.

Положительные ореолы Ba, K и Rb в терригенных породах перекрывающей толщи тесно ассоциируют друг с другом и связываются с калишпатизацией, что соответствует данным по содержанию BaO (0,1—0,75%) и Rb₂O (до 3,3% в калиевых полевых шпатах (Дир, Хауи, Зусман, 1966).

Основную роль в формировании сульфидных руд Центрального участка играла герсдорфит-арсенопирит-кобальтитовая стадия сульфидной стадии, с которой связано образование ореолов кобальта, никеля, висмута и мышьяка. Медь, серебро, сурьма, молибден, свинец и цинк образуют контрастные и жительные ореолы. Для ореолов вольфрама и германия характерна пространственная связь с медным оруденением.

Цирконий, иттрий, ванадий, хром и титан образуют распространенные ореолы, связь которых с той или иной стадией процесса минералообразования проблематична. Образование ореолов этих элементов фиксируют участки наиболее интенсивных гидротермальных преобразований.

Сравнение состава руд и ореолов показывает дифференцированный характер накопления элементов в них, что, очевидно, обусловлено резким различием химических и физико-химических свойств пород. В табл. 36 и 37 приведены характеристики элементов-индикаторов формационной принадлежности аномалий к комплексной боросиликатной и кобальтитовой а также меднорудной формаций. В качестве индикаторов выбраны элементы с максимальными различиями характеристик для ореолов, связанных с разными рудными формациями. Наиболее надежными и информативными характеристиками для ореолов в породах перекрывающей толщи являются коэффициенты минерализации и контрастности, а в породах продуктивного горизонта — нормированная продуктивность. Кроме комплекса конкретных значений характеристик элементов-индикаторов для определения формационной принадлежности аномалий можно использовать коэффициенты, рассчитанные как отношение аддитивных показателей характеристик элементов-индикаторов (табл. 38).

Комплексные эндогенные ореолы боросиликатных и кобальтитовых рудных тел характеризуются зональным строением. Установлены продольный и осевой виды зональности, в основном соответствующие единому ряду зональности эндогенных ореолов по С. В. Григоряну (табл. 39). Очевидно, что элементы фронтальных частей зональных колонок (Ba, Ag, Pb, Zn) тяготеют к первой половине рядов, а элементы тыловых частей (Mo, Sn, Co, Bi) — ко второй половине. Положение мышьяка в ассоциации с элементами тыловых частей в данном случае кономерно и объясняется тесной парагенетической ассоциацией.

Оруденение	B		Co		Cu		Fe		Ni		Zn		W		Ge	
	K _M	K _W	K _{Co}	K _M	K _W	K _{Co}	K _M	K _W	K _{Co}	K _M	K _W	K _{Co}	K _M	K _W	K _{Co}	
Комплексное (боро-силикатное и кобальтовое)	0,65	0,60	3,1	0,40	4,0	0,3	2,2	11,4	0,05	4,1	0,05	1,7	0,25	8,9	5,2	
Медное	0,05	0,24	7,6	0,15	2,7	0,5	4,0	40,0	0,56	9,4	0,45	6,4	0,6	1,7	1,8	0,33
																0,25
																0,1

Таблица 37

Нормированная продуктивность элементов-индикаторов формационной принадлежности аномалий в породах продуктивного горизонта

Оруденение	B	Co	As	V	Ag	Zn	Cr	W	Sn	Ge
Комплексное (боро-силикатное и кобальтовое)	71	58	5,4	41	23,4	3	20,5	1,1		
Медное	1,8	3,8	1,1	1,8	13,9	1,3	32	3	1,3	2,7

Таблица

**Отношения аддитивных показателей эндогенных ореолов,
используемые для определения
формационной принадлежности аномалий**

Оруденение	В породах перекрывающей толщи				В породах про- шлого горизонта		
	Коэффициенты минерализации		Коэффициен- ты контраст- ности		Нормированные продуктивные		
	$\frac{\text{Co}+\text{Ni}}{\text{Cu}+\text{Ag}}$	$\frac{\text{Co}+\text{B}+\text{Ni}}{\text{Cu}+\text{Bi}+\text{Ag}}$	$\frac{\text{Co}+\text{Ni}}{\text{Cu}+\text{Bi}}$	$\frac{\text{Co}+\text{Cr}}{\text{Cu}+\text{Ag}}$	$\frac{\text{Co}+\text{Cr}}{\text{Bi}+\text{Cu}}$	$\frac{\text{B}+\text{Co}+\text{As}+\text{Bi}}{\text{Cu}+\text{W}+\text{Sn}+\text{Ge}}$	
Комплексное (боро- силикатное и ко- бальтовое)	2,8	4,1	2,8	3,3	2,0	8,1	6,0
Медное	0,4	0,29	0,37	0,4	0,3	0,7	0,6

Таблица

**Ряды зональности комплексного боросиликатного
и кобальтового оруденения**

Направление движения растворов	Вид зональности	Ряды зональности
От интрузии к известнякам	Продольная	Pb—Zn—Ni—Ag—B—Ba—Mo—Cu—Co—As—Bi—W
Параллельно контакту скарнов с известняками и интрузией	Осевая	W—(Cu, Ag)—Zn—Sb—Pb—Co—Bi—Ni—As—B—Mo
Единый ряд зональности (Григорян, 1974)		Ba—(Sb, As, Hg)—Cd—Ag—Pb—Zn—Au—Bi—Ni—Co—Mo—Sn—Be—W

Ag, Co и Bi, входящих в состав основных рудных минералов. Положение W и Cu, характерных для медного оруденения, в начале ряда зональности связано с концентрациями меди и ртути на участке выклинивания рудных тел в западной части Центрального участка (см. табл. 39).

Неидентичное расположение бора в рядах зональности, мечаемое также и для ореолов медного оруденения, очевидно, связано с тем, что боросиликатное оруденение образует присущую зональность, пространственно не соответствующую зональности существенно сульфидного кобальтового оруденения.

Как будет показано далее на примере эндогенных ореолов месторождения Средней Азии, где отсутствует тесное гранито-метасоматическое совмещение сульфидных и боросиликатных, качественный состав ореолов последних аналогичен составу ореолов сульфидных месторождений, но характеризуется значительно более низкими значениями содержаний (и контрастности) компонентов. Следовательно, на описываемом месторождении сульфидные руды преобладают над ореолами боросиликатной руды, и установленная зональность в основном определяется зональностью кобальтового оруденения. Ореолы боросиликатного же оруденения проявляются в основном ореолами бора и галлия.

Характер залегания и форма рудных тел месторождения (горизонтальные лentoобразные линзы) и ореолов (широкое развитие в породах перекрывающей толщи) свидетельствуют о наличии как горизонтальных, так и вертикальных составляющих направления движения растворов, что соответствует размещению на месторождении двух систем разрывных нарушений. В ряду осевой зональности тыловые элементы сменяются элементами фронтальных зон с востока на запад, что и определяет основное направление потока рудообразующих растворов, движущихся с удлинением рудных тел. Аналогичное направление было установлено также по зональности эндогенных ореолов на участках локализации боратового и медного оруденений. Неличности коэффициентов зональности для фронтальной части эндогенных ореолов (табл. 40) проявляют общую тенденцию.

Таблица 40

Коэффициент зональности для фронтальной части эндогенных ореолов в породах продуктивного горизонта комплексных рудных тел, $n \cdot 10^{-3}$, %

Коэффициент зональности	Расстояние от выклинивания рудного тела, м				
	30	90	150	230	400
W × Ge	1,2	0,5	20	30	10
Mo × Ni					
W × Ge	2	1	0,4	50	30
Ni × Co					
W × Ge	0,01	0,05	0,01	2	1
As × Bi					
Ag × Cu × Zn × Pb	0,1	1	10	0,07	100 000
Mo × Bi × As × Ni					
Ag × Zn × Pb	0,04	0,01	0,02	0,01	0,4
Ni × Co × As					

денцию к увеличению с удалением от рудного тела, но измются недостаточно монотонно, чтобы по ним можно было о делить расстояние до рудного тела по одному пересечению.

Месторождение в Средней Азии. Это собственно борное месторождение находится в пределах структурно-тектонической зоны, характеризующейся широким развитием интенсивно слоцированных песчано-глинистых и кремнисто-карбонатных пород карбон-триаса (первый структурный ярус), на которых трансгрессивно залегают известняки юры (второй структурный ярус). Интрузивные породы района относятся к нескольким комплексам мезозойского и третичного возраста, представлены в основном гранитоидами и образуют гипабиссальные интрузивные массивы, суббулканические тела и дайки. Разрез осадочных пород месторождения состоит в основном из алевролитов глинистых и песчано-глинистых сланцев, песчаников с глинистыми зонами кремнисто-карбонатных пород, мощность последних до 150—250 м, общая мощность пород разреза составляет около 2000 м. Осадочные породы смяты в серию изоклинальных складок с простиранием осей складок в субмеридиональном направлении. Широкое развитие разноориентированных крутиящих разрывных нарушений с амплитудами смещения в вертикальном направлении до 100—150 м обусловило осложнение геологического строения месторождения блоковыми структурами.

Карбонатные, меньше терригенные породы, скарнированы. Скарны в основном представлены пироксеновыми, пироксен-гранатовыми, гранатовыми разностями, образование которых связано с явным преобладанием инфильтрационного метасоматоза над биметасоматозом. Контакт скарнов с породами магматического интрузивного массива не обнажается на поверхности и не подсечен горными выработками. Распределение различных скарновых пород намечает существование нормальной скарновой зональности с фронтальными зонами, сложенными преимущественно пироксеновыми и внутренними зонами, сложенными гранатодержащими скарнами.

Месторождение представляет мощную зону известковых скарнов с богатой боросиликатной минерализацией, приуроченных к кремнисто-карбонатным отложениям. Рудное тело имеет пластообразную форму (падение на восток под углом 20°—30°), осложненную унаследованной складчатой структурой вмещающих пород при субмеридиональной ориентировке осей складок. Мощность рудного тела достигает 100—150 м.

Руды сложены в основном данбуритом. Аксинит постоянно присутствует в рудах, безрудных скарнах и терригенных породах, вмещающих скарноворудные тела. Турмалин на месторождении редок и образует значительные концентрации в связанных с оловянным оруденением, пространственно разобщенным от росиликатного и локализованным в скарнах северного фланга.

горождения. Отмечается увеличение вкрапленности сульфида (пирит, галенит, сфалерит, пирротин, арсенопирит) с юга на север.

На месторождении эндогенные ореолы изучены в основных в околоврудном срезе по данным опробования поверхности. Ореолы 22 элементов, из которых наиболее широко распространены В, Sn, Zn, Ag, Cu, Co, Bi, Ge, Mo, Ni, Mn, W. Элементы образуют положительные ореолы, а стронций и барий — также отрицательные. Ореолы вытянуты в субмеридиональном направлении, т. е. их удлинение в общем совпадает с направлением простирации вмещающих осадочных пород и залегания скарноворудных тел. Резко выраженные узкие ореолы типичны для элементов Ba, Be, As, Ag, Sb, Bi, W. Ореолы большей части элементов не оконтурены. Указанные размеры ореолов приведены в табл. 41.

Таблица 41

Размеры эндогенных ореолов одного из боросиликатных месторождений

по простира-нию пород	вкрест простирания пород	Элементы	Размеры, км	
			по простира-нию пород	вкрест простирания пород
0,8	>1,5	Sb	0,2	0,2
0,8	0,4	Ti	>2	0,15
0,8	0,3	Cr	1,0	0,5
0,8	0,5	Zn	>2	1,3
0,8	1,5	Bi	>1,2	1,0
0,8	1,5	W	>1,5	0,5—1,0
0,8	1,5	Y	0,5	0,5
0,8	0,8	Mn	1,3	1,0
0,8	1,5	Zr	1,0	0,3
0,8	1,5	Sr	0,8	0,4
0,8	0,3	Ge	>1,0	0,3
1,5	>1,5			

Сравнение составов руд и ореолов месторождения показывает, что в рудах преимущественно накапливаются В, Be, Co, Bi, в ореолах — Ba, Cu, Ag, Ti, Zn, Sr. Зональность эндогенных ореолов выражена неконтрастно. Образование их связано в основном с процессом формирования боросиликатных, значительно менее — со скарновым процессом. Для последнего характерен привнос большей части элементов В, Sn, Cu, Pb, Ag, Ti, Ge, Ni, Mo, Sr, Mn, Bi, Be, Zn, Y, Yb, W. Предлагается, что эти элементы являются элементами-примесями скарновообразующих минералов скарнов — гранатов и ильменитов и, вероятно, некоторых акцессорных минералов, та-

ких как сфен, циркон. Высокие значения коэффициентов на-
ления для таких элементов, как бор, связаны с примесью нита, датолита и данбурита, а для Ag, Bi, As, Cu, Pb, Mo с сульфидами висмута и мышьяка. Более очевидна связь среднестатистически со скарнообразованием Ti, Ge, Cr, V, Mn, Y, которые являются характерными элементами-примесями новых минералов. Однако существенной роли в образовании ореолов в их современном виде эти элементы, вероятно, не играли, так как более интенсивное ореолообразование рудный стадий затушевало ореолы скарновых тел во вмещающих породах, и только ореолы стронция, интенсивно выносившие из известняков при образовании скарнов, сформировались скарновый этап в перекрывающих скарноворудную зону тектонических породах.

Образование боросиликатных руд по скарнам сопровождалось наиболее интенсивным привносом бора, олова, берилля и германия. Связь берилля с боросиликатным орудием подтверждается накоплением его в датолитах и данбуритах (табл. 42). Германий также устанавливается в боросили-

Средние содержания элементов в минералах

Минерал	Регион	N	Ti	Mn	Cr	V	Ni
Датолит	Дальний Восток	18	0,9	14	0,7	0,2	0,26
	Средняя Азия	9	3	27	0,3	0,3	0,5
	Казахстан	2	5	5	0,2	0,35	0,55
Данбурит	Дальний Восток	6	3	9,5	0,3	0,4	0,2
	Средняя Азия	7	7,4	7	0,3	0,37	0,64
	Казахстан	9	7,3	1,1	0,23	0,29	0,46

катах в повышенных содержаниях. Характер связи олова с борным оруденением неясен, тем более, что повышенные содержания его в боросиликатных рудах могут быть вызваны замещением ореолов оловянного оруденения. При образовании боросиликатных руд происходит замещение до 50—60% обломков скарновых минералов, причем в связи с низкой кристаллической емкостью боросиликатов при этом должно высвободиться значительное количество многих элементов, входящих в состав минералов скарнов. Эти элементы могут участвовать в формировании эндогенных ореолов в породах, перекрывающих боросиликатные руды. Во всяком случае образование ореолов за счет переотложения компонентов скарнов в процессе миграции боросиликатных руд весьма вероятно для таких

итов, как Ti, Mn, Cr, V, Ni, Zn. Ниже приводятся средние содержания элементов в скарнах и данбуритах, $n \cdot 10^{-3}\%$:

	Ti	Mn	Cr	V	Ni	Zr
Скары	148	>1000	1.5	3.91	1.90	10
Данбурит	7.4	7	0.3	0.37	0.64	—

Значения коэффициентов накопления, меньшие единицы, считанные для таких рудных элементов, как Cu, Bi, Mo, As, Sb, Pb, связаны с вкрапленностью сульфидов в безрудных скарнах. Ореолы этих элементов, широко развитые на месторождении, вероятно, связаны с неборными стадиями минерализации, проявленными на месторождении и, в частности, в связи с позднейшей минерализацией северного фланга.

Месторождение Дальнего Востока. Месторождение боросиликатов Дальнего Востока приурочено к зоне мезозойской складчатости и представлено единым скарноворудным телом, ограниченным к мощной крутозалегающей пачке триасовых скарнов, локализованных среди песчано-сланцевых отложений триаса и юры. Интрузивные породы месторождения представлены дайками андезитовых и диабазовых порфиритов,

Таблица 42

Средние скарновые месторождения бора, $n \cdot 10^{-3}\%$

Be	Ba	Oa	Ge	Hg	Sc	Y	Yb	La	Sr	Ba
0.0	0.92	0.21	0.4	10	0.3	0.3	0.1	3	3	11
1.0	0.45	0.53	0.6	20	0.4	0.9	0.1	3	3	10
1.5	0.3	1	0.4	10	0.4	0.8	0.1	3	3	10
0.0	0.9	0.2	0.5	10	0.5	0.3	0.1	3	13	13
0.4	0.3	0.73	0.4	14	0.5	1.1	0.1	4	13	10
0.0	0.3	0.06	0.3	10	0.7	1.7	0.2	4	17	10

тически связанных с эфузивами палеогена, мелкими субвулканическими интрузиями диоритов, гранодиоритов и гранитов.

Скарны месторождения имеют существенно инфильтрационный характер, причем преобладают апоизвестняковые скарны (экскарны). В контактах с вмещающими терригенные породы и по прослойям песчаников и алевролитов в известняках выявлялись биметасоматические эндоскарны. Экзоскарны обладают вертикальной метасоматической зональностью, выявленной только в масштабе всего месторождения. На протяжении примерно 600 м снизу вверх наблюдается смена скарновых волластонитовая, геденбергитовая, гранат-геденбергитовая, патовая. Борная минерализация, наложенная на скарны,

представлена в основном датолитом, а на северо-восточном фланге — данбуритом. Аксинит развивается по апоалеврольным эндоскарнам. Сульфидная минерализация представлена пиритом, халькопиритом, галенитом, сфалеритом.

Распределение бора и микроэлементов изучено по одному разрезу в основных пределах рудного тела (рис. 2). Разрез вскрывает скарноворудное тело с крупными реликтовыми ками известняков. Рудные зоны располагаются в верхней части разреза, где преобладают геденбергитовые и гранат-геденбергитовые скарны в отличие от гранатовых скарнов нижней части разреза. Содержания бора и микроэлементов в датоловых рудах месторождения приведены в табл. 43. В пределах

Геохимические характеристики руд месторождения

Показатель	Тип руды	Регион	Ва	Ве	V	Co	Cu	Mo
\bar{X}	Датолитовый	Дальний Восток	10	0,27	0,45	1,05	0,7	0,05
	Датолит-данбуритовый	Средняя Азия	10	0,24	2,14	0,23	7,1	0,11
		Казахстан	16	0,26	1,6	33,2	30	5,3
K_k	Датолитовый	Дальний Восток	—	2,7	0,6	21	0,1	1
	Датолит-данбуритовый	Средняя Азия	—	2,7	1,1	0,7	4,3	2,1
		Казахстан	0,2	2,6	0,2	42	5,3	14,3

рудного тела (до 400 м) отмечается увеличение с глубиной содержаний Sn и уменьшение — V, Cu, Ag, Cr, Zn. Законом уменьшается с глубиной и значение коэффициента $K_3 = \frac{Zn \cdot As \cdot Ag}{Sn \cdot Bi \cdot Be}$, рассчитанного из средних содержаний элемен-

тов на интервалах глубин: до 150 м ($K=10,0$); 150—250 м ($K=2,26$) и 250—400 м ($K=0,96$). Поля максимальных концентраций элементов имеют форму сложнопостроенных пологозалегающих линз, причем наблюдается совмещение полей максимальных концентраций большинства элементов в единицах, контролируемых, вероятно, системами разрывных нарушений. Внутри этих зон по соотношению полей максимальных концентраций бора (более 3%) и микроэлементов выявляются следующие закономерности: Ti и Zr ведут себя как антисты по отношению к бору, в то время как для элементов Co, Mo, Pb, Zn, Li, Sn, Ba, As, Be, Ag, W, Bi, Li характерна пространственная связь. Если рассматривать взаимное расположение полей максимальных концентраций в вертикальном направлении (т. е. почти перпендикулярно к их ширине), то Ba, Sb, As и Be наблюдаются совмещение с бором, а остальные

менты располагаются ниже бора в следующей последовательности: Pb, Li, Co, Bi, W, Mo, Ag, Zn, Sn, V, что, вероятно, и соответствует ряду вертикальной зональности скарновых зон.

Месторождение Кавказа. Характеристика эндогенных ореоев юго-западного месторождения Кавказа приведена по материалам Ю. Е. Саюта и др. (1967, 1973). Датолитосодержащие тела месторождения залегают в гранатовых скарнах, локализующихся на контактах субвулканической интрузии гранит-порфиров, расположющейся на глубине 80—100 м ниже горной поверхности. Рудные тела имеют характер полого-изогнутых пластовых маломощных залежей протяженностью от

Таблица 43

и известково-скарнового типа

Bi	Pb	Ag	Tl	Ge	Zn	Bi	W	Y	Mn	Zr	Sr	Ge
1,1	1,1	0,01	12	0,9	6,6	0,4	0,5	0,3	—	2,3	—	—
0,9	1,3	0,01	82	0,8	31,5	0,1	0,6	0,6	1000	5,5	8,2	0,88
0,3	0,3	0,006	91	0,7	3	4,4	0,3	0,3	340	10,5	21	0,1
11,8	3,1	0,1	0,4	—	6,6	43	1,6	1	—	0,8	—	—
0,8	3,1	0,1	1,2	0,1	31,5	1,2	1,2	1,2	1,6	1,8	0,04	8
0,8	0,3	—	0,5	0,3	1,5	44	—	—	6,7	1,5	0,1	1

до 1000 м. На месторождении установлены положительные эндогенные ореолы В, Be, Pb, Cu, Ba, Cr, Li. Для В и Be — положительные и отрицательные ореолы, для остальных элементов — только положительные. Положительные ореолы бора образуют вокруг рудных тел пологопадающие изогнутые зоны мощностью 15—35 м и протяженностью до 1000 м в непосредственной близости от контакта с интрузией. Размеры ореолов висячем и лежачем боках рудных тел не превышают 20 м и продолжаются после выклинивания рудных тел на 100—200 м по удлинению последних и на 40—50 м по падению и восстанию. Положительные ореолы бора в основном локализуются в скарнах, но распространяются и на парварнированные мергели в контактах со скарнами. Бор образует зоны отрицательных ореолов, залегающие гипсометрически за положительных ореолов. Мощность их 40—100 м, а по падению и простиранию они в основном не оконтурены.

На других элементов наиболее протяженные ореолы (до 1400 м по простиранию) образуют Ba, Be и Cr, в то время как Cu, Pb и Li образуют более локальные ореолы. Практически ореолы всех элементов локализуются вокруг боросили-

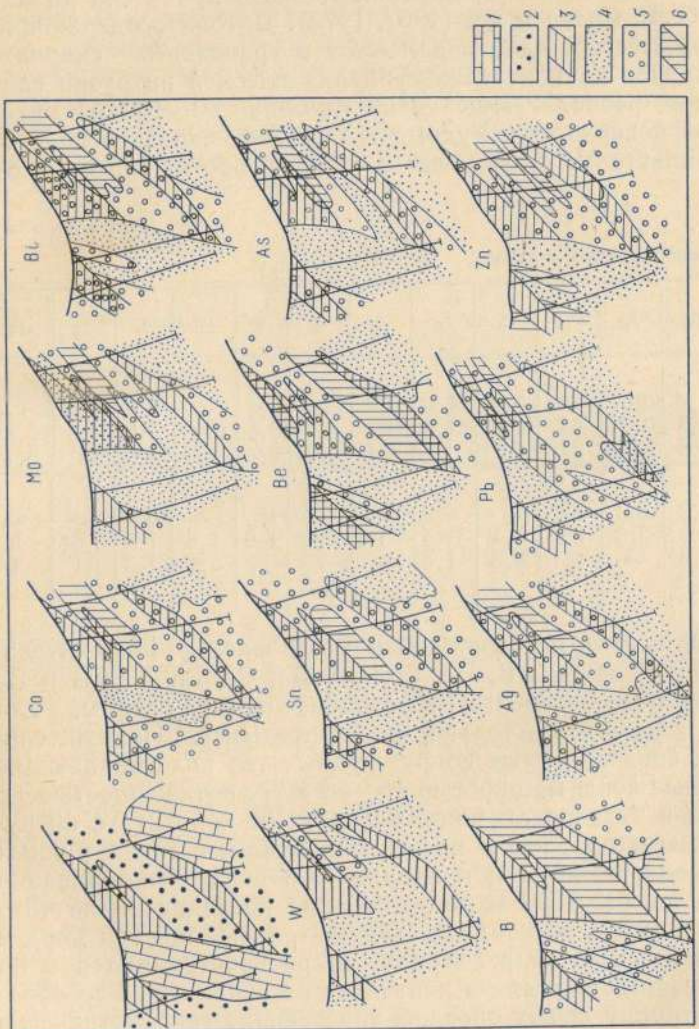


Рис. 2. Распределение элементов в рудах и эндогенных ореолах боросиликатного месторождения

1 — известники; 2—3 — рудное тело с содержанием бора (2 — меньше 3%, 3 — больше 3%); 4—6 — со-

ных рудных тел, хотя менее четко это проявлено для Cu. В это время максимальные концентрации Be, Pb, Ba и Li локализуются в скарнах между рудным телом и контактом интрузии, Pb и Cr захватывают рудные тела. Максимальные концентрации меди в ореоле приурочены к верхам перекрывающей интрузии. Положительные ореолы характеризуются следующими концентрациями элементов (в млн⁻¹) и коэффициентами контрастности: В 880 и 22; Be 1—2 и 2—4; Cu 40—80 и 5—10; Pb 60—100 и 15—20; Ba 700—1200 и 3,8—6; Cr 80—200 и 11—9000—3000 и 30—50. Ю. Е. Саэт с соавторами считают, что связи Li, Pb, Ba, Be, Cu и Cr не имеют прямой связи с рудными телами и характеризуют контактное возникновение интрузии на вмещающие породы. Образование ореолов объясняется мобилизацией бора из вмещающих пород при внедрении интрузии с последующей миграцией его в структуру интрузивного массива (антиневматолиз по В. М. Гольдштадту). Широкое распространение отрицательных ореолов предполагается использовать в качестве геохимического критерия при прогнозировании, а положительные ореолы бора — критерием поисков рудных тел.

Наученные месторождения боросиликатов имеют черты единства и различия геохимических особенностей самих боросиликатов, руд и эндогенных ореолов. Микроэлементный состав датолитов и данбуритов прежде всего обнаруживает их различия минеральных видов. Так, минералы различаются по содержанием Sr, Be, Ti, Y, Yb, La, Ba и Mp, причем лишь содержание марганца выше в датолитах, в то время как содержание пасторальных элементов выше в данбуритах, что, вероятно, связано с его большей кристаллохимической «емкостью».

Сравнение составов обоих боросиликатов по месторождениям показывает относительное обогащение медью (в 10 раз в датолитах и в 7—15 раз в данбуритах) и ртутью (соответственно более чем в 2 и 1,5 раза) боросиликатов среднеазиатского месторождения и обеднение титаном, иттрием, иттербием и лантаном боросиликатов дальневосточного месторождения. Избирательное накопление элементов отдельно для датолита и данбурита, характеризованное данными табл. 44 (положение эле-

Таблица 44

Относительное накопление микроэлементов
в боросиликатах разных месторождений

Регион	Неборная рудная металлогения	Датолит	Данбурит
Южный Восток Азии Казахстан	Pb, Zn, Sn Sn Cu, Mo, Co	Cr Mn, V, Ni, Cu, Pb, Be, Sn, Ge, Hg, Sc, Y Ti, V, Ni, Be, Ga, Sr	Mn, Cr, V, Be, Ge Ti, Cr, V, Ni, Cu, Pb, Sn, Ga, Hg, La Ti, Sn, Y, Yb, La, Sr

мента соответствует его максимальному содержанию в ряде данного месторождения по сравнению с двумя другими не связано с неборной рудной металлогенией месторождения. Наиболее «емкими» в отношении микроэлементов являются боросиликаты среднеазиатского месторождения, наименее — из невосточного (особенно датолит). И, наконец, необходимо отметить роль датолита и особенно данбурита, как минералов-носителей бериллия в боросиликатных рудах.

Геохимические характеристики руд боросиликатных скарновых месторождений приведены в табл. 43. Наиболее четко геохимические особенности руд боросиликатных скарновых месторождений выявляются при сравнении рядов, составленных коэффициентом контрастности (табл. 45, бор не включен).

Ряды элементов, построенных по убыванию в рудах месторождений

Тип руды	Регион	Bi	Co	Sn	As	Zn
Датолитовый	Дальний Восток	43	21	12,6	8,4	6,6
Датолит-данбури- товый	Средняя Азия	Sn 672	Zn 31,5	Ge 8	Cu 4,3	Pb 4,3
	Казахстан	Bi 44	Co 42	As 26,6	Mo 14,2	Ni 6,8

В частности, устанавливается зависимость состава руд от борной металлогении месторождений и районов. Так, в районе дальневосточного месторождения известны промышленные свинцово-цинковые и оловянные месторождения. Соответственно и в боросиликатных рудах этого месторождения олово занимает третье место, а цинк и свинец — на пятом и шестом. Пятое место олова в ряду для среднеазиатского месторождения хорошо согласуется с наличием оловянного оруденения на северном фланге. В районе казахстанского месторождения, кроме борного, основными типами оруденения являются медно-молибденовое, кобальтовое. Соответственно и в ряду элементов этого месторождения первые места занимают кобальт и его спутники — висмут, мышьяк и никель, а также молибден и медь. На микроэлементный состав руд казахстанского месторождения существенное влияние оказывает наложение различных ореолов кобальтового оруденения, пространственно сопряженного с боросиликатным.

Количественно геохимические различия микроэлементного состава руд оцениваются по значениям мультиплексивных показателей элементов, находящихся в начале рядов (табл. 45).

Концентрация большей части элементов в ореолах среднеазиатского месторождения ниже, чем в ореолах казахстанского.

проявления с комплексным боросиликатным и кобальто-
м алюминием, за исключением содержаний Be, Ti, Pb и Ge
(табл. 47). При этом надо отметить, что интенсивность прояв-
ления оруденения на среднеазиатском месторождении весьма
небольшая, т. е. относительно низкие содержания ореолообразую-
щих элементов нельзя объяснить малой интенсивностью руд-
ного процесса.

Таким образом, для боросиликатных месторождений харак-
терен комплексный состав эндогенных ореолов, причем прямые
и элементами-индикаторами борного оруденения являются
и бериллий. Для первого характерны наибольшие размеры
ореолов по сравнению с ореолами других элементов, высокие
значения коэффициента минерализации и широкий интервал

Таблица 45

Значения коэффициентов контрастности содержаний
элементов геометаллового типа

Bi	As	W	Y	Mo	Ni	V	Ti	Cr			
0,9	1,6	1	—	1	0,9	0,6	0,4	0,1			
0,9	—	Mn	Ni	Bi	Ti	W	V	Co	As	Cr	
0,9	—	1,6	1,6	1,2	1,2	1,2	1,1	0,7	0,3		0,1
0,9	—	Zr	Ge	Sn	Ti	Pb	Cr	Ba	V		
0,9	1,0	1,5	1	0,8	0,5	0,3	0,3	0,3	0,2		—

Таблица 46

Мультиплексные показатели коэффициентов контрастности
для руд боросиликатных месторождений

Регион	Bi-Co-Sn	Sn-Zn-Cu	Bi-Co-As
Северный Восток	11 378	8	7 585
Южная Азия	535	91 022	0,25
Узбекистан	1 478	6	49 157

содержаний вплоть до десятых долей процента. Ореолы берил-
лия распространены значительно менее широко и локализуются
в пределах ореолов последнего. В случае относительно чистого
боросиликатного оруденения ореолы остальных элементов (Co,
Ni, Mo, As, Ni, Ag, Zn, Bi, W и др.) характеризуются относи-
тельно невысокими значениями коэффициента контрастности,
но заметно увеличивающимися при совмещении боросиликатного
руденения с сульфидными типами оруденения.

Таблица

Коэффициент контрастности эндогенных ореолов
боросиликатных месторождений
(в терригенных породах перекрывающих толщ
в интервале 0—100 м над рудными телами)

Элемент	Месторождение		Элемент	Месторождение	
	средне-азиатское	казахстанское		средне-азиатское	казахстанское
B	15,2	100	Ag	4,1	54,0
Be	2,2	2,6	Ti	1,4	1,0
V	1,3	1,4	Cr	1,3	4,0
Co	2,4	33,4	Zn	5,0	7,0
Cu	3,0	23,0	Bi	2,3	46,0
Mo	4,0	19,0	W	2,5	7,0
As	8,4	55,0	Mn	5,2	13,0
Ni	1,6	20,0	Ge	5,9	1,0
Pb	2,6	1,4			

Глава 2

ЭНДОГЕННЫЕ ОРЕОЛЫ МЕСТОРОЖДЕНИЙ БОРА
МАГНЕЗИАЛЬНОСКАРНОВОЙ ФОРМАЦИИ

Среди скарновых месторождений различных металлов, носимых Л. И. Шабыниным (1974) к месторождениям магнезиальной формации, ведущее значение, вслед за железорудными, имеют борные и комплексные железо-борные месторождения. Промышленное значение их велико и быстро растет после открытия новых типов руд в близ промышленных скоплениях (курчатовит-сахантовые руды и др.). Изучение геохимических особенностей указанных месторождений приобретает особое значение при поисках эндогенных месторождений бора. К сожалению, число изученных и разведанных борных и железо-борных месторождений этого типа ограничено по существу одним месторождением и рядом мелких рудопроявлений. Данные о распределению содержаний бора и микроэлементов для борных и железо-борных объектов магнезиальноскарновой формации имеются только по месторождению, которое изучено наиболее полно. Материалы по рудопроявлениям далеко не полны и представляют только отдельные частные разрезы, но и по ним можно наметить некоторые общие геохимические закономерности, специфичные для месторождений магнезиальноскарновой формации.

Месторождение в Забайкалье приурочено к толще вулканогенно-осадочных пород нижнего кембрия и контакту верхнеалеозойских гранитоидов зазинского интрузивного комплекса. Разрез вулканогенно-осадочных пород представляют слои

туфы и лавы кислого состава с прослойми лав дацито-го и линнитового состава, туфоалевролиты, карбонатные породы (доломиты, доломитовые известняки), известняки, переслаивающиеся с кислыми лавами и их туфами, которые несогласно сменяются туфами и лавами андезит-дацитовых порфирий с маломощными прослойми туффитов и известняков. Выше лежат толща лав плагиориолитовых порфириров с редкими туфами туффитов, и завершается разрез хемогенными и риолитовыми известняками, известковыми брекчиями, тонкообломочными туфами, углистыми туффитами и туфоалевролитами.

Лавам Б. К. Виноградова (1972, 1973), месторождение приурочено к крылу антиклинальной складки субмеридионального направления, осложненной тремя системами верхнепалеозойских разрывных нарушений, которые сыграли рудоконтролирующую роль. Первая система — радиальные и концентрические разломы, к последним приурочены скарноворудные тела. Вторая система определяет развитие кварцевых и кварц-карбонатовых жил в апикальных частях куполовидного выступа гранитондов. С третьей системой пространственно связана зона гребенизации.

Согласно исследованием С. В. Малинко (1970, 1973) и Б. К. Виноградова (1970, 1973), в составе контактово-метасоматических и гидротермально-измененных пород установлены следующие группы: 1. Апофельзитовые и апопорфиритовые роговики гранитондового, кварц-кордиеритового, кварц-андалузитового, кварц-полевошпатового, кварц-биотит-полевошпатового состава. Установлено явление гранитизации роговиков в виде сети кварц-полевошпатовых выплавок среди кордиеритовых роговиков. Роговики метасоматически преобразованы: калишпатизированы, кальцитизированы, подвержены известковоскарновому изменению, кварцитизированы, серицитизированы, флюоритизированы. 2. «Магнезиальные метасоматиты», развитые по порфириевым фольянтам. 3. Скарны магнезиальные и известковые. Они определяют зональность, которая в общем виде для контакта гранитонд — доломит следующая: гранитонд \rightarrow близскарновая порода \rightarrow пироксен-шпинелевая скарн \rightarrow форстерит-пироксеновый скарн с минералами группы гумита \rightarrow кальцифирированная скарн \rightarrow доломит; возможна зона периклаза. По устному сообщению Б. К. Виноградова, на месторождении установлены бруцитовые мраморы и кальцифиры. В контакте лав вулканогенная порода — доломит вулканогенная порода, преобразованная в роговик пироксен-полевошпатового состава, сменяется зоной везувианового скарна \rightarrow гранат-везувиановый скарн \rightarrow пироксен-гранатового скарна с минералами группы гумита \rightarrow кальцифирированным или слабоизмененным доломитом. В контакте гранитонд — известняк зональность соответствует зоне гребенизации: гранитонд \rightarrow гранатовый скарн \rightarrow пироксеновый скарн \rightarrow волластонитовый скарн \rightarrow известковый мрамор. В контак-

те основная вулканогенная порода — карбонатная порода редко развита волластонит-везувиан-гранатовая зона, которая сменяется гранат-пироксеновой. Характерна незначительная эпидотизация эндоконтактовых зон гранитоида и кислых вулканогенных пород. Вулканиты основного ряда вне зоны склонования пропилитизированы.

Месторождение является характерным представителем элементного оруденения. Здесь пространственно сближенные, железные, полиметаллические, молибденовые, оловянные и цинковые руды, причем количественно преобладают железные и борные руды. Рудные тела представляют кулисообразно расположенные линзовидные приконтактовые залежи с углами склонования на восток от 30 до 40°. Молибденовая, оловянная и цинковая минерализации образуют зоны неправильной формы в пределах развития железных (магнетитовых руд) и грейзированных зон эндоконтакта. Для рудной минерализации характерна определенная зональность: к апикальной части гранитоида низированного, полевошпатизированного гранитоида приурочены руды молибдена. Магнетитовые руды начинают развиваться в зоне пироксен-полевошпатовой близскарновой породы, захватывая все зоны экзоскарнов. Сульфидная пирит-пирротиновая минерализация с кассiterитом и сфалеритом приурочена к магнетитовым рудам, развитым в пределах преимущественно эндоконтактовых зон скарнов или непосредственно сменяющих их внутренних зон экзоскарнов. Вольфрамовая (шеелитовая) минерализация характерна для полосчатых скарноидов и внешних зон экзоскарнов. Борные руды представлены тремя типами: людвигитовым, сахаит-курчатовитовым и датолитовым. Первые два типа развиваются в висячем боку магнетитовых залежей на контакте форстеритового (гумит-клиногумитового) скарна и кальцифиров, преимущественно на месте скарнов. Достаточно отметить, что сахаит-курчатовитовые руды установлены только на участках, где в исходном составе скарнированных карбонатных пород были вулканогенные прослои. Людвигитовые руды развиты в контактах, где вулканогенные прослои не существовали. Датолитовые руды приурочены к везувиан-гипсовым скарнам. Сфалеритовая минерализация развита в зонах сульфидных руд, в пределах магнетитовых залежей, а также может обрамлять курчатовит-сахаитовые борные руды. В субвнешней зоне скарновой метасоматической колонки магнезиального и известкового типа, за пределами скарновых зон, в борнеобразованных мраморах развита пирит-галенитовая минерализация.

Вмещающие и kontaktово-метасоматические породы, гипсовые термальные метасоматиты и руды обладают определенной химической спецификой. Для сложного разреза месторождения выделяются четыре группы пород, обладающих однотипным распределением бора и микроэлементов. Это карбонатные

и гранитоиды, вулканогенные породы кислого состава, вулканогенные породы среднего-основного состава. Для всех указанных групп пород выявлены «сквозные» элементы Ti, Mn, Cu, встречающиеся во всех типах перечисленных пород; элементы, установленные только в одном типе пород (это берилл в вулканогенных породах кислого состава); элементы, специфичные для определенного типа пород с содержаниями на порядок и более выше, чем в других типах (таковы барий и цирконий в гранитоидах; ванадий, молибден, иттербий, галлий в вулканогенных породах), и, наконец, элементы, характерные для гидротермальных процессов: Cu, Co, Mo, Pb, Zn, Sn, Bi, As, Au, Ag, В, отчасти Ва. Последняя группа элементов, в отличие от предыдущих, проявляет наиболее неравномерное распределение содержаний. Распределение содержаний бора и циркония в выделенных группах пород характеризуется широкой амплитудой S^2 и значительными различиями в средних содержаниях. Это предопределяет необходимость применения различных группам пород при выделении минимально-характерных содержаний в ореолах.

Элементами-индикаторами магнетитовых руд являются Ti, V, Co, Mn. Для людвигитовых руд к перечисленной группе добавляются Ga и Nb. В то же время анализ литературного материала по составу элементов-примесей в людвигитах показывает, что элементов, характерных исключительно для людвигита, не наблюдается. На каждом из объектов отражен круг элементов, характерный сопутствующему металлическому оруденению. Крупнейшими это Sn, Cu, Zn, реже W, Mo, Bi, Nb. Содержания Mn, Ga, Ti обычно соответствуют таковым же в магнетитовых рудах этих месторождений (Шабынин, 1961, 1966, 1972, 1974; Малико, 1963, 1966, 1970; Перцев, 1964; Маракулов, 1966; Заревич, 1966, 1967 и др.). Курчатовитовые руды отличаются «стерильны» в отношении элементов-примесей. Выявлены только Mn и As, содержание элементов Zn, Pb, Sn, Ti, V, Ba, Zr, Be, Y, Yb, V, Cr, Mo, Sc, Ga на порядок ниже, чем в магнетитовых и людвигитовых рудах.

Многоelementные руды комплексного месторождения Солонцы образуют контрастные положительные ореолы бора, бария, циркония, меди, висмута, кобальта, молибдена, олова, тантала. Данные по серебру и мышьяку неполны и поэтому не поддаются на рассмотрения, хотя эти элементы и образуют явно положительные ореолы. Эндогенные ореолы представляют как суммарные для всех типов руд в едином скарноворудном контакте. Они пространственно приурочены к приконтактной зоне гранитоида и сложно гидротермально-метасоматически преобразованной толще стратифицированных пород нижней кембрия.

Ореолы бора формируются только в участках развития боровых руд, распространяясь в апикальной части гранитоидного

массива шириной до 200 м, в пределах всех скарновых зон, ограничиваясь зоной кальцифиров. По мере увеличения крутизны интрузивного и скарноворудного контакта ширина ореола заметно уменьшается. Минералого-петрографический состав руд, включая реликты-останцы карбонатных и вулканогенных пород среди скарновых залежей, существенно не влияет на интенсивность развития ореола бора. По отношению к курчатовит-сахаритовым рудам наиболее контрастные ореолы (рис. 3) развиваются в висячем боку рудного тела, достигнув максимума на уровне его средней и верхней частей. Магнетитовые рудные тела имеют фоновые содержания бора и без наличия примесей борных минералов ореолов бора не образуют.

Ореолы марганца развиваются в виде широкой (до 400 м) полосы на поверхности, оконтуривающей скарноворудные залежи шириной 100—150 м, не проявляя количественных изменений на изученной глубине в 600 м. Наиболее проникаемыми зонами для ореолов марганца являются скарны различного става всех зон метасоматической колонки, кальцифиры и ничные с ними слабоизмененные карбонатные породы. Вулканические, нескарнированные породы резко отличаются значительно меньшей способностью к развитию в них ореолов марганца.

Ореолы бария и свинца формируются в области выклинивания по восстанию магнетитовых и борно-магнетитовых рудных тел, достигая максимума контрастности на удалении от висячего бока рудных тел в 50—100 м. Участками они дают четкую картину «оторванного» ореола. По отношению к сульфидной минерализации ореолы свинца и бария, особенно последние, располагаются несколько «плотнее» к рудным телам, отходя от висячего бока или зоны выклинивания рудных тел на 20 м. Наиболее контрастные ореолы бария и свинца характерны для экзоскарновых зон, кальцифиров, выходя за пределы последних (особенно свинец) в слабоизмененные карбонатные породы на 100—150 м в поперечном сечении.

Ореолы меди, цинка, висмута в плане образуют максимум в наиболее эродированной части площади, где обнажается контакт гранитоида со скарноворудными телами. Все три элемента образуют наиболее контрастные ореолы (Саз и более) вокруг магнетит-сульфидных руд, которые затем несколько расширяются в области висячего бока и обладают наибольшей шириной в срединной и верхней частях рудных тел. Некоторое отличие представляют ореолы висмута, характеризующие участки с более мощных раздузов и выклинивающиеся по восстанию падению рудных тел. Непосредственно в курчатовит-сахаритовом рудном теле ореолы меди, цинка, висмута отсутствуют, повсеместно фиксируются в висячем боку. Безрудные скарновые ореолы висмута и цинка не содержат, содержание висмута в магнетитовых рудах без примеси сульфидов близко к нулю.

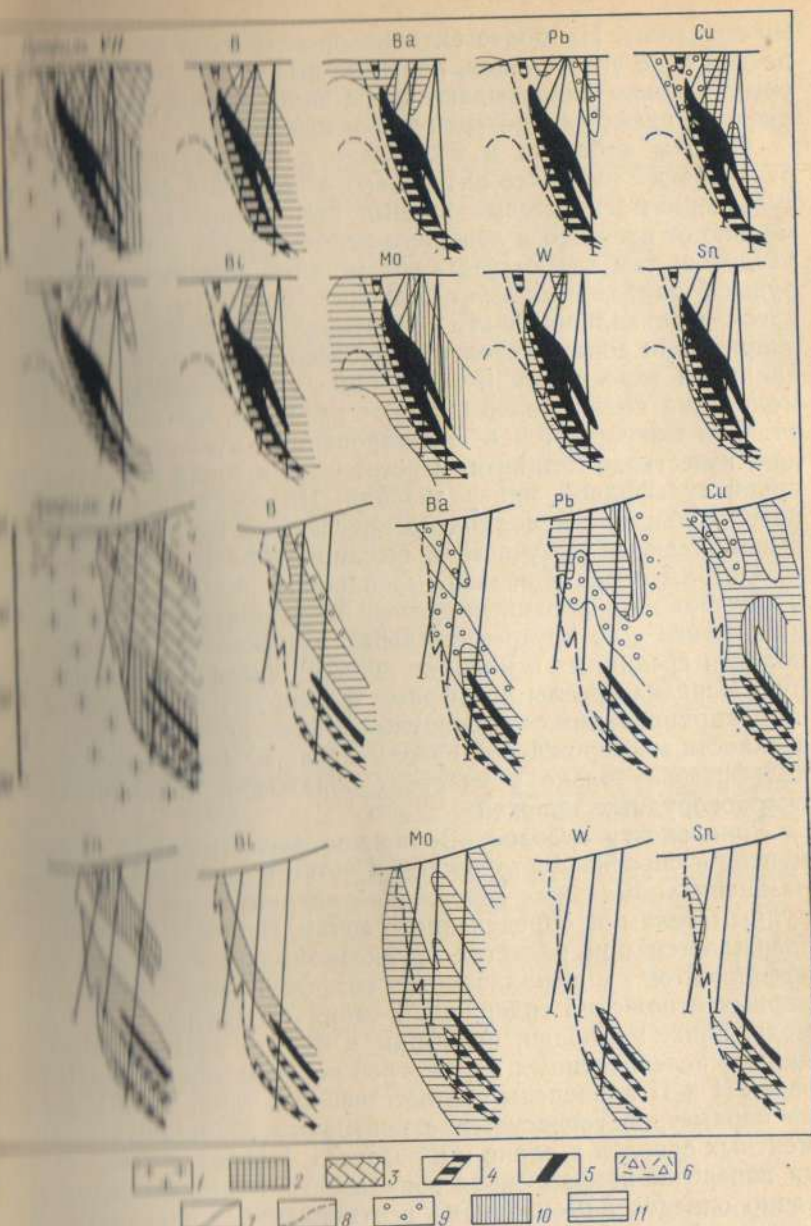


Рис. 3. Эндогенные ореолы месторождения в Забайкалье

I: 1 — скарны; 2 — мраморы; 3 — магнетит-сульфидные руды; 4 — курчавые руды; 5 — вулканогенные породы кислого состава; 6 — предполагаемые; 7—8 — содержания элементов в ореолах, %: Pb 0,07—1,7, Ba 120—500, Cu 4,2—80, Zn 90—140, Sn 140—900, Mo 4,8—7,2, W 3—6; 8 — B > 88, Pb > 4,8, Ba > 1250, Cu > 240, Zn > 250, Bi > 12, Mo > 7,2, W > 6, Sn > 16,8

му значению. Наиболее активно ореолы меди развиты во внутренней зоне экзоскарнов, почти не выходят в зону кальцифира; ореолы цинка захватывают зоны эндо- и экзоскарнов и кальцифира; висмут характерен для экзоскарнов.

Ореолы кобальта и молибдена с контрастностью Ca_2-Ca_3 развиваются наиболее интенсивно в нижней и срединной частях сульфидно-магнетитовых рудных тел, распространяясь максимально от висячего и лежачего боков рудных тел, в участках их раздузов, там где отсутствуют мощные курчатовит-сахантовые руды. Молибден образует широкий, до 100 м в поперечнике, ореол в апикальной части гранитоида. Наиболее характерными скарновыми зонами проявления ореолов кобальта и молибдена являются эндоскарны и внутренние зоны экзоскарнов. Ореолы молибдена имеют более широкое развитие, чем ореолы кобальта. Они фиксируются в скарнированных вулканогенных породах, известково-силикатных роговиках, в зонах развития рассеянной сульфидной минерализации. По восстанию рудных тел ореолы кобальта и молибдена прослежены на 100—120 м, резко выклиниваются на участках выклинивания рудных зон.

Ореолы олова и вольфрама наиболее контрастно проявлены в глубоко эродированных срезах, четко приурочены к эндоскарнам, менее — во внутренних зонах экзоскарнов, развиваются в области срединных и нижних частей сульфидно-магнетитовых руд. Изредка ореолы вольфрама фиксируются в зонах проявления скарнированных карбонатных туфов кислого состава. На поверхности месторождения ореолы олова не фиксируются, ореолы вольфрама — только в участках обнажения прикорневых зон скарноворудных залежей.

Зональность ореолов. Зональное распределение микроэлементов и бора на месторождении четко выявляется в характере развития аномальных содержаний элементов по отношению к рудным телам и определенным зонам скарнов, а также подтверждается при расчетах среднеаномальных содержаний, коэффициентов минерализации, коэффициентов аномальности, парных отношений содержаний таких элементов, как свинец, медь, цинк, молибден, вольфрам к бору и висмуту. Расчетные данные перечисленных параметров по двум характерным разрезам VII и II приведены соответственно в табл. 48—51. Каждый из параметров согласуется с контурами эндогенных монозлементных ореолов в плане и в разрезах. Наиболее четко выражена поперечно-направленная зональность, менее четки, но достаточно определены признаки вертикальной зональности. Выделяются: фронтальная и тыловая зоны для поперечно-направленной зональности, нижняя часть (у основания рудных тел), срединная (средние зоны с максимальным раздувом рудных линзовидных залежей), верхняя часть (участки на выклинивании рудных залежей вверх по восстанию рудных тел). Надрудными элементами (фронтальная зона, верхняя часть) являются: Ва,

Таблица 48

Коэффициент аномальности

Интервалы глубин, м	B	Mn	Ba	Pb	Cu	Zn	Bi	Co	Mo	W	Sn
<i>Профиль II</i>											
Поверхность	1,3	1,9	2,3	1,2	2	5,7	2,6	1,2	1,1	7,6	0,5
10—100	1,3	1,3	1,7	0,5	1,7	0,3	1,1	1,7	9,4	3	0,1
100—200	1	5,9	3,2	3,2	6,1	2	34	3,9	58,6	3	0,09
200—300	0,08	5,5	11,2	3,4	96	4	11,5	5,4	51,7	15	1,2
300—400	1,6	3,2	2,5	0,4	1,3	0,8	2,3	2,4	5,2	20	0,1
400—500	0,4	7,3	6,6	23,2	26,6	13	100	7,6	9,4	17,5	0,5
500—600	1,4	3,5	6	0,1	7,6	6,6	13	3,3	28,2	130	0,5
<i>Профиль VII</i>											
Поверхность	5,9	1,1	1,2	1,2	1,1	3,2	2,3	1,4	2	3,2	0,9
10—100	1,3	2,2	3,5	1,2	500	2,3	1	1,1	2,1	1	1
100—200	1,1	2,6	5	16,2	93	3,8	1,2	1,3	2,4	1	1,4
200—300	1	3	12,5	4,3	46	72	3,4	4,2	3,8	0,9	4,6
300—400	1,6	2	8	3,2	32	82	1,2	6,2	3,9	1,2	2,4
400—500	1,7	2,1	2,2	4,5	18	100	1,1	1,8	2	0,00	1,2
500—600	1,3	1,8	1,7	2,6	10	76	1	1,1	1,1	0,1	1

Таблица 49

Значения отношений содержаний элементов для различных уровней среза

Интервалы глубин, м	Ba·Pb·Zn Mo·W		Ba·Pb·Zn W·Mo·Sn		Ba·Pb·Zn·Cu W·Sn·Mo·Co		Ba·Pb·Zn·Cu W·Sn·Mo·Bi	
	II*	VII	II	VII	II	VII	II	VII
Поверхность	17 864	161	3572	26	13 338	140	1339	130
10—100	12	8 565	29	92	16	411	57	166
100—200	1 196	14 636	398	187	3 478	160	19	60
200—300	191	55	0,7	0,9	6	0,3	14	0,04
300—400	13	5	0,1	0,07	0,6	0,01	0,7	0,02
400—500	8 203	0,1	356	0,02	7,5	0,09	0,7	0,1
500—600	26	14	1	12	16	1	8,6	0,1

* Здесь и в следующих таблицах II и VII — номера профилей.

Pb, Cu, Zn; подрудными (тыловые зоны, нижняя часть) — W, Mo, Sn, Co. Значение коэффициента зональности $K_3 = \frac{Pb \cdot Ba \cdot Cu \cdot Zn}{W \cdot Mo \cdot Sn \cdot Co}$ достаточно определенно отражает уровни срезов. Для подрудного среза месторождения характерны значения менее единицы, для срединной части (или среднерудной, по терминологии С. В. Григоряна и др.) от единицы до первых сотен, для фронтальной зоны или верхнерудной части — более

Среднеаномальные содержания

Интервалы глубин, м	В		Mn		Ba		Pb		Cu	
	II	VII	II	VII	II	VII	II	VII	II	VII
Поверхность	20	184	2390	3280	550	4000	203	41	30	38
10—100	31	390	1680	5450	500	440	66	860	29	42
100—200	224	329	2720	5520	3900	5300	81	594	34	76
200—300	28	265	2600	5590	270	62	11	327	480	110
300—400	88	65	4300	6000	750	490	53	294	16	39
400—500	22	44	5000	5880	1130	1210	860	349	80	50
500—600	27	24	3700	5760	3000	1940	14	405	100	62

Коэффициент

Интервалы глубин, м	В		Mn		Ba		Pb		Cu	
	II	VII	II	VII	II	VII	II	VII	II	VII
Поверхность	1	1,1	1	1	1,8	6,9	13,9	1,4	1,2	2,1
10—100	1,2	2,4	1	1,5	1,7	1,8	11	1,8	1,6	2,2
100—200	1	1,5	1,2	1,5	1,5	2	1,9	1,1	3,6	1,2
200—300	1,1	2,1	1,4	1,6	1,8	—	1,5	1,3	1,8	1,2
300—400	1	1,4	1	2,2	1,7	1	3,1	—	6,4	5,6
400—500	1	1,4	1,8	1	1,9	1	2	2,5	2,8	1,7
500—600	1	1,2	2,3	1	2,6	1	—	—	4,6	2

Примечание. Прочерк означает, что элемент на данной глубине ореола

первых сотен, десятки тысяч. Общий ряд горизонтальной зональности от фронтальной до тыловой зоны следующий: W, Sn, Mo, Co→Bi, B→Cu, Zn→Pb, Ba.

Ряд вертикальной зональности аналогичен горизонтальной, но проявлен слабее ввиду незначительной глубины вскрытия объекта, затушевыванию кулисообразным расположением скарноворудных тел.

Рудопроявление Кундуй является типичным представителем магнетит-людвигитового типа руд скарнов магнезиальной формации, пока вскрыто только поверхностными выработками. Оно приурочено к останцу-ксенолиту доломитов (C_{Sp_1}) и контакту нижнепалеозойских гранодиоритов. Ксенолит осадочно-метаморфических пород представлен в нижней части доломитами, в верхней — известняками. Терригенная подмесь практически отсутствует. На контакте доломитов и гранитоидов развиваются скарны. Зональность и состав скарнов характерны для магнезиально-скарновой формации: гранитоид→флогопит-пирок-

Таблица 50

ореолообразующих элементов, млн⁻¹

Zn		Bi		Co		Mo		Sn		W	
II	VII	II	VII	II	VII	II	VII	II	VII	II	VII
160	140	0,8	7,6	8	7,1	2,1	17,8	0,0	8	50	6
30	1820	1,5	23,3	5,3	9,4	20,7	13,4	4	6	4	93
40	1590	6,8	23,8	3,9	10,8	17,6	31,1	0,6	11	3	78
40	1360	2,3	24,4	3,8	12,2	20,7	48,9	3	16	40	62
80	230	3,5	12,2	4,2	15,9	12	79,7	20	71	80	815
320	170	40	7,1	3,8	12,4	6,6	123,5	7	53	23	444
400	110	13	2	7	8,9	48	167,3	13	35	24	74

Таблица 51

минерализации

Zn		Bi		Co		Mo		Sn		W	
II	VII	II	VII								
2,3	65	2,5	1,8	1,8	2,2	1,5	1,3	1,2	1,1	—	—
2	9	1,7	1,4	1,4	2	2,6	5,4	—	1,3	—	6
4,4	1,9	3,8	2,2	1,3	3	3,1	2,4	—	3,3	—	2,2
2,3	1,5	4	2,8	2,2	2,4	2,9	1,6	2,1	1,8	—	3
1,3	1,1	1,6	1,4	41	2,1	2,5	1,8	—	1,3	—	5,3
3,4	5,8	3,4	1,8	1,1	1,4	3,5	1,3	—	5	1	3,8
3,2	1	1,9	3	1,3	1,1	2,9	1,4	1,9	1	2	2

не образует.

сеновый скарн→пироксеновый скарн→форстерит-клиногумитовый скарн→кальцифир→слабодедоломитизированный доломит→доломит. Магнетит развивается с преимущественным замещением пироксен-флогопитовой зоны. Людвигит сменяет магнетит, замещая полностью зоны форстерит-клиногумитового скарна и, почти нацело, зону кальцифира. За пределами людвигитовой руды в слабоизмененных карбонатных породах развита редкая вкрапленность сульфидов, которая сменяется зоной тонко рассеянной вкрапленности гематита. Магнетит-людвигитовые руды формируют приконтактовую линзовидную залежь юго-восточного склонения ($60-30^\circ$), которая смешена в виде трех блоков разрывными структурами северо-восточного простириания. Положение блоков несколько различно в отношении уровней эрозионного среза. Первый блок наименее эродирован, перекрыт зоной слабоизмененных карбонатных пород и доломитовых мраморов мощностью от 30 до 100 м. Второй блок эродирован до уровня средних и нижних частей скарново-рудного

тела. Третий блок наиболее глубоко эродирован до уровня корневых частей залежей, контакт с карбонатной толщей отсутствует. В распределении бора и микроэлементов в гранитоидах, доломитовом мраморе, скарновых зонах и магнетит-людвигитовых рудах выявлены те же закономерности, что и для идентичных пород месторождения в Забайкалье. Некоторым отличием обладают магнетитовые руды, в которых отсутствует сульфидная минерализация, но содержания Zn, Cu, Mo, Sn на порядок выше, чем в магнетитовых бессульфидных рудах описанного выше месторождения Забайкалья.

В распределении микроэлементов и бора четко проявлена зональность. Ореолы накопления в пределах скарноворудного контакта образуют: бор, свинец, цинк, барий, медь, молибден, вольфрам, олово, марганец. Ореолы бора развиваются в пределах всех зон скарнов, не выходя за границу кальцифириров. Наиболее широкое ореольное поле образуют марганец, свинец и медь. Ореолы этих элементов развиваются по всем зонам экзо- и эндоконтактов, захватывая область слабоизмененных карбонатных пород. Ореолы меди и свинца достигают 200 м, марганца — 100—200 м в висячем боку магнетит-людвигитового рудного тела. В лежачем боку распространение ореолов марганца и свинца ограничивается зоной измененных близскарновых гранитоидных пород, медь образует слабоконтрастный ореол в приконтактовой зоне интрузива. Ореолы бария в плане развиваются до 50 м в экзоконтакте, захватывая все зоны скарнов, кальцифиры и слабодедоломитизированные доломиты. В интрузивной приконтактовой области они не развиваются. Ореолы цинка ограничены в экзоконтакте зоной кальцифира, не входя в область развития слабоизмененных карбонатных пород. В ассоциации с медью цинк образует ореолы в эндоскарнах и в пределах первого десятка метров приконтактовой зоны гранодиорита. Ореолы молибдена, олова и вольфрама проявляют общность как группа микроэлементов, присущих эндоконтактовой зоне скарнов и приконтактовой зоне гранодиорита. Наиболее узкие ореолы характерны для олова только в пределах эндоскарнов, а также в близскарновых зонах гранитоида. Ореолы вольфрама развиваются в гранат-пироксеновой и флогопит-пироксеновой зоне эндоскарнов. Наиболее широкие ореолы образует молибден: во всех зонах скарнов, скарнированных пород, а также в апикальной части гранодиорита. Изменение средненормальных содержаний, значений коэффициента минерализации в зонах скарновой колонки и измененных приконтактовых участков гранитоида элементов (олова, вольфрама, молибдена, цинка, меди, бария, свинца, марганца и бора) показывает определенно выраженную поперечно-направленную зональность относительно интрузивного контакта. Элементами фронтальной зоны являются Ba, Pb, Cu; тыловой — W, Sn, Mo. Элементы Bi, Zn, В характеризуют конкретно близрудные и рудные зоны эк-

зоконтакта. Расчеты коэффициента зональности в двух вариантах: $K = \frac{\text{Ba} \cdot \text{Pb} \cdot \text{Zn}}{\text{Sn} \cdot \text{W} \cdot \text{Mo}}$ и $K_3 = \frac{\text{Ba} \cdot \text{Pb} \cdot \text{Cu} \cdot \text{Zn}}{\text{Sn} \cdot \text{W} \cdot \text{Mo} \cdot \text{Co}}$ показывают идентичность направлений вариаций от приконтактовой зоны гранитоида до карбонатной породы (табл. 52).

Таблица 52

Коэффициенты зональности в скарноворудном контакте

Номер рудного тела	Порода	Расстояние от контакта, м	Ba · Pb · Cu	Ba · Pb · Cu · Zn
			$\frac{\text{Sn} \cdot \text{W} \cdot \text{Mo}}{\text{Zn} \cdot \text{W} \cdot \text{Mo} \cdot \text{Co}}$	$\frac{\text{Zn} \cdot \text{W} \cdot \text{Mo} \cdot \text{Co}}{\text{Zn} \cdot \text{W} \cdot \text{Mo}}$
1	Гранитоид приконтактовой зоны	10—0	0,002—80	0,001—26
	Скарны эндоконтакта	0—5	1—33	0,6—4
	Скарны экзоконтакта	5—10	1 000—13 600	1 000—10 100
	Кальцифир	10—20	200—3 000	50—102
	Дедоломитизированный доломит	20—50	500—700	100—261
2	Гранитоид приконтактовой зоны	10—0	0,001—86	0,001—31
	Скарны эндоконтакта	0—2	1—25	1—12
	Скарны экзоконтакта	2—5	1 000—5 200	1 000—2 840
	Кальцифир	5—10	100—800	50—320
	Дедоломитизированный доломит	10—30	100—1 200	30—850
3	Гранитоид приконтактовой зоны	10—0	0,001—102	0,001—38
	Скарны эндоконтакта	0—2	1—10	1—5
	Скарны экзоконтакта	2—5	800—1 184	650—1 042
	Кальцифир	5—7	300—560	100—289

Минимальные значения характерны для приконтактовой зоны гранитоида и скарнов эндоконтакта, максимальные — для скарнов экзоконтакта. Для зоны кальцифиров и примыкающей к ней зоны слабодедоломитизированных пород значения очень близки. Расчетные данные коэффициентов зональности подчеркивают зональное распределение микроэлементов, образующих положительные ореолы в пределах скарноворудной зоны. Ряд зональности представляется в следующем виде: Sn, W, Mo → Bi, Zn, B → Cu, Ba, Pb.

Рудопроявление Сюрень-Ата приурочено к останцу карбонатных пород средне-верхнедевонского возраста и гранодиоритам карамазарского типа (C_{2-3}). Контактovo-метасоматическим и метаморфическим изменениям подверглись известняки и доломиты животского яруса, аргиллиты, алевролиты, песчаники франского яруса и доломиты фамена. Палеозойские образования смяты в антиклиналь и надвинуты под углом 50—60° по Сюрень-Атинскому надвигу на мезо-кайнозойские отложения. Сюрень-Атинский надвиг сопровождается более мелкими па-

ралльными нарушениями, которые создают блоковую чешуйчатую структуру месторождения.

Сюрень-Ата является типичным магнезиальноскарновым объектом комплексных руд железа, бора, меди. Контактово-метасоматические явления сложны и многостадийны. Здесь широко развиты: магнезиальные скарны магматической стадии, инфильтрационное и диффузионное метасоматическое замещение гранитоидов с образованием фаций повышенной щелочности и основности, роговики, «преобразованные магнезиальные» скарны (по определению этого термина Л. И. Шабыниным, 1966), известковые скарны, гидротермальные метасоматиты. Очень четко выражена первичная зональность магнезиальных и известковых скарнов. Для первых выделяются зоны: гранитоид→шпинель-пироксеновый скарн→пироксеновый, пироксен-форстеритовый скарн→кальцифир→периклазовый мрамор→доломит. Широко развиты постмагматические скарновые замещения: шпинель→флогопит→серпентин±амезит, клинохлор, тальк; форстерит→минералы группы гумита→серпентин±амезит; периклаз→брусит, гидроталькит. В известковоскарновых контактах зональность стереотипна: гранитоид→гранат-везувиановый скарн→пироксен-гранатовый скарн→пироксеновый скарн→волластонитовый скарн→известковый мрамор. Везувиан и гранаты развиваются с замещением шпинель-пироксеновой, форстерит-пироксеновой зон магнезиальных скарнов.

Оруденение представлено магнетитом, пиритом, халькопиритом и ссайбелиитом. Это линзовидные тела в виде приконтактовых залежей и столбообразных инфильтрационных зон, параллельных приконтактовым телам. Качественное и количественное распределение рудных минералов зонально, максимумы запасов руд распределяются по определенным зонам скарновой метасоматической колонки (табл. 53). Руды образуют комплексные положительные ореолы: Ag, Au, Hg, Pb, Co, Ni, Zn, Cu, Sb, Bi, As, Mo, W, В. Площадное развитие ореолов не изучалось. Представляется возможным рассмотреть поведение микроэлементов и бора в целом в скарновом контакте только относительно поперечно-направленной зональности от гранитоида к карбонатной породе на основании изучения минеральных ассоциаций и распределения микроэлементов в 122 минералах, представляющих месторождение (Заревич, 1966). Схема поперечно-направленной зональности следующая: W, Sn, Mo, Co→Ni, As, Bi, В→Zn, Cu, Pb→Au, Ag, Hg, Sb.

Группа элементов (W, Sn, Mo, Co) характерна для тыловых зон скарновой метасоматической колонки; элементы Ni, As, Bi, В образуют самостоятельные минералы и входят как изоморфные примеси в породообразующие и рудные минералы экзоскарнов. Элементы Zn, Cu, Pb в виде изоморфных примесей входят в состав минералов скарновых зон, но самостоятельные минералы и максимумы содержаний в породообразующих ми-

Таблица 53

Распределение рудных минералов
по зонам метасоматической скарновой колонки

Скарны	Зона	Магнетит		Пирит		Халькопирит		Ссайбеллит	
		мощ- ность, м	об. %						
Магнезиальные	Гранитоидная	—	—	—	—	—	—	—	—
	Шпинель-пироксеновая	7—8	27—55	5—7	10—18	3—5	2—3	—	—
	Пироксен-шпинелевая	3—5	15—30	3—5	10—22	4—10	3—5	—	—
	Пироксен-форстеритовая	3—5	27—52	3—5	10—13	1—2	1—3	—	—
	Форстеритовая	5—27	55—70	—	—	—	—	10—17	2—40
	Кальцифирировая	—	—	—	—	—	—	0,3—9	20—60
	Бруситового мрамора	—	—	—	—	—	—	—	—
Известковые	Доломитовая	—	—	—	—	—	—	—	—
	Гранитоидная	—	—	—	—	—	—	—	—
	Эпидозитовая	—	—	—	—	—	—	—	—
	Гранатовая	2—4	30—53	3—5	10—14	5—19	2—7	—	—
	Пироксеновая	2—4	18—32	—	—	2—4	3—5	—	—
Известковые	Известняковая	—	—	—	—	—	—	—	—

нералах приурочены к внешней зоне экзоскарнов. Элементы Ag, Hg в виде самородных элементов, сульфидов и изоморфных примесей установлены в апоскарновых ассоциациях фронтальной зоны экзоскарнов и кальцифиров. В зоне бруситовых, апо-периклазовых мраморов и слабодедоломитизированных доломитов как элемент-примесь в минералах фиксируется только Мп. Вероятно, для площадного распределения микроэлементов и бора пространственное положение относительно тыловых и фронтальных зон будет близко приведенной выше схеме зональности.

Месторождение Яхтон. Площадь месторождения сложена верхнесилурийскими (S_2ld_{1+2}) и верхнесилурийскими + нижнедевонскими ($S_2In_2+D_{1d}$) отложениями, прорывающимися Сарыдуканским (Яхтонским) гранитондом. Первые представлены доломитовыми известняками, доломитами, известковыми доломитами. Вторые — известковыми доломитами с прослоями песчаников, сланцев, известняками, ленточными известняками (представляющими тонкослоистое переслаивание известняков с песчаниками и глинами), известковистыми доломитами и доломитовыми конглобекциями. Осадочные породы представляют моноклиналь северо-западного простирания.

Месторождение является представителем магнезиальноскарновой и известковоскарновой формаций. Скарны разных формаций пространственно разделены и образованы в соответствии с составом скарнирующих пород (известняки и доломитовая конглобрекция). Руды комплексные: бор, вольфрам, молибден. Рудные тела — приконтактовые залежи межпластового и секущего типов. Борная минерализация представлена преимущественно людвигитом, в меньшей мере флюоборитом, суанитом, ссайбеллитом. Основные вольфрамовые, молибденовые руды приурочены к скарнированным ленточным известнякам.

Магнезиальные скарны развиваются в виде цемента доломитовой конглобрекции. Вокруг обломков образуются зоны метасоматической колонки. От центра каждого доломитового обломка, поперек, в стороны, наблюдается смена зон: доломит (кальцифир), форстерит + пироксен с минералами группы гумита (флогопит-диопсидовая зона), возможно апошпинель-пироксеновая. Иногда развиваются не все зоны. В непосредственном контакте с гранитоидами образуются сплошные скарновые тела, имеющие зональность: гранитоид → пироксен-флогопитовый скарн → форстеритовый скарн → кальцифир → доломит. Известковоскарновые наложения практически отсутствуют.

Эндогенные ореолы на месторождении не изучались. Но на основании данных по минеральным ассоциациям и микроэлементному составу 98 минералов (И. П. Заревич, 1967 г.) выявляется зональное распределение микроэлементов и бора в поперечном строении скарноворудного контакта. Характерны повышенные содержания (в виде самостоятельных минералов или изоморфных примесей) в эндоконтактовых зонах скарнов — W, Mo, Co, в экзоскарнах — Sn, Ni, As, Bi, V; во внешних зонах экзоскарнов и кальцифириров — Zn, Cu, Pb, Sb, Ag, Hg; в слабоизмененных карбонатных породах — Mn. Подобное зональное распределение микроэлементов и бора, возможно, соответствует эндогенной поперечной зональности на месторождении Яхтон.

В известковоскарновом контакте, пространственно разобщенном от магнезиального, установлена следующая зональность скарнов: гранитоид → гранатовый скарн → гранат-пироксеновый скарн → пироксен-волластонитовый скарн → известняк. На тех же основаниях, что и в предыдущем случае, прослежена поперечная зональность микроэлементов и бора по скарновометасоматическим зонам: для эндоконтактовых зон характерны Sn, W, Co, Mo, V; для внутренних зон экзоскарнов — Cr, Co, Sb, As, Nb, Bi, V; для внешних зон экзоскарнов — Sc, Y, Yb, Be, Zn, Cu, Ge, Ag, Pb, Ba, Mn.

Рудопроявление Гавасай приурочено к контакту доломитов нижнего карбона и северо-западному контакту джалгызурюкского гранитоидного plutона. Месторождение относится к магнезиально-скарновому типу с комплексными рудами железа, бора, полиметаллов. Скарноворудный контакт зонален: грани-

тоид→пироксеновый скарн→магнезиальный скарн→форстеритовый кальцифир→доломит. В распределении руд устанавливается зональность: магнетит→борные руды→полиметаллы. Последние образуют также прожилки и гнезда в магнетитовых и людвигитовых рудах, наблюдаются самостоятельные скопления в виде прожилков во всех типах скарнов, в слабоизмененных карбонатных породах. Борная минерализация представлена людвигитом, ссайбелиитом, флюоборитом. В контакте скарнов с джалгизурюкским гранитоидом выявлены положительные ореолы: B, Cu, Co, Sn, Zn, Mo, Pb, Mn.

Рудопроявления хр. Джугджур приурочены к контакту ксенолитов осадочных образований (лахандинская свита) и гранитоидов Мало-Комуйского массива верхнемелового возраста. Контактовые преобразования выражаются в образовании роговиков по терригенным породам и периклазовых мраморов—по карбонатным породам, а также в развитии магнезиальных скарнов. Скарны развиваются на юго-восточном и юго-западном контактах массива. Пространственная связь бориносных скарнов с верхнемеловыми гранитами считается доказанной (Граменицкий, 1966). Скарны магнезиальные, зонально построенные: гранитоид→диопсидовый скарн→форстеритовый скарн→кальцифир→периклазовый мрамор. Зональность усложняется более поздними образованиями ассоциаций магнетита, клиногумита, флогопита, амфиболов, граната, везувиана, хлорита, серпентина, брусила, карбоната. На контактах гранитоидных апофиз с магнезиальными скарнами наблюдаются зоны наложенных известковых скарнов. При этом возникает зональность: измененный гранит→гранатовая зона→диопсидовая→магнезиальный скарн, или: измененный гранит→волластонитовая зона→пироксен-волластонитовая → пироксен-гранатовая → гранат-везувиановая → везувиан-пироксеновая → пироксеновая → хлоритовая → форстеритовая→магнетит-форстеритовая.

Рудопроявления являются комплексными: медно-железо-борными. Медная минерализация представлена халькопиритом; железная — магнетитом; борная — котоитом, людвигитом, флюоборитом, ссайбелиитом. Руды распределены зонально. Медная и магнетитовая минерализации концентрируются во внутренних зонах экзоскарнов, боровое оруденение — во внешних. Последовательность пространственного положения руд следующая: магнетит → людвигит → котоит.

В магнезиальных скарнах участка «Гоночан» выявлены положительные ореолы*: B, Ga, Sn, Nb, Cu, Mo, Yb, Ag, Co, Mn, Bi, Y, Be, Zr, V, Pb, Ti; в известковых скарнах — Ag, Bi, Mo, Zn, Pb, Cu, Yb, Ge, V, Co, Sn, B, Mn, Zr, Y, Sc, Nb, Be, Ti, Ni. На участке «Горный» положительные ореолы в скарнах образуют:

* Положительные ореолы выявлены расчетами коэффициентов накопления по методике Э. К. Буренкова и Е. М. Янишевского (1974 г.).

B, Mo, As, Bi, W, Pb, Y, Yb, Ga, Ge, особенно контрастно проявлены Cu, Zn, Sn.

Ильмовское рудопоявление. Рудопоявление представлено стратифицированными породами нижнетургеневской подсвиты верхнего протерозоя, сложенными гнейсами и сланцами с отдельными прослойями и линзами мраморов. Указанные породы прорываются верхнепермскими биотитовыми гранитами в виде небольших штоков. Контактовые преобразования выразились в гранитизации, скарнировании (скарны магнезиальные). Скарнированию подверглись карбонатные породы и сланцы. В. Б. Обухов и Б. С. Шустерман указывают на наличие зональности скарнов: гранитоид \rightarrow магнезиальный скарн с минералами группы гумита \rightarrow кальцифирированный \rightarrow карбонатная порода. Рудопоявление является комплексным железо-борным. Рудные тела представляют линзы магнетита и людвигита. В граните широко распространена турмалиновая минерализация. Выделяются преимущественно магнетитовые и магнетит-людвигитовые тела (рис. 4). Людвигит ашаритизирован. Магнетит-людвигитовые руды и скарны содержат повышенные количества олова, вольфрама. Положительные ореолы (кроме указанных элементов) образуют: свинец, цинк, висмут, серебро, медь, мышьяк, кобальт. Для ореолов вольфрама указываются магнезиальные скарны с магнетитовой рудой; для цинка и олова характерны зоны магнетитовых руд и внутренних частей экзоскарнов, для меди, свинца — внешние зоны экзоскарнов и кальцифиры. Повышенные содержания висмута, серебра, кобальта зафиксированы только в экзоскарнах, содержащих магнетит-людвигитовую минерализацию. Рис. 4 иллюстрирует положение эндогенных ореолов: бора, совмещенных ореолов свинца — цинка, олова — вольфрама, меди — мышьяка относительно выходов магнетитовых и магнетит-людвигитовых руд. Пространственное развитие ореолов подчеркивает зональное распределение элементов от рудных тел: Sn, W \rightarrow As, B, Zn \rightarrow Cu, Pb.

На основании рассмотренного материала по борным комплексным месторождениям и рудопоявлениям магнезиально-скарновой формации можно установить следующие закономерности в распределении микроэлементов и бора: существует зональное распределение микроэлементов, характеризующее как поперечно-направленную зональность относительно интрузивного контакта и фронтальных зон контактово-метасоматически измененных пород, так и вертикальную зональность относительно уровней среза скарноворудных зон. Тыловые зоны фиксируют группой элементов Sn, W, Mo, Co, средние зоны (зоны максимальных раздузов скарнов и руд) — Bi, As, B; фронтальные зоны (зоны надрудные, верхнерудные в вертикальном разрезе) — Zn, Cu, Ba, Pb, Ag, Hg, Mn. Эти же группы элементов фиксируют определенные по петрографическому составу зоны скарновой метасоматической колонки. Так, для эндоконтакта боль-

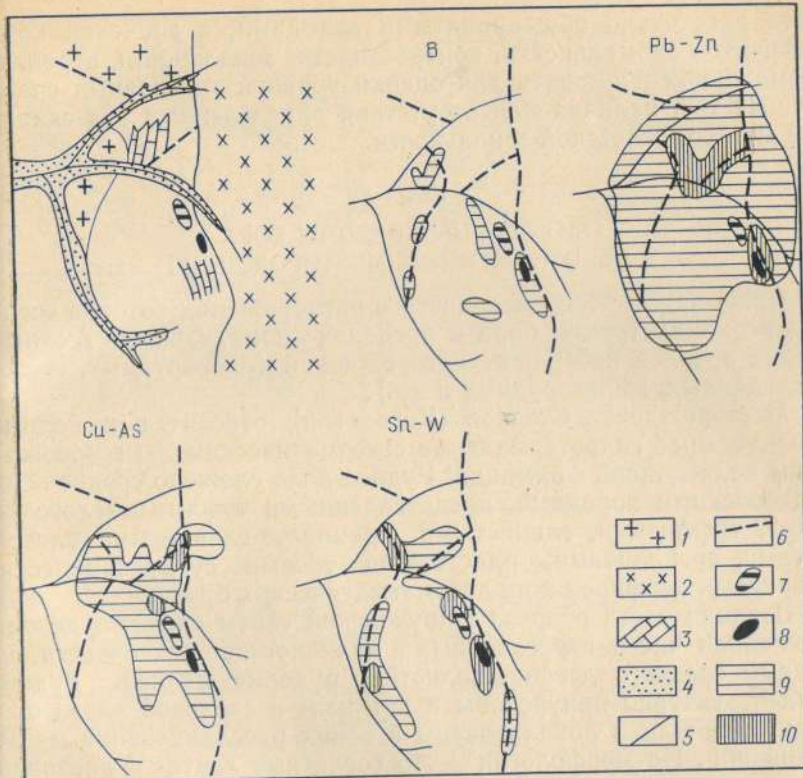


Рис. 4. Эндогенные ореолы рудопроявления Ильмобское
 1—2 — граниты (1 — двуслюдянные, 2 — порфировидные V_1P_2); 3 — мраморы; 4 — четвертичные отложения; 5 — геологические границы и контуры ореолов; 6 — предполагаемые геологические границы; 7 — магнетит-людвигитовые тела; 8 — магнетитовые тела; 9 — геологические границы бора, свинца, меди, олова; 10 — совмещенные ореолы свинца и монозлементные ореолы бора, свинца, меди, олова; 10 — совмещенные ореолы свинца и цинка; меди и мышьяка; олова и вольфрама

шинства объектов характерны Sn, W, Mo; для внутренних зон экзоскарнов — Bi, As, Co, отчасти Zn, В; для внешних зон экзоскарнов — В, Zn, Cu, Ag, Pb, Ba; для кальцифиров и слабоизмененных пород — преимущественно Mp. Особенно четко фиксируют определенный состав эндоскарнов, скарнов, скарноидов молибден и вольфрам. Конкретные ореолы борных руд, специфичные исключительно для них, не устанавливаются в связи с тем, что все месторождения являются комплексными и сульфидсодержащими. Но четко установлено, что магнетитовые сульфидные, вольфрамовые и другие беззорные руды не имеют ореолов бора в пределах борных месторождений магнезиально-скарновой формации. Элементы Co, Pb, Zn, Cu, Ba, Mo, Sn характеризуют ореолы сульфидной минерализации. В целом, проявление зональности в распределении микроэлементов для борных месторождений магнезиально-скарновой формации может

быть рассчитано общепринятыми методами, а значения коэффициентов аномальности, контрастности, зональности, вероятно, возможно использовать для оценки уровней эрозионных срезов рудных тел, наличия или отсутствия определенных зон скарновой метасоматической зональности.

Глава 3

ЭНДОГЕННЫЕ ОРЕОЛЫ БОРА В НЕБОРНЫХ ТИПАХ МЕСТОРОЖДЕНИЙ

Ниже приводятся имеющиеся в распоряжении авторов сведения по концентрации бора в пределах комплексных геохимических ореолов неборных месторождений (оловорудных, медноколчеданных, железорудных и др.).

Месторождение Степное (Казахстан) относится к полиметаллическим гидротермально-метасоматическим месторождениям колчеданной формации. Рудное поле сложено средне-верхнедевонскими породами, представленными туфами кислого состава, туффитами, глинистыми, кремнисто-глинистыми алевролитами, аргиллитами, пластовыми телами субвулканических кварцевых порфиров и их автомагматических брекций.

Верхняя часть разреза шипуновской свиты среднего девона, сложенная часто переслоенными вулканогенно-осадочными породами среднего девона, является рудовмещающей. Рудные тела структурно приурочены к крыльям и сводовой части брахиантклинали и локализованы в зонах рассланцевания и отсланивания. По морфологии — это согласные ленто- и линзовидные залежи, наследующие элементы складчатой структуры месторождения. Руды представлены прожилковыми, прожилковово-вкрашенными разностями, сложенными сфалеритом, галенитом, халькопиритом, пиритом и некоторыми другими сульфидами в гидротермально-измененных породах кварц-серцицит-хлорит-брейнеритового состава.

На месторождении (по сведениям А. А. Головина, 1973 г.) установлены ореолы (рис. 5) свинца, цинка, меди, серебра, кадмия, мышьяка, висмута, молибдена, бария, бора и некоторых других элементов, значительно превышающие по размеру рудные тела. Основными элементами-индикаторами являются: свинец, цинк, медь и серебро. Содержания бора в целом характеризуются очень низкими значениями. Характерно наличие зоны пониженных содержаний бора (меньше $10-15 \text{ млн}^{-1}$), приуроченной к рудной зоне и лежащему ее боку. Эта зона, прослеженная по всем скважинам, вскрывающим ее, хорошо увязывается в пространстве. Зоны повышенных концентраций бора установлены в периферических надрудных и фланговых частях разреза и полностью не оконтурены.

Месторождение Красногвардейское относится к медноколчеданному типу медных месторождений и расположено в зеле-

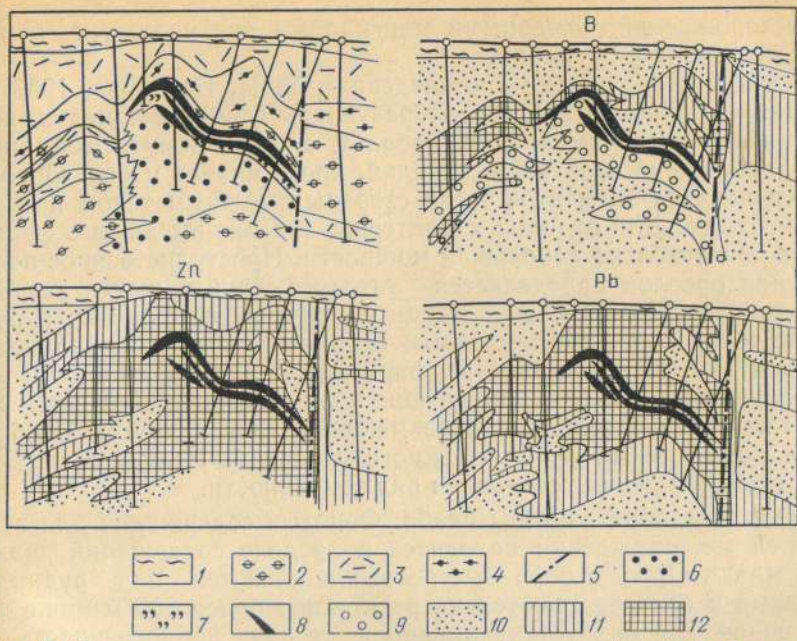


Рис. 5. Эндогенные ореолы месторождения Степное (по А. А. Головину, 1970 г.)

1 — рыхлые песчано-глинистые отложения; 2 — алевролиты, аргиллиты; 3 — туфы кислотного состава; 4 — то же с прослойками песчаников, туфопесчаников, аргиллитов; 5 — разломы; 6 — микрокварциты; 7 — кварц-серицит-хлорит-брейнеритовые породы; 8 — рудные тела; 9—12 — содержания элементов в ореолах, млн m^{-1} (в кислых вулканогенных: 9 — В < 15; 10 — В 15—25; Zn 150; Pb 80; 11 — В 25—35; Zn 150—350; Pb 80—250; 12 — В > 35; Zn > 350; Pb > 250; в осадочных: 9 — В < 10; 10 — В < 25; Zn < 300; Pb < 100; 11 — В 25—35; Zn 300—450; Pb 100—200; 12 — В > 35; Zn > 450; Pb > 200)

нокаменной полосе Восточного склона Среднего Урала. Оно залегает в крутопадающих зонах рассланцевания, представленных гидротермально-измененными породами нижнесилурского рудоносного комплекса.

Морфологически рудные тела представляют линзы и столбы, обычно согласно залегающие с вмещающими породами. Локализуются они вблизи контактов рудовмещающих гидротермально-метасоматических сланцев с метаморфизованными вулканитами среднего и основного состава. Для гидротермально-измененных пород типично зональное строение. Внешняя зона представлена альбитизированными породами, внутренняя — серицит-кварцевыми и кварцевыми метасоматитами. От неизмененных вулканогенных пород к рудным телам выделяются следующие петрографические разновидности: плагиоклазовые порфиры, слабохлоритизированные и карбонатизированные, альбитизированные порфиры, альбит-сериицитовые сланцы, кварц-хлоритовые сланцы, серицитовые сланцы. Общая мощность полосы кварц-сериицитовых сланцев меняется довольно резко от 2—3 до 30—60 м. Руды типичны для колчеданных

месторождений. Основными минералами руд являются пирит, халькопирит и сфалерит.

На месторождении (по сведениям Э. Н. Баранова, 1967 г.) выявлен широкий круг ореофизирующих элементов: медь, цинк, свинец, серебро, молибден, кобальт, олово, висмут, германий, галлий, барий, марганец, ванадий, хром, никель и бор. Ореолы большинства элементов тесно связаны с рудным телом и окаймляют его. Для ореолов характерны линейно-вытянутые формы при относительно небольшой мощности. Пространственное положение ореолов определяется литолого-структурными особенностями рудовмещающей толщи и приурочены они, как и рудные тела, к кварц-сернистовым сланцам и кварцитам, тяготея к контактам последних с порфиритами и их туфами. Ореолы различных элементов приурочены в основном к одним и тем же участкам, пространственно совмещаясь друг с другом и образуя комплексный ореол сложного строения. Несмотря на это, на месторождении установлен ряд зональности.

Ореолы бора изучены слабо. Фоновые содержания для всех пород месторождения находятся в пределе содержаний ниже 10 млн^{-1} . Ореолы бора быстро выклиниваются над рудными телами и прослеживаются на расстояние более 200 м ниже их. В целом для них устанавливается тесная приуроченность к кварц-сернистовым сланцам. Закономерная приуроченность аномальных концентраций бора к кварц-сернистым метасоматитам прослеживается и на других колчеданных месторождениях. Поведение бора на месторождении сходно с молибденом и в ряду зональности они занимают соседние места.

Шеелит-скарновое месторождение (Дальний Восток). Рудное поле месторождения сложено верхнепермскими и предположительно верхнетриасовыми толщами, представленными кремнистыми породами, алевролитами, песчаниками с невыдержаными горизонтами известняков и спилитов. Осадочные породы прорваны небольшими штоками гранитоидов верхнемелового возраста. Оруденение приурочено к контакту гранодиоритов. Представлено оно скарновосульфидной залежью, образовавшейся в результате замещения известняков и биотитовых роговиков.

На месторождении (по сведениям Э. С. Кравченко, 1973 г.) установлены ореолы вольфрама, свинца, серебра, цинка, меди, висмута, молибдена и кобальта, мышьяка и олова, значительно превышающие по размерам рудные залежи. Бор установлен практически во всех пробах. Подавляющее большинство проб характеризуется содержаниями в пределах $10-100 \text{ млн}^{-1}$. Как такового ореола бор не образует (рис. 6). Распределение высоких содержаний носит спорадический характер и отмечается в единичных пробах. На общем фоне вдоль главной рудной залежи выделяется область мощностью до 50—60 м пониженных (10 млн^{-1}) содержаний бора. По всей вероятности, это

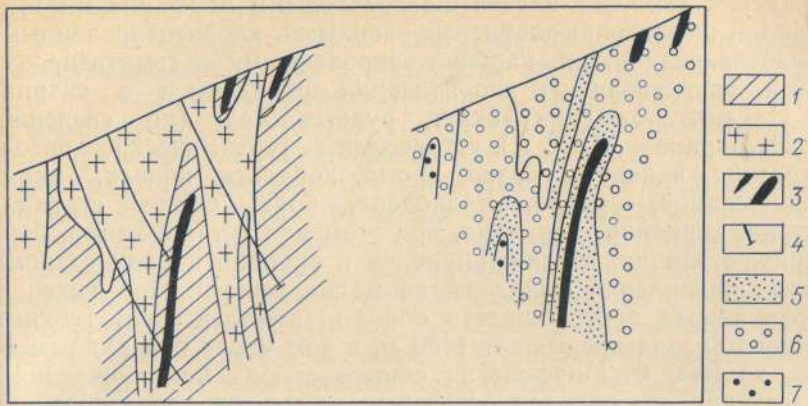


Рис. 6. Эндогенные ореолы месторождения Восток-2 (по Э. С. Кравченко, 1973)

1 — алевролиты и песчаники; 2 — гранодиориты; 3 — рудные тела; 4 — опробованные горные выработки; 5—7 — содержания элементов, млн. m^{-1} : (5 — $W > 100$, 6 — B до 10, 7 — B 10—100)

указывает на вынос бора при образовании руд месторождений данного типа.

Месторождение Ноябрьское (Дальний Восток) относится к оловорудным месторождениям кассiterит-сульфидного типа. Площадь месторождения сложена отложениями готерив-альба, представленными песчаниками с прослойями алевролитов, кремней, гравелитов и конгломератов. Интрузивные породы, развитые на площади месторождения, представлены штокообразными телами гранодиоритов, дайками диабазовых порфиритов и андезито-базальтов. Рудные зоны сложены интенсивно окварцизованными, серicitизированными, лимонитизированными и хлоритизированными породами с реликтами пирита и арсенопирита. Кассiterит встречен в виде очень мелких кристаллов.

Вокруг рудных зон (по сведениям Э. С. Кравченко, 1973 г.) развиты комплексные ореолы олова, свинца, цинка, серебра, меди, молибдена. Висмут и вольфрам в ореольных концентрациях встречены в единичных пробах. Бор образует ореолы, оторванные от рудных зон. Непосредственно в пределах последних отмечаются весьма низкие фоновые или ниже фоновых содержания и лишь в нижней части разреза рудные зоны сопровождаются повышенными содержаниями бора. Ореол бора оконтурен по содержанию более 100 $\text{млн. } \text{m}^{-1}$. Полностью размеры ореола бора не установлены.

Месторождение Талкульское относится к скариовому типу магнетитовых месторождений. Структура месторождения определяется наличием благоприятного для рудоотложения горизонта известняков и крутопадающих разломов, ограничивающих рудный блок месторождения. Надрудная часть разреза место-

рождения сложена андезито-базальтовыми порфиритами и их туфами, интенсивно альбитизированными, хлоритизированными, эпидотизированными, карбонатизированными и гематизированными. Эпидотизация и хлоритизация проявлены и в скарнах.

На месторождении вокруг рудных тел (по сведениям Э. Н. Баранова, 1972 г.) установлены геохимические ореолы марганца, ванадия, титана, хрома, кобальта, никеля, цинка, меди, свинца, серебра, молибдена, бора, бария, стронция, иттрия, циркония и скандия, при этом для титана, хрома, бора, бария, стронция, иттрия, циркония и скандия наряду с аномалиями накопления выявлены аномалии выноса. Прослеженная вертикальная протяженность общего (комплексного) геохимического ореола превышает 1400 м, в том числе над рудным телом до 1000 м. Морфология общего ореола месторождения и слагающих его ореолов отдельных элементов характеризуется сочетанием пологих полей, развитых согласно с залеганием горизонтов вулканитов и осадочных пород, и крутопадающих полей, приуроченных к зоне разлома. Наиболее широкое распространение на месторождении получили ореолы марганца, цинка и ванадия. Максимальные концентрации цинка приурочены к рудам, марганца — к скарнам, а ванадий относительно равномерно распределен в разрезе.

Ореолы бора развиты выше рудной залежи и, в основном, наряду с другими элементами, развиваются во внешней зоне общего геохимического ореола. Его содержания в рудах и скарнах ниже, чем в исходных известняках и вулканитах. В ореолах накопления содержания бора в пределах контура с 97,3%-ной вероятностью равны: для эфузивов более 370 млн^{-1} , для известняков 40 млн^{-1} , а в ореолах выноса соответственно 13 и 2 млн^{-1} . Фоновые содержания по месторождению равны: для вулканогенных пород основного состава 70 млн^{-1} , а для известняков 10 млн^{-1} . Средние содержания в скарнах составляют $100\text{--}130 \text{ млн}^{-1}$, в магнетитовых рудах 38 млн^{-1} . В ряду зонального распределения элементов в вертикальном разрезе общего ореола в направлении сверху вниз бор занимает второе место после титана.

По сообщению Э. Н. Баранова, изучавшего геохимические ореолы контактово-метасоматических месторождений железа на Урале и в Тургайском прогибе, бор, как правило, выносится из магнетитовых руд. В скарнах отмечаются участки как накопления, так и его выноса. Пироксен-полевошпатовые породы характеризуются обеднением бора и только на одном участке месторождения в них отмечается незначительное накопление бора.

Магнетитовое рудопроявление Хужертуй I приурочено к останцу метаморфизованных карбонатных и терригенно-карбонатных пород нижнего кембрия в массиве биотит-рого-обманковых граносиенитов. Массивные доломиты, отмечавшиеся на

площади месторождения, в контакте с граносиенитами образуют скарны магнезиальной формации.

Оруденение представлено сливными магнетитовыми рудами, развивающимися преимущественно по экзоскарнам. Сульфидная минерализация незначительна и представлена мелкой вкрапленностью пирита. В слабодедоломитизированном доломите развита тонкая вкрапленность пластинчатого гематита. Геохимические ореолы вокруг магнетитовых руд образуют Mn, Ti, Sn, Zn, Co. В целом для рудопроявления (по миграционным характеристикам) выделяются: а) «сквозные» элементы, т. е. проходящие через все зоны и фиксирующиеся за пределами экзоконтакта (Pb, Mn, отчасти Ba); б) элементы, накапливающиеся в скарновых зонах (B, Bi, Zn, Co, W, Sn); в) элементы, фиксируемые как в скарновых зонах, так и в гидротермально-метасоматически преобразованных приконтактовых частях гранитоида (Cu, Mo). Намечается определенная геохимическая зональность накопления микроэлементов и бора в определенных зонах скарновой метасоматической колонки; характерными элементами эндоконтакта являются W, Sn; к границе эндо- и экзоконтакта приурочены Mo, Bi, Zn; для скарновых зон экзоконтакта типичны Ba, Pb, Cu, Mn, причем Ba, Cu, Mn фиксируются в зоне слабоизмененных карбонатных пород экзоконтакта. Поведение бора отличается некоторым своеобразием. Он явно накапливается в приконтактовой зоне гранитоида, не характерен для магнезиального скарна, а в магнетитовой руде его содержание несколько увеличивается.

* * *

Таким образом, весь рассмотренный выше фактический материал показывает, что в большинстве рудных месторождений бор образует повышенные аномальные концентрации, несколько оторванные от рудных тел. Геохимические аномалии бора в пределах комплексного эндогенного ореола не имеют строго фиксированного положения относительно рудных тел, как это наблюдается для подавляющего большинства элементов. В пределах рудных тел и в близрудном пространстве отмечаются обычно зоны пониженных концентраций бора, рассматриваемые рядом исследователей как геохимические аномалии выноса. Сравнительные данные по распределению бора в однотипных образованиях не позволяют однозначно утверждать о выносе бора. Так, содержания бора в пределах аномалий так называемого выноса близки по значению к рассчитанным для тех же пород, но не затронутых рудными процессами. Следовательно, нельзя исключить возможность некоторого завышения фоновых содержаний за счет включения в выборку аномальных проб, тем более, что бор образует весьма широкие ореолы, практически неоконтуренные ни на одном из месторождений.

Часть III

ЭКЗОГЕННЫЕ ОРЕОЛЫ

Глава 1

ЛИТОГЕОХИМИЧЕСКИЕ ОРЕОЛЫ РАССЕЯНИЯ БОРА В ПОЧВАХ

Вопросы теории и практики геохимических методов поиска борных руд по вторичным литогеохимическим ореолам рассеяния разработаны полнее (В. Л. Кожара, 1964; Ю. Е. Саэт, 1973 и др.), чем методы поисков по эндогенным ореолам рассеяния.

Экзогенные ореолы рассеяния изучены на месторождениях и рудопроявлениях бора магнезиальноскарновой и известково-скарновой формаций, а также на проявлениях алюмо-боросиликатов. Настоящий раздел основан на результатах изучения боропроявлений, вторичные ореолы которых сформировались в различных ландшафтах и различных средах зоны гипергенеза. Обследовано 23 боропроявления в 10 регионах СССР, расположенных в холодной гумидной, гумидной и субаридной зонах. Были изучены месторождения и рудопроявления боратов, боросиликатов и алюмо-боросиликатов в пределах зон хвойных, смешанных и широколиственных лесов, а также типичных луговых и пустынных степей. На некоторых месторождениях и рудопроявлениях экзогенные ореолы были изучены совместно с эндогенными. В разделе не приведен материал по каждому конкретному объекту, а описаны лишь наиболее общие и главные признаки и параметры вторичных ореолов, характерные для различных бороносных формаций в целом. При описании экзогенных ореолов использованы параметры: среднеаномальное содержание \bar{X} , коэффициент контрастности K_k , площадь F , коэффициент расчлененности ($KP = \frac{S}{3 \cdot 54 \sqrt{F}}$, где F площадь ореола, а S длина границ ореола), коэффициент аномальности K_a , линейная продуктивность L .

Наиболее полно вторичные ореолы изучены на боратовых типах оруденения. Морфология экзогенных ореолов на боратовых месторождениях сложна и определяется сложностью геологического строения изучаемого объекта, строением эндогенных ореолов, а также ландшафтно-геохимическими особенностями. Ореолы рассеяния бора контролируются микрорельефом, имеют вытянутую по линиям стока линейную разветвленную форму и

характеризуются слабой контрастностью (табл. 54). В различных горизонтах почв они пространственно сопоставимы, но имеют и свои характерные особенности. В органогенных горизонтах ореолы имеют наиболее сложное морфологическое строение и пространственно не всегда совпадают с контурами рудных тел и зон скарнированных пород, часто смешены на значительные расстояния вниз по склонам (рис. 7). Ореолы бора в нижних минеральных горизонтах характеризуются меньшей расчлененностью и приурочены непосредственно к зонам рудоносных скарнов. На месторождениях, представленных несколькими разобщенными рудными телами, в минеральных горизонтах формируются ореолы, маркирующие каждое рудное тело в отдельности, тогда как в верхних горизонтах почв фиксируется единый ореол, оконтуривающий всю скарноворудную залежь (рис. 8). Зоны максимальных концентраций бора в органогенных горизонтах часто оторваны от рудных тел и приурочены к внутристекловым понижениям в рельефе (микрозападинам, термокарстовым западинам, днищам саев, падей, логов). В минеральных горизонтах почв ореолы наиболее высокой интенсивности обычно совпадают с проекцией рудных тел на дневную поверхность. Площадные размеры экзогенных ореолов бора в пределах однотипных геохимических ландшафтов определяются размерами рудных тел и зон скарнированных пород. При одинаковом типе и масштабе оруденения, геологическом и гипсометрическом положении рудных тел экзогенные ореолы месторождений и рудопроявлений в гумидной зоне имеют большие площадные размеры и меньшую контрастность по сравнению с аналогами в субаридной зоне.

Ореолы рассеяния бора в различных горизонтах почв имеют довольно тесную пространственную связь с эндогенными ореолами на уровне эрозионной поверхности пород. Так, на месторождении боратов ореолы бора во всех горизонтах почв наследуют от эндогенных ореолов линейную форму. По расчлененности эндогенные ореолы ($KP=6,0$) на уровне эрозионной поверхности наиболее сопоставимы с ореолами бора в горизонтах почв ВС ($KP=7,5$). Существенным отличием эндогенных ореолов бора является их более сложное внутреннее строение. Для экзогенных ореолов бора характерно более простое внутреннее строение с последовательной сменой зон низких концентраций более высокими, причем для последних характерна четкая приуроченность к полям наиболее высоких содержаний бора в эндогенных ореолах. По площадным размерам ($0,27 \text{ км}^2$) экзогенные ореолы на месторождении Забайкалья уступают эндогенным ($0,33 \text{ км}^2$). Ширина ореолов рассеяния бора в нижних почвенных горизонтах практически не отличается от ширины ореолов на поверхности коренных пород, по мере же приближения к дневной поверхности экзогенные ореолы резко сужаются.

Таблица 54

Параметры экзогенных орсолов рассеяния бора в почвах на эндогенных месторождениях боратов

Рудопроявление (регион)	Минеральный тип борного оруденения	Почвенный горизонт	Форма	Параметры		
				размеры*	$n \cdot 10^{-3}$ %	K_K
Солонго (Забайкалье)	Сахант-курчатовитовый и людвигит-сайбелин- товый	A_{uf}	Сложная линейная рас- щлененная	$\frac{0,20}{1,0; 0,15}$	4,6	1,3
		$B_h Fe, Al$	То же	$\frac{0,21}{1,0; 0,45}$	6,2	1,5
		BC	"	$\frac{0,27}{1,0; 0,25}$	6,9	1,6
Кундуй (Забайкалье)	Магнетит-людвигитовый	A_{uf}	Простая вытянутая	$\frac{0,015}{0,5; 0,35}$	3,5	1,1
		$B_h Fe, Al$	Сложная расщлененная	$\frac{0,065}{0,75; 0,2}$	4,5	1,6
		BC	Простая вытянутая	$\frac{0,016}{0,3; 0,15}$	5,0	1,8
Горное (Хабаровский край)	Сайбелинит-людвигито- вый	A_{uf}	Сложная линейная	$\frac{0,001}{0,11; 0,02}$	5,4	1,6
		$B_h Fe/BC$	"	$\frac{0,005}{0,2; 0,09}$	7,9	2,3

Мензинское (Хабаров- ский край)	Людвигитовый	T	"	"	$\frac{0,01}{0,6; 0,12}$	3,8	1,2
		C	"	"			
Быстриńskое (Забай- калье)	Людвигит-сайбелито- вый	A ₀	Сложная разветвлен- ная	—	$\frac{0,005}{0,4; 0,1}$	4,3	1,5
		A ₁	To же	—	$\frac{0,14}{0,09}$	13,0	1,5
Ильмовское (Примор- ский край)	Магнетит-людвигитовый и сайбеллит-людви- гит-магнетитовый	BC	"	—	$\frac{0,13}{0,13}$	11,0	1,5
		BC	Простая изометрическая	—	$\frac{0,3}{1,6; 0,9}$	10,0	1,5
Кульдур (Хабаровский край)	Сайбелитовый	A	—	—	$\frac{4,0}{5,0}$	4,0	1,2
		E _p B _m	—	—	$\frac{5,0}{6,0}$	5,0	1,6
Вершина (Горная Шо- рия)	Людвигит-сайбелит- магнетитовый	BC	—	—	$\frac{6,0}{6,0}$	6,0	2,0
		A ₀ A	Простая изометрическая	$\frac{0,034}{0,7; 0,7}$	7,0	7,0	1,2
Ашартовое (Шория)	Сайбеллит-магнетито- вый	BC	Простая вытянутая	—	$\frac{0,021}{0,7; 0,3}$	8,0	1,3
		A ₀ A	Простая изометрическая	$\frac{0,032}{0,8; 0,5}$	7,0	7,0	1,2
	Простая вытянутая	BC	—	$\frac{0,018}{0,8; 0,3}$	7,0	7,0	1,2

Продолжение табл. 54

Рудопроявление (регион)	Минеральный тип борного оруденения	Почвенный горизонт	Форма	Параметры		
				размеры*	$n \cdot 10^{-3}$, %	K_K
Даван (Киргизия)	Людвигит-ссайбеллито- вый и ссайбеллито- магнетитовый	A ₀ A	Сложная изометрическая	0,016 0,2; 0,1	13,0	1,4
		BCaCO ₃	" "	0,005 0,02; 0,03	13,0	1,4
Джалгызурюк (Кирги- зия)	Людвигит-ссайбеллитовый и ссайбеллитовый	BCCaCO ₃	Сложная линейная	0,006 0,17; 0,06	10,0	1,2
		A ₀ A	" "	0,008 0,3; 0,05	60,0	8,8**
Новомедвежинское (Ка- захстан)	Людвигит-ссайбеллито- вый	BCaCO ₃	" "	0,011 0,4; 0,08	30,0	4,9
		BCCaCO ₃	" "	0,016 0,4; 0,15	47,0	6,7
	A _h	—	—	—	7,0	1,7
		BCCaCO ₃	—	—	5,0	1,4

* В этой и в следующих таблицах в числителе указана площадь оросала (км^2); в знаменателе — максимальная длина и ширина оре-
ла (м); прочерк означает, что параметры не рассчитывались.

** Высокие значения средних содержаний и коэффициентов контрастности на этом участке объясняются, по-видимому, зараже-
нием района исследований отвалами шурфов и канав.

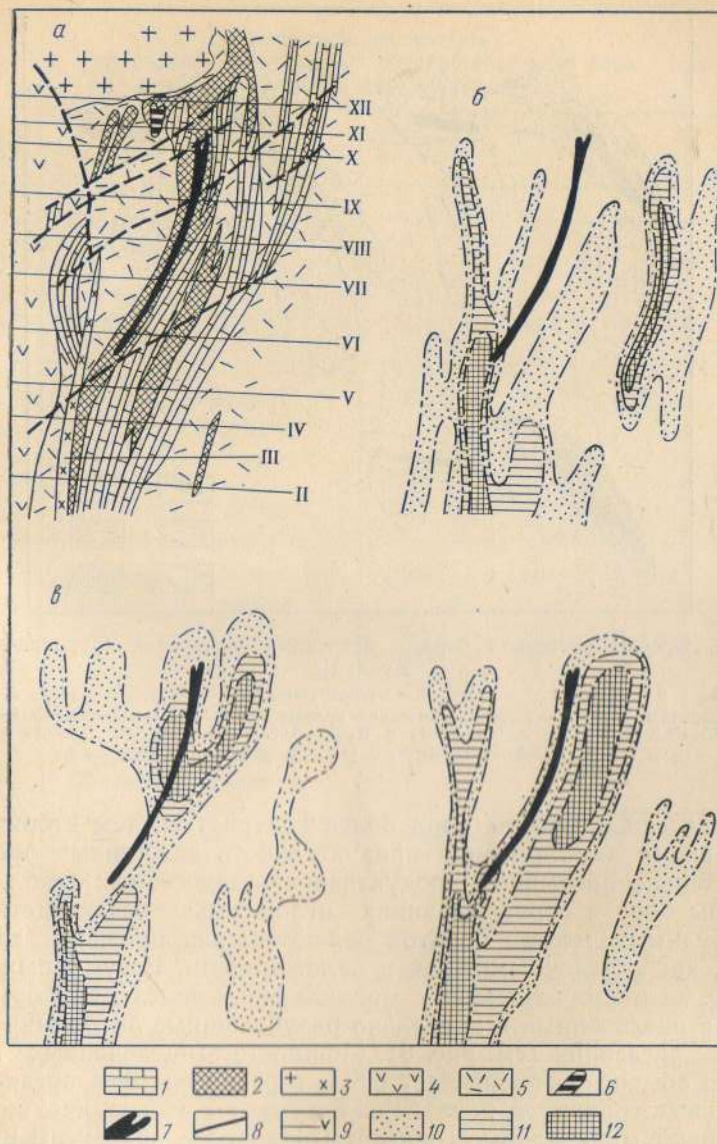


Рис. 7. Ореолы рассеяния бора в почвах (южный фланг месторождения Сонго)

a — геологическое строение месторождений; *б* — литогеохимические ореолы бора в горизонтах почв (*б* — A_{uf} ; *г* — B_{hFe} ; *з* — BC); 1 — карбонатные породы; 2 — скарны; 3 — гранитоиды; 4 — вулканогенные породы основного состава; 5 — вулканогенные породы кислого состава; 6 — магнетитовые рудные тела; 7 — вулканические нарушения; 8 — профили опробования; 9 — содержания бора, % ($10 - 0,0048 - 0,0063$ в A_{uf} ; $0,0042 - 0,0054$ в B_{hFe} ; $0,0041 - 0,0052$ в BC); 11 — $0,0063 - 0,0078$ в A_{uf} ; $0,0054 - 0,0066$ в B_{hFe} ; $0,0052 - 0,0063$ в BC ; 12 — $> 0,0078$ в A_{uf} ; $> 0,0066$ в B_{hFe} ; $> 0,0063$ в BC .

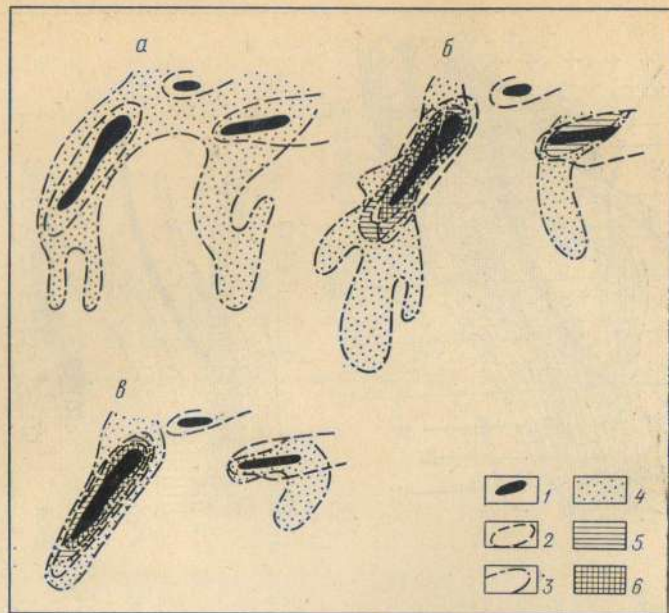


Рис. 8. Ореолы рассеяния бора в почвенных горизонтах (рудопроявление Кундуй):

а — в A_{uf} ; *б* — в B_{hFe} ; *в* — в ВС. 1 — магнетит-людвигитовые рудные тела; 2 — эндогенные ореолы бора; 3 — литогеохимические ореолы бора; 4—6 — содержание бора, %: (4 — 0,0034—0,0042 в A_{uf} ; 0,0030—0,0043 в B_{hFe} ; 0,0031—0,0045 в ВС; 5 — 0,0043—0,0056 в B_{hFe} ; 0,0045—0,0059 в ВС; 6 — >0,0056 в B_{hFe} ; >0,0059 в ВС)

Эндогенные ореолы бора более контрастны, чем вторичные, в то время как линейная продуктивность экзогенных ореолов значительно превышает продуктивность эндогенных (табл. 55). Ореолы бора в перекрывающих отложениях непосредственно над рудными телами боратов являются, как правило, закрытыми, как остаточными, так и наложенными. В гумидных областях на месторождениях с мощной зоной окисления формируются выщелоченные и предельно разубожженные литохимические ореолы рассеяния (см. рис. 8). Мощность выщелоченных горизонтов обычно не превышает 0,5 м (органогенные и органо-минеральные горизонты почв). Реже процессы выщелачивания затрагивают минеральные горизонты. Наиболее надежным развитием вторичных ореолов рассеяния над рудными телами характеризуются нижние почвенные горизонты ВС и зоны окисления (коры выветривания). В вертикальном разрезе выщелоченные и предельно разубожженные ореолы имеют грибообразную форму, расширяясь на уровне развития кор выветривания и нижних горизонтов почв. Менее распространенным типом вторичных ореолов бора на боратовых месторождениях являются остаточные, погребенные, формирующиеся в условиях перекрытий

Таблица 55

**Некоторые параметры
эндогенных и экзогенных ореолов рассеяния бора
на месторождении Забайкалья**

Номер профиля	Опробуемый горизонт	Ширина ореола, м	$\bar{X}_{n \cdot 10^{-1} \%}$	K_a	$L, \text{ м } \%$
II	Коренные породы	230	20	1,3	0,01
	Почвенный горизонт:				
	О	255	53	0,7	0,6
	В	240	58	0,9	0,7
V	BC	225	60	0,7	0,6
	Коренные породы	372	84	1,1	0,3
	Почвенный горизонт:				
	О	215	48	0,6	0,4
	В	220	49	0,5	0,6
VII	BC	420	51	0,6	0,9
	Коренные породы	512	184	5,9	0,3
	Почвенный горизонт:				
	О	375	36	0,4	0,4
	В	235	60	0,6	0,5
X	BC	260	47	0,5	0,6
	Коренные породы	426	64	1,7	0,4
	Почвенный горизонт:				
	О	380	45	0,5	0,3
	В	280	61	0,8	0,7
	BC	195	53	0,7	0,9

зон окисления боратовых руд мощным чехлом рыхлых делювиальных отложений. Здесь ореолы бора прослеживаются только в корах выветривания. Иногда над боратовыми телами формируются сложные погребенные наложенные ореолы рассеяния бора. Характерной особенностью таких ореолов является отсутствие аномальных концентраций бора в делювиальных отложениях, развитых на глубине 1—2 м. Эти ореолы имеют двухъярусное строение. Верхние горизонты почв по содержанию бора практически не отличаются от геохимического фона, нижние горизонты характеризуются надежным развитием вторичных ореолов. Ниже, на уровне делювиального горизонта, ореол исчезает и появляется вновь в зонах окисления боратовых руд.

В ландшафтах гумидной зоны, характеризующейся господством промывного режима почвенно-грунтовых вод, формируются вторичные солевые ореолы рассеяния бора. Рудные бора-

товые залежи четко фиксируются зонами повышенных содержаний кислоторастворимого бора — 50—70% валового содержания (рис. 9). Ореолы рассеяния, выявляющиеся по данным кислотных вытяжек, по размерам превосходят ореолы, выявленные по общему содержанию бора. Щелочной вытяжкой извлекается до 30—40% валового содержания бора в экзогенных ореолах рассеяния боратовых руд. Ореолы щелочнорасторвимого бора четко фиксируют скарноворудные залежи и пространственно сопоставимы с ореолами валового и кислоторастворимого бора (рис. 10). Доля воднорасторвимых соединений бора в общей солевой составляющей обычно невелика, в среднем несколько процентов. Общая доля подвижных соединений бора во вторичных ореолах боратовых месторождений и рудопроявлений в гумидной зоне составляет 90—100%.

Иная картина наблюдается на месторождениях и рудопроявлениях боратов в субаридной зоне. Здесь солевая составляющая экзогенных ореолов очень невелика 5—10%, причем преобладающая часть приходится также на кислоторастворимые соединения. Однако по миграционной способности бора в почвах аномальные участки практически не отличаются от фоновых, а на некоторых рудопроявлениях боратов миграционная способность бора даже резко понижена в сравнении с геохимическим фоном. Таким образом, месторождения боратов в субаридной зоне сопровождаются вторичными ореолами рассеяния с преобладанием механической составляющей.

На всех месторождениях и рудопроявлениях боратов экзогенные ореолы бора сопровождаются ореолами рассеяния микроэлементов. Экзогенные ореолы наследуют, как правило, качественный элементный состав первичных ореолов и для различных месторождений ассоциации микроэлементов-примесей, образующих положительные ореолы, различны. Однако выявляется ряд элементов, ореолы которых характерны для всех исследованных месторождений и рудопроявлений боратов. Это Cu, Zn, Sn, Bi. На отдельных месторождениях боратов выявлены экзогенные ореолы рассеяния Pb, Mn, Mo, W, Cd, Be, As, Ni, Ag, Ge. На месторождениях и рудопроявлениях боратов в Бурятии и Хабаровском крае в почвах и корах выветривания были зафиксированы локальные (приуроченные непосредственно к рудным телам) контрастные отрицательные аномалии Ti, Cr, V. Применение мультипликативного показателя $1/Ti \cdot Cr$ (в показатель введены два наиболее контрастных элемента) позволило в пределах боратовых ореолов, перекрывающих область скарнированных и гидротермально измененных пород в целом, четко оконтурить непосредственно рудные залежи. Ореолы рассеяния микроэлементов в почвах обычно меньше по размерам по сравнению с ореолами бора, но более контрастны (табл. 56).

На месторождении Забайкалья установлена прямая корреляционная связь между эндогенными и экзогенными ореолами



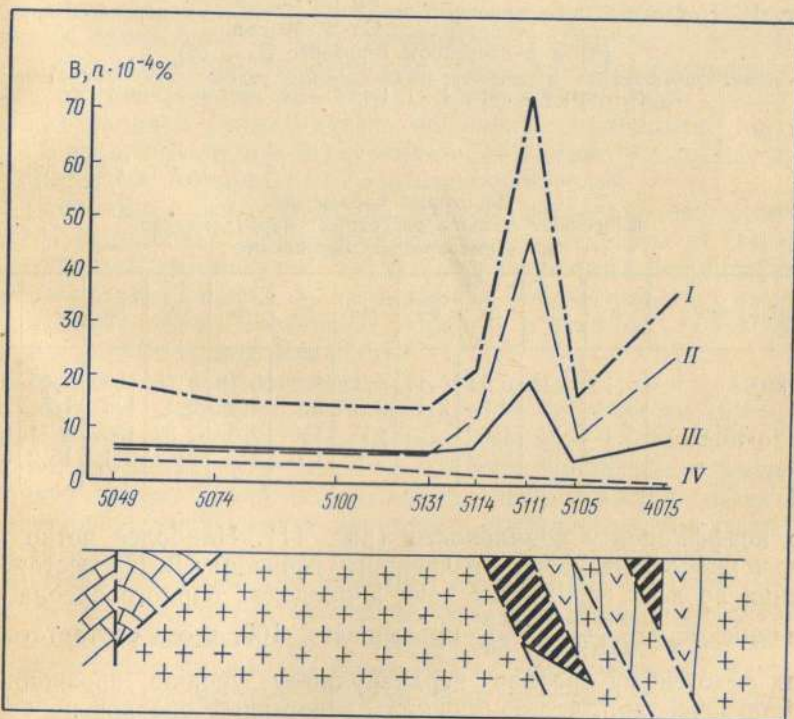
1 — магнетит-людвигитовые рудные тела;
2 — ореолы валового бора; 3 — ореолы кислоторастворимого бора; 4—5 — выходы кислоторастворимой фазы бора (4 — 30—50%; 5 — >50%)

Рис. 9. Геохимическая аномалия кислоторастворимого бора в горизонте почв (B_{4Fe}) на рудопроявлении Кундуй

1 — магнетит-людвигитовые рудные тела;
2 — ореолы валового бора; 3 — ореолы кислоторастворимого бора; 4—5 — выходы кислоторастворимой фазы бора (4 — 30—50%; 5 — >50%)

Рис. 10. Распределение содержаний бора, по профилю через рудное тело (рудопроявление Кундуй)

I — валового; II — кислоторастворимого; III — щелочнорастворимого; IV — водно-растворимого; 1 — известняк; 2 — гранитоиды; 3 — рудное тело; 4 — вулканогенные породы



1 — известняк; 2 — гранитоиды; 3 — рудное тело; 4 — вулканогенные породы

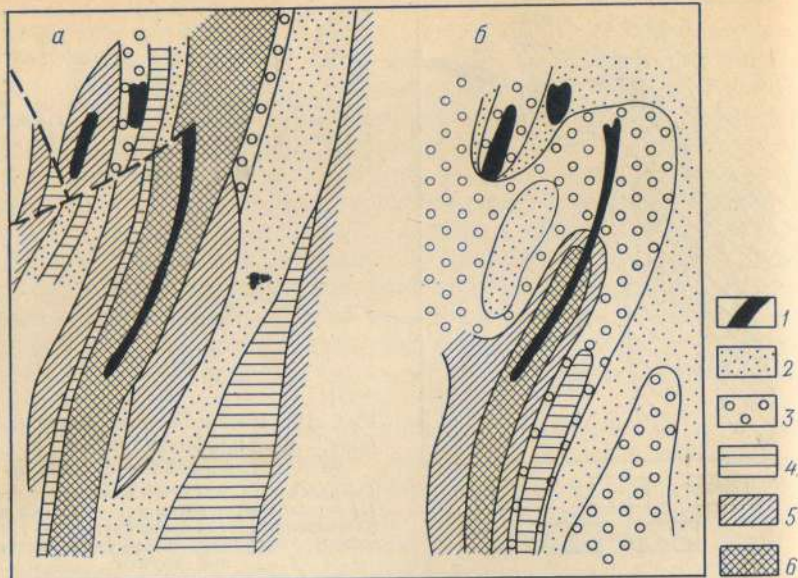


Рис. 11. Показатель зональности $K_3 = \frac{Pb \cdot Ba \cdot Cu \cdot Zn}{Co \cdot W \cdot Mo \cdot Sn}$ в коренных породах
(а) и в почвенном горизонте B_{HFe} (б)

1 — сахант-курчатовидные и людвигит-ссайбеллитовые рудные тела; 2—6 — величины
 K_3 (2 — <1 ; 3 — 1—10; 4 — 1—100; 5 — 100—1000; 6 — >1000)

Таблица 56

Некоторые параметры
экзогенных ореолов рассеяния микроэлементов
на боратовом месторождении

Параметры	B	Cu	Zn	Pb	Mn	Sn	Mo	Co	Ba	Ag	Bi
F, км ²	0,13	0,15	0,11	0,11	0,13	0,08	0,10	0,10	0,09	0,05	0,03
КР	3,8	2,2	2,9	2,1	2,8	2,9	2,0	2,1	1,8	1,6	2,3
\bar{X} , ($n \cdot 10^{-3} \%$)	5,1	12	120	7	200	1,0	2,0	3,5	130	0,11	0,6
K_k	1,5	3,9	27,2	2,1	3,0	1,8	4,7	2,6	2,1	15,2	5,6

по коэффициенту зональности (рис. 11). Наиболее четко эта связь прослеживается по почвенному горизонту B. На месторождении во всех горизонтах почв в пределах борного ореола величина $K_3 = \frac{Pb \cdot Ba \cdot Cu \cdot Zn}{Co \cdot W \cdot Mo \cdot Sn}$ превышает 100, что соответствует

для эндогенных ореолов верхнерудному уровню эрозионного среза. Очевидно, что зональность эндогенных ореолов на боратовых месторождениях унаследуется и в перекрывающих рыхлых отложениях, при этом количественные значения показателя

зональности, выявленные для определения уровня эрозионного среза по первичным ореолам, применимы и для вторичных ореолов.

При выборе представительного горизонта опробования почв при поисках эндогенных месторождений боратов оценочными критериями являются: а) форма и размеры литохимических ореолов; б) контрастность ореолов; в) приуроченность зон максимальных концентраций к рудным телам; г) наличие или отсутствие «ложных» или смешанных ореолов; д) вертикальное строение ореолов; е) сопоставимость значений коэффициента зональности в почвах с коренными породами; ж) производительность отбора проб.

В гумидных районах опробование органогенных горизонтов почв представляется нецелесообразным вследствие сильной расчлененности контуров ореола, слабой контрастности, наличия оторванных, «ложных» аномалий и сильносмешанных ореолов. Опробование гумусовых горизонтов может быть рекомендовано при среднемасштабных поисках боратовых руд в субаридных районах, где ореолы бора в верхних почвенных горизонтах достаточно стабильны. В гумидных районах при среднемасштабных поисках (1 : 50 000) рекомендуется опробование иллювиальных горизонтов В, как достаточно надежных горизонтов развития вторичных ореолов рассеяния при минимальной глубине от поверхности. На этапах крупномасштабных работ в любых районах рекомендуется почвенное опробование нижних горизонтов ВС или кор выветривания как самых надежных уровней развития вторичных литохимических ореолов.

Вторичные литохимические ореолы рассеяния месторождений и рудопроявлений боросиликатов исследованы в таежно-мерзлотных ландшафтах Якутии, южнотаежных немерзлотных ландшафтах (Хакасия), ландшафтах смешанных и широколиственных лесов (Приморье, Кавказ) и степных ландшафтах (предгорья Большого Кавказа).

Экзогенные ореолы на месторождениях и рудопроявлениях датолита и данбурита характеризуются высоким содержанием бора и резкой контрастностью по сравнению с геохимическим фоном (табл. 57). Ореолы бора на боросиликатных рудопроявлениях обычно характеризуются довольно простой формой с последовательной сменой зон низких аномальных концентраций более высокими, которые приурочены непосредственно к рудным телам. Площадные размеры экзогенных ореолов месторождений боросиликатов ограничены, как правило, размерами зон оруденелых скарнов и гидротермально-измененных пород. Значительных смещений, таких как на боратовых объектах, не наблюдается (рис. 12). Максимально прослеженные смещения ореолов от рудных тел вниз по склонам не превышают 100 м.

Ореолы рассеяния бора в различных горизонтах почв на месторождениях данного минерального типа пространственно

Таблица 57

Параметры экзогенных ореолов рассеяния бора в почвах

Рудопроявление (регион)	Минеральный тип борного оруденения	Почечный горизонт	Форма	Параметры		
				размеры	$\bar{X}, \text{ } \mu\text{m}$	K_K
Лесное (Кавказ)	Датолитовый	A ₁	Простая изометрическая	0,024	16	2,4
		B _m	" "	—	16	2,5
		BC	" "	0,038	18	3,2
Степное (Кавказ)	Датолитовый	A _{II}	Простая вытянутая	—	38	6,3
		BCaCO ₃	" "	0,08; 0,05	—	—
		BCCaCO ₃	" "	0,10; 0,05	52	7,8
Хакасия	Датолитовый и данбури- товый	BC	—	0,11; 0,05	43	8,6
		—	—	—	130	65,0
		A ₁	Простая вытянутая	0,11	413	3,3
Ключ Большничный (При- морский край)	Датолитовый	B _m	" "	0,56; 0,2 0,077	608	8,4
		BC	" "	0,5; 0,2 0,080	891	55,7
		—	—	0,5; 0,2		

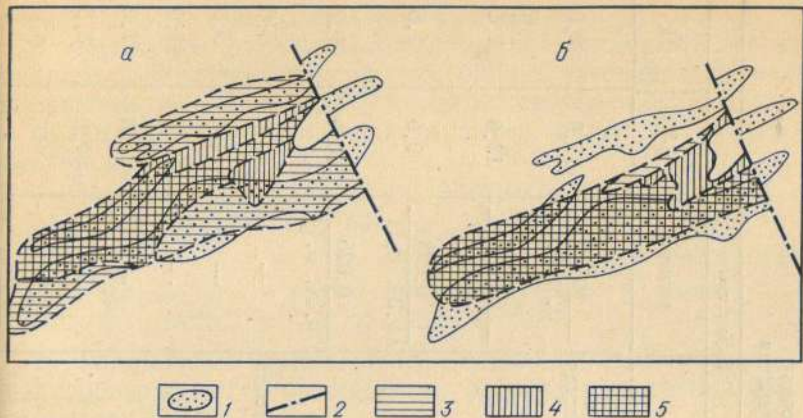


Рис. 12. Ореолы рассеяния бора в почвах (по Ю. Е. Саеву, 1966)

а — ореолы бора в гумусовых горизонтах; *б* — то же в минеральных горизонтах. 1 — датолитсодержащие скарны; 2 — тектонические нарушения; 3—5 — содержание бора, % (3 — 0,023—0,05 в A_{uf} ; 0,013—0,03 в ВС; 4 — 0,05—0,10 в A_{uf} ; 0,03—0,10 в ВС; 5 — >0,10 в A_{uf} и ВС)

хорошо сопоставимы. В нижних почвенных горизонтах они несколько больше отвечают положению рудных залежей, при этом характеризуются более высокой контрастностью.

Интенсивного выщелачивания и разубоживания экзогенных ореолов не происходит. В ореолах преобладает механическая составляющая. Абсолютные содержания подвижных форм нахождения бора в почвах в пределах ореолов, как правило, повышенны по сравнению с геохимическим фоном. Содержание подвижных форм бора в ореолах не превышает 10—15% валового его содержания. Это связано с большей, по сравнению с боратами, устойчивостью кальциевых боросиликатов (датолита и данбурита) к выветриванию.

Экзогенные ореолы бора на месторождениях боросиликатов сопровождаются экзогенными ореолами рассеяния микроэлементов Cu, Be, Pb, Bi, As, Sb, Ge, W, Zn, Cd, Co, Sn, Mn, Cr.

Анализ оценочных критериев для определения представительного горизонта опробования при поисках месторождений боросиликатов позволил выявить гумусовые и грубогумусовые горизонты как представительные при поисках 1 : 50 000 и горизонт ВС как представительный при более детальных работах.

Значительные скопления алюмо-боросиликатов (турмалина и аксинита) исследовались в таежных ландшафтах Горной Шории и ландшафтах смешанных и широколиственных лесов Приморья и Хабаровского края. Экзогенные ореолы рассеяния бора этого минерального типа характеризуются высокой контрастностью (табл. 58), простыми, часто изометрическими формами и резким преобладанием механической составляющей. Содер-

Таблица 58

Параметры экзогенных орсолов рассеяния бора в почвах
на месторождениях и рудопровлениях алюмо-боросиликатов

Рудопровление (регион)	Минеральный тип борного оруденения	Почвенный горизонт	Форма	Параметры		
				$A_0 A_{uf}$	Простая изометрическая	$\bar{X}_{n \cdot 10^{-3}} \%$
Аксинитовое Шория	(Горная Аксинитовый Шория)		$A_0 A_{uf}$	Простая изометрическая	$0,064$	12,0
					$0,8; 0,8$	2,0
Турмалиновое Шория	(Горная Шория)		$A_0 A_{uf}$	Простая вытянутая	$0,064$	13,0
					$0,8; 0,8$	2,1
Сутара край)	(Хабаровский край)	Турмалиновый	$A_0 A$	Простая изометрическая	$0,028$	9,0
					$0,34; 0,11$	1,5
Приморское край)	(Примор- ский край)		$E_p B_m$	Простая изометрическая	$0,025$	10,0
					$0,34; 0,14$	1,7
Приморское край)	(Примор- ский край)		B_C		$—$	10,0
					$—$	5,0
Приморское край)	(Примор- ский край)		$A_0 A$		$—$	16,0
					$—$	5,0
Приморское край)	(Примор- ский край)		B_C		$—$	22,0
					$—$	11,0
Приморское край)	(Примор- ский край)		B_C		$—$	7,0
					$—$	3,5

жение водно- и кислоторастворимых форм бора обычно не превышает 3,0% общего содержания в ореоле.

В ореолах на турмалинизованных зонах наблюдается закономерное уменьшение содержаний бора с уменьшением размера фракций почв. Наиболее высокие содержания бора отмечены во фракциях крупного и среднего песка, наиболее низкие — в иллистой фракции.

фракция, мм	1,0 — 0,5	0,5 — 0,25	0,25 — 0,05	
$\bar{X}, \text{н} \cdot 10^{-3} \%$	165	133	49	
Продолжение				
фракция, мм	0,05 — 0,01	0,01 — 0,001	0,001	
$\bar{X}, \text{н} \cdot 10^{-3} \%$	27	18	11	

Турмалиновое и аксинитовое оруденения или минерализации сопровождаются экзогенными ореолами рассеяния микроэлементов Cu, Pb, Zn, Sn, W.

Из изложенного следует: 1. Борное оруденение любого минерального типа сопровождается вторичными ореолами рассеяния бора и ряда микроэлементов в почвах. 2. Морфология и площадные размеры экзогенных ореолов определяются морфологией и размерами исходных эндогенных ореолов на уровне эрозионной поверхности коренных пород, а также местными ландшафтно-геохимическими особенностями. 3. Ореолы рассеяния в почвах, как правило, наследуют микроэлементный состав эндогенных ореолов, но концентрация элементов в экзогенных ореолах существенно ниже. Несмотря на перераспределение элементов в разрезе рыхлых отложений и почв, которое проявляется в преимущественном накоплении или выщелачивании элементов в том или ином генетическом горизонте, соотношения их концентраций остаются близкими к соотношениям в эндогенных ореолах. 4. Качественные геохимические критерии оценки уровня эрозионного среза борных аномалий, разработанные на основе изучения первичных ореолов, применимы и для вторичных ореолов рассеяния. 5. Вторичные ореолы рассеяния бора на эндогенных месторождениях боратов по своему типу являются преимущественно солевыми, как остаточными, так и наложенными, выщелоченными и предельно разубоженными у дневной поверхности. Месторождения и рудопроявления боросиликатов и алюмо-боросиликатов сопровождаются преимущественно механическими ореолами рассеяния бора. 6. Особенности фазового состава экзогенных ореолов рассеяния бора на месторождениях различного минерального типа могут быть использованы в качестве основы интерпретации аномалий для выявления перспективных, связанных с боратами и боросиликатами, и отбраковки аномалий, связанных с алюмо-боросиликатами, не представляющими промышленного интереса.

БИОГЕОХИМИЧЕСКИЕ ОРЕОЛЫ

Эффективность биогеохимического метода при поисках борного сырья доказана опытными работами ряда исследователей (Буялов, Швыряева, 1955; Кожара, 1964; Хокс, Уэбб, 1964; Черных и др., 1969; Некрасов, 1966; Саэт, 1969 и др.). Ореолы рассеяния бора в растениях установлены на месторождениях и рудопроявлениях различного минерального типа. Самые высокие содержания бора в растениях и наиболее контрастные биогеохимические ореолы обнаружены на рудопроявлениях боросиликатов в Южном Приморье, Якутии, Хакасии и районе Большого Кавказа.

Наиболее интенсивное поглощение бора растениями из боросиликатов (среди других борных минералов) отмечал Е. Грэхем (1957 г.). Высокие содержания бора, существенно превышающие фоновые, на месторождениях боросиликатов установлены в золе всех опробованных растительных видов (табл. 59). Растения, наиболее слабые концентраторы бора (злаки, папоротники, хвоши), содержат в золе 1500—3000 млн⁻¹ бора. Такие содержания в фоновых ландшафтах практически не встречаются даже в видах-концентраторах. Наиболее высокие содержания бора обнаружены в золе древесных растений, наиболее низкие — в золе травянистых растений.

Ореолы рассеяния бора в растениях на месторождениях и рудопроявлениях боросиликатов имеют ограниченные размеры и по площади уступают ореолам рассеяния бора в почвах в среднем в 1,5—2 раза (рис. 13). Наибольшие площадные размеры имеют ореолы рассеяния бора в древесных видах. В травянистых видах растений ореолы локальны.

Ореолы рассеяния бора в растениях, связанные с датолитовым и данбуритовым оруденением, имеют, как правило, довольно простую форму и контролируются размерами скарново-рудных зон. В ореолах бора в древесных видах растений зоны максимальных концентраций (иногда 1—2% бора в золе) обычно совпадают с контурами ореолов высокой интенсивности в почвах и коренных породах на уровне эрозионного среза поверхности. В условиях расчлененного рельефа ореолы бора в растениях иногда смешены по склонам от рудных тел, и пространственная связь с эндогенными ореолами и экзогенными ореолами в почвах не всегда выявляется.

Ореолы рассеяния бора в растениях на месторождениях боросиликатов сопровождаются комплексными ореолами Zn, Cu, Pb, Bi, Ba, Cr, Be, Ag, которые по своим размерам и контрастности ($K_k < 2$) уступают ореолам бора.

Неустойчивый характер поглощения бора растениями выявлен на месторождениях и рудопроявлениях боратов. В ряде

Таблица 59

Средние содержания бора в некоторых видах растений
на месторождениях и рудопроявлениях боросиликатов
и в однотипных ландшафтах геохимического фона \bar{X}_{Φ}

Тип рудопроявления (регион)	Опробуемый вид растения	\bar{X} , $n \cdot 10^{-3} \%$	\bar{X}_{Φ} , $n \cdot 10^{-3} \%$
Датолитовое (Приморье)	Лиственница даурская	680	80
	Дуб монгольский	450	86
	Клен мелколистственный	380	79
	Клен зеленокорый	240	60
	Береза даурская	254	160
	Береза маньчжурская	350	61
	Береза желтая	220	100
	Липа амурская	225	89
	Вишня Максимовича	200	100
	Орех маньчжурский	410	98
	Рододендрон даурский	490	84
	Леспедеца двуцветная	230	65
	Чина приземистая	156	52
	Папоротник Линнея	280	36
	Кочедыжник женский	280	94
	Кочедыжник игольчатый	170	60
То же (Кавказ)	Хвош зимующий	220	18
	Осока горная	32	$<5,0$
	Клен остролистный	233	110
	Бук восточный	288	145
	Дубровник беловойлочный	85	68
	Шалфей мутовчатый	72	51
То же (Якутия)	Лиственница даурская	25,0	$<5,0$
	Береза Миддендорфа	24,0	$<5,0$
	Шиповник иглистый	18,0	$<5,0$
	Брусника	12,0	$<5,0$
Датолит-данбури- товое (Хакасия)	Береза бородавчатая	16,5	$<5,0$
	Львиний зев	6,0	$<5,0$

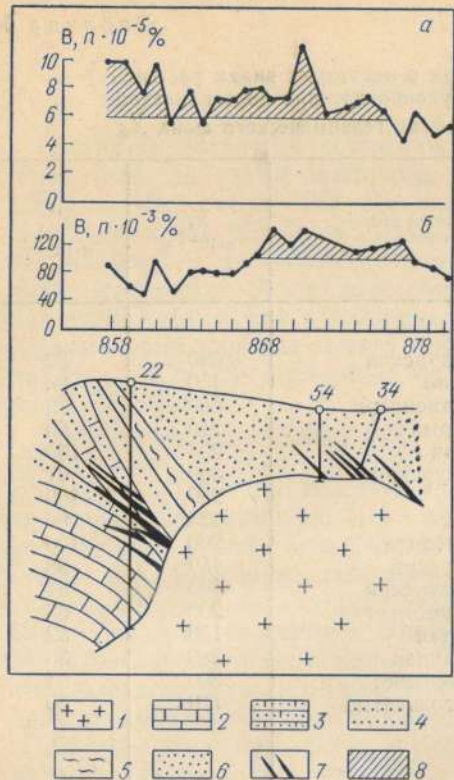


Рис. 13. Распределение содержаний бора в почвах (а) и золе дубровника беловойлочного (б) в одном из датолитовых рудопроявлений (по Н. Я. Игумнову, 1966)

1 — гранит-порфиры; 2 — известняки Стмст; 3 — мергели Pg₁gk₁; 4 — песчаники Pg₁gk₁; 5 — аргиллиты Pg₂²gk₂; 6 — песчаники Pg₁gk₂; 7 — рудное тело; 8 — аномальные содержания кислоторастворимого бора

районов (Южное Приамурье, Малый Хинган, Северный Казахстан, Киргизия) биогеохимические ореолы рассеяния боратовых руд установлены не были. Содержание бора в золе всех изученных растений не превышало фоновых, а в некоторых случаях было существенно ниже. Положительные результаты были получены в основном в таежных районах Западного и Восточного

Забайкалья, Красноярского и Хабаровского краев. Однако и в этих районах процесс формирования положительных биогеохимических ореолов очень сложен, и успех метода во многом зависит от правильности выбора опробуемого растительного вида.

Выявленные биогеохимические ореолы рассеяния бора имеют сложную, расчлененную форму и слабую контрастность (табл. 60). Площадные размеры ореолов значительны и не уступают эндогенным и вторичным литохимическим ореолам (рис. 14). Лишь в редких случаях биогеохимические ореолы по размерам меньше литохимических (рис. 15). На боратовых месторождениях Западного Забайкалья биогеохимические ореолы значительно перекрывают выявленные бороносные зоны и фиксируют в целом зоны скарнов и ороговикованных пород. Зоны максимальных концентраций бора в золе растений совпадают с ореолами высокой интенсивности в почвах и породах (рис. 16). Иногда биогеохимические ореолы рассеяния формируются на безрудных скарнах с повышенным содержанием бора.

Биогеохимические ореолы бора на месторождениях и рудопроявлениях боратов сопровождаются обычно комплексными ореолами рассеяния микроэлементов: Mn, Ba, Sn, Mo, Zn, Cu,

Таблица 60

Параметры биогеохимических ореолов рассеяния бора
на месторождениях и рудопроявлениях боратов

Тип оруденения (регион)	Опробуемый вид растения	Параметры			
		форма	размеры	$\bar{X}, \text{ } \mu \cdot 10^{-3} \text{ %}$	K_K
Ссайбеллит-люд- вигитовое (Ха- баровский край)	Кедровый стла- ник	Простая, вытя- нутая	0,003 0,08; 0,03	75	1,5
Людвигитовое (Хабаровский край)	Ольха кустар- никовая	Изометриче- ская	0,032 0,6; 0,5	70	1,8
	Кедровый стла- ник	Простая, ли- нейная	0,09 0,65; 0,15	210	1,3
Людвигит-ссайбе- ллит-магнетито- вое (Горная Шория)	Пихта сибир- ская	Простая, вытя- нутая	0,012 0,35; 0,15	69	1,2
	Смородина красная	То же	0,007 0,42; 0,18	66	1,3
	Орляк обыкно- венный	Сложная, изо- метрическая	0,04 0,6; 0,3	40	1,3
Магнетит-людви- гитовое (Забай- калье)	Сосна обыкно- венная	Сложная, рас- чененная	0,35 0,88; 0,62	58	1,3
Людвигит-ссайбе- ллитовое и кур- чатовит-саха- тальное (Забай- калье)	Лиственница даурская	Сложная рас- чененная	0,32 1,0	49	1,2

Pb, Co, Ag. Ореолы рассеяния микроэлементов по сравнению с ореолами бора на боратовых месторождениях характеризуются более простой формой, меньшими площадными размерами, большей контрастностью (табл. 61).

Рудопроявления алюмо-боросиликатов (турмалина и акси-
нита) были исследованы в районах Приморского и Хабаровско-

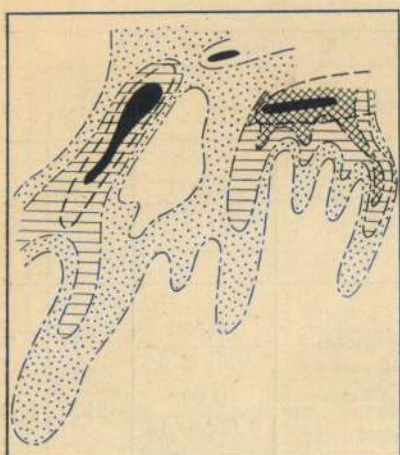


Рис. 14. Ореолы рассеяния бора в зоне сосны обыкновенной

1 — магнетит-людвигитовые рудные тела; 2 — эндогенные ореолы бора; 3 — биогеохимические ореолы бора; 4—6 — содержание бора, % (4 — 0,052—0,065; 5 — 0,065—0,079; 6 — >0,079)

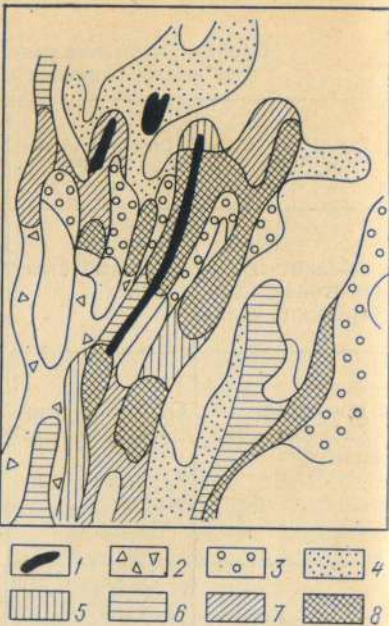


Рис. 15. Совмещенные ореолы рассеяния бора

1 — рудное тело (курчавит-саханитового и людвигит-ссабеллитового состава); 2 — эндогенные ореолы бора ($B_{энд}$); 3 — ореолы бора в горизонте почв B_{hFe} ($B_{лит}$); 4 — ореол бора в зоне лиственницы даурской ($B_{биог}$); 5 — $B_{энд} + B_{лит}$; 6 — $B_{энд} + B_{биог}$; 7 — $B_{лит} + B_{биог}$; 8 — $B_{энд} + B_{лит} + B_{биог}$

го краев, Восточного Забайкалья и Горной Шории. На всех изученных объектах содержание бора в золе растений практически не отличалось от фоновых значений, а в некоторых случаях было даже существенно ниже (табл. 62). Подобное явление уже не раз отмечалось в литературе (Кожара, 1964; Ковалевский, Черных, 1967; Саэт, 1969₁, 1973 и др.).

Отсутствие ореолов рассеяния бора в растениях на месторождениях данного типа минерализации объясняется высокой устойчивостью к выветриванию алюмо-боросиликатов и может быть использовано в качестве интерпретации для выявления генетического типа борного оруденения.

Геоботанические наблюдения проводились параллельно биогеохимическим исследованиям практически на всех участках работ. Обнадеживающие предпосылки для применения геоботанического метода при поисках борных руд были получены в полупустынных и пустынных районах Армении и Юго-Западной

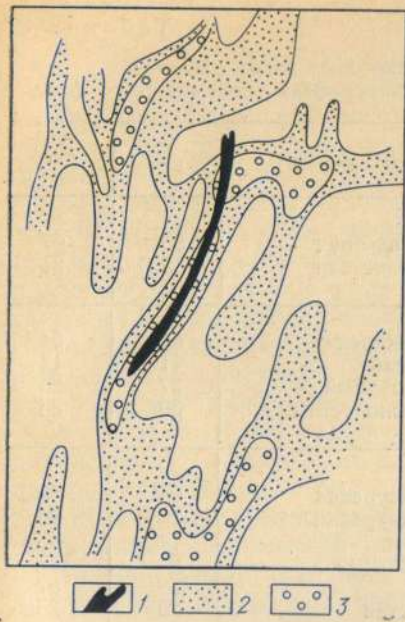


Рис. 16. Ореолы рассеяния бора в зоне лиственницы даурской

1 — рудное тело (курчатовит-сахантового и людвигит-ссайбеллитового состава); 2—3 — содержание бора, % (2 — 0,032—0,044; 3 — >0,044)

Туркмении, где на высокобороносных отложениях отмечались морфологические изменения у целого ряда растительных видов. Возможность применения геоботанической индикации при поисках бора в условиях аридного климата отмечалась в литературе Н. И. Буяловым, А. М. Швыряевой (1955); А. М. Швыряевой (1957); А. М. Швыряевой, Н. С. Малашкиной (1960); Э. К. Буренковым, К. И. Кузиной (1965); К. И. Кузиной (1968). Однако

Таблица 61

Параметры биогеохимических ореолов рассеяния бора и микроэлементов на боратовых месторождениях

Микро-элементы	$\bar{X}, n \cdot 10^{-3} \%$	$F, \text{км}^2$	КР	K_K
В	54	0,33	6,9	1,3
Mn	1224	0,20	4,1	1,7
Cu	111	0,11	3,0	2,2
Zn	160	0,18	2,8	1,3
Pb	11	0,11	3,8	1,4
Sn	3,2	0,08	5,0	1,9
Be	0,3	0,03	2,2	1,6
Co	2	0,19	1,9	1,6
Ba	490	0,17	3,9	1,6
Mo	2	0,15	2,8	1,5
Ag	0,05	0,13	4,8	1,6

геоботанические исследования на месторождениях и рудопроявлениях боратов и боросиликатов в гумидных и субаридных районах положительных результатов не дали. Возможно, это связано с тем, что большая часть исследований проводилась на месторождениях и рудопроявлениях магнезиального типа, а матний,

Таблица 62

Средние содержания бора в некоторых видах растений
на турмалиновых рудопроявлениях и ландшафтах геохимического фона

Рудопроявление (регион)	Опробуемый вид растения	\bar{X} , $n \cdot 10^{-3} \%$	\bar{X}_{Φ} , $n \cdot 10^{-3} \%$
Приморское (Приморье)	Леспедеца двуцветная Полынь низкомолистная	56 5,0	67 21
Сутара и Биракан (Хабаровский край)	Лещина маньчжурская Вейник наземный Орляк обыкновенный Рябинник рябинолистный	56 11 37 39	54 14 26 35
Ново-Широкинское (Забайкалье)	Лиственница даурская Рододендрон даурский Спирея средняя Багульник болотный Брусника Чина приземистая	66 76 74 94 58 29	59 66 66 107 57 25

согласно М. Я. Школьнику (1950), снимает токсичное воздействие бора на растения; возможно, что в условиях гумидного и субаридного климата растения способны выдерживать значительно большие концентрации бора.

Изложенный материал позволяет сделать следующие выводы. 1. Эффективность биогеохимического метода поисков бора определяется минеральным типом руд. Наиболее контрастные и стабильные ореолы выявляются на месторождениях и рудопроявлениях боросиликатов (датолита, данбурита). Менее стабильные ореолы бора характерны для эндогенных месторождений магниевых и магний-кальциевых боратов (людвигита, ссайбелинита). Не формируются биогеохимические ореолы рассеяния бора на месторождениях алюмо-боросиликатов (турмалина, аксинита). 2. Сложность формирования рудных биогеохимических ореолов рассеяния бора и недостаточная их изученность не позволяют рекомендовать биогеохимический метод в качестве прямого поискового метода поисков борного сырья. 3. Биогеохимический метод на данной стадии исследований может быть рекомендован только как интерпретационный, с целью выявления генетического типа борного оруденения. Применение методов геоботанической индикации при поисках борного сырья в ряде гумидных и субаридных районов положительных результатов не дало. Однако метод разработан еще слабо и нуждается в дальнейших исследованиях.

ГИДРОГЕОХИМИЧЕСКИЕ ОРЕОЛЫ

Гидрогеохимический метод весьма широко рекомендуется при поисках рудных месторождений и значительно в меньшей степени разработан для нерудных (в том числе и борных) полезных ископаемых. Наиболее контрастные гидрогеохимические ореолы отмечаются в условиях интенсивного окисления рудных тел и их ореолов. Гидрогеохимические ореолы борных месторождений практически не изучены. Некоторые краткие общие сведения приведены в работе Ю. Е. Саэта и др. (1973), где гидрогеохимический метод поисков рекомендуется применять на первом этапе поисковых работ с целью прогнозной оценки опорно-исследуемой территории.

В плане изучения гидрогеохимических ореолов на месторождениях бора и особенно их динамики во времени и пространстве авторами проведен небольшой объем работ, недостаточный для обобщающих выводов и рекомендаций по применению гидрогеохимического метода при поисках борных месторождений, но дающий представление о некоторых особенностях развития ореолов бора в водах. Гидрогеохимические ореолы изучались в поверхностных водах только на месторождениях и рудопроявлениях бора известково- и магнезиально-скарнового типов, геологическое строение которых приведено выше. К сожалению, не изучены минеральные воды, воды аридных районов с борным соленакоплением, представляющих самостоятельный раздел гидрогеохимических поисков. Гидрогеохимическое опробование проводилось по водотокам IV и более высоких порядков.

Гидрогеохимические аномалии сопровождают лишь месторождения и рудопроявления боратов и боросиликатов. Повышение содержаний бора в водах, промывающих турмалинизованные или аксинитизированные породы, нехарактерно, хотя, как установлено в единичных случаях, не исключено. Механизм возникновения аномальных содержаний на участках развития алюмо-боро-силикатной минерализации не выяснен.

Чезимское рудопроявление. Территория рудопроявления характеризуется значительной расчлененностью рельефа. Долины мелких рек и ручьев обычно глубоко врезаны и слабо развиты. Слоны непосредственно переходят в русло. Мелкие боратовые рудные тела расположены вблизи водотоков (5—10 м) или непосредственно дренируются ими. Всего на месторождении четыре водотока, впадающих в ручей более низкого порядка. За фоновые значения содержаний бора в водах условно принято 20 мкг/л и ниже.

Во всех водотоках установлены аномальные содержания, образующие гидрогеохимический ореол, протяженность которого 1,0—1,2 км. Выше рудных тел по водотоку аномальные содержания бора не установлены. Гидрогеохимический ореол бо-

ра имеет прерывный характер, скорее всего из-за малого дебита водотоков. По ручью, дрениирующему площадь рудопоявления в средней и приусտевой частях, аномальные содержания бора установлены более чем в 70% проб. Помимо бора, в водах ручья установлены аномальные содержания Pb, Cu, Zn, Ag, Sn, Ni, Mo, Ti, Mn, а в его притоках круг элементов сокращается до трех (Pb, Cu, Zn). Однако следует отметить, что состав перечисленных элементов, как показали режимные наблюдения, непостоянен.

Режимные наблюдения проведены на рудопоявлении в течение двух лет, систематически (ежемесячно) в течение лета. Во всех случаях гидрохимический ореол бора был проявлен достаточно четко, но его характеристики (размер, контрастность содержаний и т. д.) варьировали в значительных пределах в зависимости от ряда факторов. Прежде всего следует отметить различный уровень фона в разные годы: в целом в более дождливый год он возрос почти в 1,5 раза. В то же время трехкратное опробование на протяжении одного сезона (опробование проводилось в межень) показало стабильность средних содержаний по водотоку. Для вод с аномального участка характерно повышение содержаний бора (в 1,5—2 раза) в осенние месяцы по сравнению с летними.

На участке развития гидрохимического ореола опробованием, проведенным в последождевой (длительный) период, установлено значительное повышение содержаний бора и большинства микроэлементов в водах, что, по-видимому, связано с резким возрастанием агрессивности вод. Этому периоду соответствуют максимальные размеры ореола и наиболее высокие содержания бора. Ореол бора имеет сплошной характер. Результаты опробования в межень свидетельствуют о сокращении размеров ореола и слабой контрастности аномалий. Единичные данные многократного опробования после дождей также подтверждают описанную закономерность. Наряду с этим по данным общесолового анализа вод, опробованных в паводок, установлено снижение в них содержаний основных компонентов (Ca^{2+} , Mg^{2+} , HCO_3^{2-} , SO_4^{2-}), т. е. происходит разбавление поверхностных вод атмосферными осадками. При этом реакция среды смещается в сторону снижения щелочности.

Таким образом, при гидрохимических поисках борных месторождений совершенно необходимо учитывать время (часть года и период — паводок, межень) проведения работ. Использование фоновых выборок вряд ли можно считать целесообразным. Результаты опробования следует рассматривать в относительных величинах, так как абсолютные содержания могут оказаться для разных водотоков несравнимыми из-за перечисленных выше причин.

Ильмовское рудопоявление. Ильмовское рудопоявление расположено на водоразделе двух рек. Долины рек слабо раз-

виты, глубина 20—50 м, заболочены. Борта задернованы и покрыты кедрово-широколиственным лесом.

В поверхностных водах выявлен слабый ореол бора длиной 400 м. За фоновые содержания бора условно принято 10 мкг/л. Содержания бора в ореоле достигают 25—30 мкг/л, в среднем составляя 15—25 мкг/л. Максимальные содержания приходятся на начало ореола, который появляется в непосредственной близости от рудного тела. Ореол сплошной, падение концентраций равномерное и составляет 5 мкг/л на 100 м (шаг опробования). Аномальные концентрации помимо бора установлены лишь для Mo и Ag.

Месторождение в Забайкалье. Район месторождения характеризуется низкогорным денудационно-аккумулятивным слаборасчлененным рельефом с относительными превышениями 150—300 м. Форма водоразделов округлая, плосковершинная. Слоны пологие, крутизна 3—10°, изредка до 15°. Район характеризуется сплошной мерзлотой, с которой связана заболоченность пологих склонов.

Месторождение дренируется двумя ручьями. Направление водотоков перпендикулярно к основному простирианию скарноворудной зоны. Оба водотока постоянны, но участками перекрываются курумами, дебит их составляет соответственно 2—10 и 5—30 л/с. Месторождение дренируется верховьями водотоков, которые опробованы по всей длине. За фоновое содержание бора принято условно 10 мкг/л, рассчитанное на фоновых участках этого же региона, т. е. на участках, где ручьи дренируют горные породы с фоновыми содержаниями бора. Выявлены ореолы рассеяния бора в воде. Распределение его характеризуется неравномерностью и колеблется от 20 до 100 мкг/л. Максимальные содержания приурочены к участкам дренирования непосредственно месторождения. За его пределами, ниже по ручьям, содержания постепенно снижаются. В заболоченных устьевых участках ручьев содержание бора возрастает. В целом ореолы рассеяния бора в водах четко фиксируют сам объект максимумами содержаний; оптимальное «растекание» ореолов за площадью месторождения достигает 2,5—3 км.

Ореолы бора сопровождаются аномальными содержаниями суммы металлов (медь+свинец+цинк) до 20 мкг/л (условный фон <5 мкг/л); фтора 0,3—0,5 мг/л (условный фон <0,2 мг/л). Повышенные содержания иона SO_4^{2-} (20 мг/л) установлены только в пробах непосредственно плоскости месторождения (условный фон <3 мг/л).

Месторождение в Приморье. Ландшафты месторождения представляют крутосклонный резкорасчлененный среднегорный рельеф с V-образными долинами. Изучалась юго-западная часть рудного поля, которая дренируется двумя долинами ключей. В водораздельной части этих ключей, изрезанной многочисленными их притоками, расположены скарны с датолитом.

Ручьи дренируют скарноворудную зону перпендикулярно к ее основному простианию. Снос с большей части рудной зоны направлен в долину притоков одного из ключей, а сама рудная зона — самим ключом. Водотоки непостоянные, протяженность их составляет 400—450 м, дебит 8—10 л/с, в паводок до 30 л/с. Ручей имеет протяженность 1,5—2 км, дебит 8—10 л/с, в паводок до 30—50 л/с. Аномалии бора в виде локальных 300-метровых зон установлены по водотокам, дренирующим непосредственно скарноворудную зону. По материалам Ю. Е. Саэта, содержания бора в водах составляют 3—2,5 мг/л (условный фон по району принят $\leq 0,05$ мг/л). Менее контрастные аномальные содержания бора от 1 до 2,5 мг/л фиксируют также на 200 м выше по водотокам околоврудное пространство. Аномальные содержания бора в водах сопровождаются аномальными количествами его в донных осадках — от 0,3 до 0,86% (на фоновых участках 0,005%), а также повышенными содержаниями меди, мышьяка, цинка, ванадия, висмута, определенных в водах методом соосаждения сульфатом алюминия.

В целом, небольшой приведенный материал по опробованию водотоков в районах наличия месторождений и рудопроявлений четырех различных минеральных типов борных руд (магнетит-людвигитового, магнетит-людвигит-ссайбелиитового; курчатовит-сахаитового; данбурит-датолитового) однозначно показывает, что в водах формируются достаточно контрастные ореолы рассеяния бора, количество которого по сравнению с условными фонами повышенено в два раза, иногда до целого порядка. Длина ореолов рассеяния зависит от контрастности ландшафтных условий. Аномальные содержания бора в водах сопровождаются повышением содержаний ряда элементов в водах и донных осадках. Комплекс этих элементов, вероятно, определяется в зависимости от металлического оруденения, сопровождающего борные руды. Таким образом, представляется целесообразным рекомендовать применение гидрохимического метода при прогнозно-оценочных поисковых работах на эндогенные борные месторождения на стадии поисков для выделения потенциально перспективных площадей.

Часть IV

МЕТОДИКА ГЕОХИМИЧЕСКИХ ПОИСКОВ ЭНДОГЕННЫХ МЕСТОРОЖДЕНИЙ БОРА

Решение задач прогнозирования и поисков эндогенных (другие типы месторождений не рассматриваются) месторождений бора определяется надежностью разработанных поисковых критериев. Исходя из этого, выбираются методы или рациональный комплекс поисковых методов, определяется последовательность (этапность), масштаб проводимых работ, а также круг решаемых задач, соответствующих каждому этапу.

Глава I

ГЕОХИМИЧЕСКИЕ КРИТЕРИИ ПОИСКОВ ЭНДОГЕННЫХ БОРНЫХ МЕСТОРОЖДЕНИЙ

Геологические критерии поисков и прогнозирования эндогенных месторождений бора позволяют выделять только значительные площади, крупные районы как потенциально перспективные с точки зрения их бороносности. Разработанные и предлагаемые геохимические критерии поисков предполагают возможность локализации этих площадей вплоть до выявления рудоносных зон с борной минерализацией, а предлагаемые методы интерпретации геохимических аномалий позволяют оценить возможный тип борного оруденения.

Геологические предпосылки и закономерности размещения эндогенных месторождений бора рассматривались рядом исследователей (Шабынин, Перцев, Малинко, 1964; Лисицын, Малинко, Орлова, 1966; Шабынин, 1974). Для месторождений бора известковоскарновой формации выделяются следующие основные критерии: а) приуроченность крупных промышленных месторождений к зонам мезозойской складчатости; б) наличие известковых карбонатных и известково-силикатных пород в непосредственной близости или в некотором удалении от гранитоидных интрузивов; в) образование скарнов и скарноидов в условиях гипабиссальной фации глубинности; г) инфильтрационный тип скарнового метасоматизма; д) подчеркивается генетическая связь промышленного борного оруденения со скарнообразованием, тем самым определяется, что все благоприятные условия для формирования скарноворудных месторождений в целом характерны и для скарнов с рудами бора. Для месторождений магнезиальноскарновой формации основные кри-

терии следующие: а) приуроченность наиболее крупных промышленных месторождений к докембрийским комплексам кристаллических щитов, а более мелких — к складчатым зонам более молодого возраста вплоть до альпийского; б) наличие магнезиальных карбонатных пород (доломитов, магнезитов, доломитсодержащих известняков) в сочетании с разновозрастными интрузивными породами (гранитами, гранодиоритами, диоритами, реже — сиенитами, еще реже — габбро и габбро-пироксенитами) абиссальной и гипабиссальной фаций; в) наличие магнезиальных скарнов магматического и постмагматического этапов и гидротермального метасоматизма.

Для выявления геохимических критериев поисков эндогенных месторождений бора рассматривается ряд геохимических факторов, влияние которых на формирование месторождений считалось рядом исследователей существенным: а) распределение бора в осадочных, осадочно-вулканогенных, вулканогенных породах; б) влияние процессов метаморфизма на локализацию бора и в связи с этим возможное формирование его промышленных концентраций; в) геохимическая специализация интрузивных комплексов.

Нашиими материалами установлено, что при всех существующих геохимических особенностях распределения бора в осадочных, осадочно-вулканогенных, вулканогенных породах, существенных изменений содержаний бора и накоплений его в сколько-нибудь значительных количествах в соответствующих им метаморфизованных разностях не происходит. В метаморфических породах сохраняются тенденции распределения бора в соответствующих рядах первичных пород: карбонатные породы (увеличение в доломитах по отношению к известнякам); терригенные породы (увеличение в сторону слюдистых, гидрослюдистых, хлоритовых сланцевых пород и т. д.). При образовании контактовых роговиков происходит некоторое уменьшение содержаний бора по сравнению с исходными породами. Даже в новообразованных породах, таких, как роговики, скарноиды, скарны, вне зон наложения бороносных гидротермальных процессов, содержания бора соответствуют содержаниям в первичных породах. Содержания бора резко возрастают (в 100—1000 раз и более) в определенных зонах скарнов в участках проявления бороврудных гидротермальных процессов. Минералы возникающих в это время минеральных ассоциаций часто содержат повышенные содержания бора в виде изоморфных примесей (например, везувианы, гранаты, эпидоты, амфиболы, пироксены, слюды, кальциты, серпентины и др.). Материал показывает, что содержания бора в породах, начиная от десятых долей процентов (за исключением везувиановых скарнов с содержанием бора до 0,5%), соответствуют наличию собственно минералов бора. Использования геохимических признаков в связи с геохимической специализацией интрузив-

ных комплексов в настоящее время однозначно определить не представляется возможным из-за нестабильности проявления этих признаков в интрузивных массивах, с которыми пространственно и генетически связаны месторождения эндогенного бора. Известные случаи, по-видимому, объясняются в основном не обогащенностью бором магмы, а площадным послемагматическим изменением интрузивных пород (сериизацией плагиоклазов, турмалинизацией, грязенизацией и др.). Вероятно, повышенные содержания бора в интрузивных породах могут использоваться лишь как положительный критерий, причем преимущественно в закрытых районах (более широко распространенные интрузивные породы обнаружены чаще, чем скарновые зоны) или в районах со скарновыми зонами, не выходящими на поверхность.

Основными геохимическими критериями являются: 1. Наличие эндогенных и сопряженных с ними экзогенных ореолов бора. Все промышленные типы эндогенных месторождений бора имеют достаточно контрастные ореолы. Они сопровождаются комплексными аномалиями микроэлементов, ассоциации которых, вероятно, зависят от состава полиминеральной минерализации, сопутствующей рудам бора. По комплексу микроэлементов, образующих положительные ореолы, возможно определить формационный тип оруденения. 2. Все минеральные типы эндогенных месторождений бора обладают зональным строением эндогенных ореолов микроэлементов и бора относительно интрузивного и скарноворудного контакта в зонально построенных скарновых месторождениях. 3. Показателями коэффициентов зональности наиболее полно и четко характеризуются уровни эрозионных срезов месторождений, что позволяет надежно использовать эти коэффициенты для оценки перспектив аномалий. 4. Все минеральные типы борного оруденения сопровождаются литогеохимическими аномалиями бора и комплексом микроэлементов, состав которых близок составу эндогенных ореолов. Морфология, площадные размеры, контрастность, тип и строение близки таковым для эндогенных ореолов, но в значительной мере зависят от местных ландшафтно-геохимических условий. 5. Высокая контрастность и большие площадные размеры аномалий бора в почвах не являются определенными критериями промышленного оруденения, так как в условиях интенсивного выветривания могут формироваться предельно разубоженные ореолы малой площади. В литогеохимических ореолах микроэлементы образуют положительные ореолы более контрастные, но меньшие по размерам, чем ореолы бора. 6. Биогеохимические аномалии бора и микроэлементов являются определенным положительным критерием интерпретации экзогенных ореолов боратовых и боросиликатовых типов эндогенного оруденения. 7. Надежным интерпретационным методом боратовых типов руд является метод солянокислых вытяжек.

Извлечение кислоторастворимого бора в вытяжку более 50% валового количества характерно для литогеохимических ореолов боратового типа минерализации. 8. Боратовые и боросиликатовые типы месторождений образуют гидрохимические ореолы рассеяния достаточной контрастности и протяженности и могут использоваться при оценке перспектив на указанные типы минерализации и выделения площадей для постановки ландшафтно-геохимических работ.

Глава 2

МЕТОДИКА ГЕОХИМИЧЕСКИХ РАБОТ

Методика проведения геохимических работ, их последовательность, роль отдельных методов на каждом из трех этапов специализированных работ на бор и обоснование последних приведены Ю. Е. Саитом и др. (1973). В целом авторы придерживаются этих взглядов, однако считают, что ведущая роль, особенно на заключительном этапе поисковых работ, заключающемся в оконтуривании, интерпретации и оценке геохимических аномалий, признаков бороносных зон и отдельных рудных тел, должна принадлежать изучению эндогенных ореолов бора и микроэлементов-индикаторов борного оруденения. Комплексные эндогенные ореолы являются наиболее надежным геохимическим критерием поисков и интерпретации борных месторождений. Данные по их размерам, составу и т. д. позволяют уверенно выявлять бороносные зоны и рудные тела, оценивать перспективы (уровень эрозионного среза) выявленного оруденения, глубину залегания рудных тел и т. д. Соответственно основные задачи геохимических поисков сводятся к выявлению потенциально перспективных площадей, обнаружению в их пределах геохимических аномалий, их оконтуриванию и интерпретации (определение формационной принадлежности и генетического типа; оценка уровня эрозионного среза; выяснение условий залегания оруденения и, если это представляется возможным,— определение масштаба оруденения).

Проведение работ в открытых, полузакрытых и закрытых районах (по С. В. Григоряну, 1974 г.) имеет свою специфику, главным образом заключающуюся в ведущей роли тех или иных геохимических методов поисков, описание и методика проведения которых подробно изложены в многочисленных работах. Ниже остановимся на возможностях их проведения применительно к поискам борных месторождений.

Как отмечалось выше, работы рекомендуется проводить условно в три этапа, что не исключает их взаимного перекрытия во времени и сокращения первого этапа при работах на площадях с хорошо изученным геологическим строением или известными проявлениями борной минерализации. На первом этапе

выявляются потенциально перспективные бороносные площади и выделяются участки для постановки площадных геохимических поисков (1 : 50 000 и 1 : 25 000 масштабов в зависимости от сложности геологического строения). Работы заключаются в просмотре и обработке фонового и литературного геологического материала, включая результаты шлиховых, металлометрических и геофизических поисков, и проведении геологических и гидрогеологических маршрутов, сопровождающихся опробованием поверхностных вод (водотоков IV и более высоких порядков), интрузивных массивов и пород с признаками рудной минерализации (скарнирования и т. д.). Во втором этапе выявляются и оконтуриваются геохимические аномалии в процессе площадных геохимических поисков (1 : 50 000, 1 : 25 000 масштабов) по первичным или вторичным ореолам рассеяния, выбираемым в зависимости от степени обнаженности района. Работы третьего этапа проводятся в масштабах 1 : 10 000 и 1 : 5 000 в пределах геохимических аномалий, выявленных предыдущими работами, и заключаются в оконтуривании, интерпретации и оценке геохимических аномалий. В результате даются рекомендации по вскрытию предполагаемого оруденения. Наряду с площадными детальными поисками по первичным и вторичным ореолам рассеяния опробуются имеющиеся горные выработки и керн буровых скважин.

Методика полевых работ. Методика геохимических работ (и особенно геохимического опробования, обработки проб и документация) в основном соответствует общепринятой и рекомендуемой Инструкцией (1965).

Основным видом полевых работ для прогнозной оценки площадей является гидрогеохимическое опробование всех постоянно и временно действующих водотоков IV и более высокого порядков. В водотоках с большим дебитом опробуются мочажины в бортах склонов. Шаг опробования 200—250 м. Параллельно отбирается материал донного осадка из наиболее тонкой илистой части. Объем геохимической пробы 1 л. Экспресс-методы анализа и возможность получения результатов в процессе прогнозно-оценочных работ дают возможность быстро, в течение одного полевого сезона, оценить значительные площади. Геологические поисковые маршруты проводятся с целью интерпретации результатов гидрогеохимического опробования, осмотра зон контактов интрузивных массивов со стратифицированными толщами, выбора площадей для выбора фонов. Наблюдения ведутся по маршрутам. Минерализованные участки опробуются методом пунктирной борозды. Длина пробы определяется мощностью минерализованной зоны и границами изменения пород, но не превышая 10 м. Площадные литогеохимические поиски по первичным и вторичным ореолам рассеяния проводятся по сеткам 500×50 (масштаб 1 : 50 000) и 100×20 м (масштаб 1 : 10 000), ориентируемым вкrest основного направления рудо-

контролирующих структур. Учитывая линейно-вытянутую форму (вниз по склону) и значительные, относительно большинства элементов, размеры ореолов бора рекомендуется при поисках в масштабе 1 : 50 000 располагать профили вдоль склонов при том же расстоянии между ними. Густота сети опробования в этом случае не меняется, но возрастает вероятность подсечения ореола большим числом точек.

Опробование пород в коренном залегании в методических целях на эталонных объектах, а также поверхностных горных выработок и керна буровых скважин ведется методом пунктирной борозды. Длина пробы по вмещающим метасоматически непрерывованным породам в среднем составляет 10 м и определяется постоянством петрографического состава опробуемых пород. По гидротермально-измененным породам, скарнам и рудам длина проб может быть меньше и определяется минеральным составом и частотой перемежаемости различного рода метасоматитов. В пробу отбирается только петрографически однородный материал. Масса пробы 250—350 г. Разрезы выбираются с максимальной возможностью подсечения рудных залежей на разных гипсометрических уровнях. Расположение ландшафтно-геохимических профилей едино с эндогенными разрезами, что дает возможность изучить во взаимосвязи поведение элементов в системе: эндогенный ореол → кора выветривания → почва → растение.

В комплекс полевых работ по вторичным ореолам рассеяния входят: рекогносцировочные обследования, литохимическое и биогеохимическое опробование, обработка проб. Рекогносцировочные обследования предшествуют всем видам работ и состоят из ознакомления с геоморфологией участков работ, растительными ассоциациями и другими компонентами ландшафта. В точке наблюдения (шурф, копуша) ведется описание рельефа (экспозиция склона, угол наклона поверхности, формы микрорельефа), проводятся геobotанические наблюдения (определяется состав растительности и его обилие, для древесных видов указывается ярусность, высота и сомкнутость крон). Документация почвенных разрезов проводится по общепринятой в почвоведении схеме с указанием для каждого горизонта цвета, структуры, механического состава, влажности, плотности.

Фоновый материал отбирается на участках, удаленных от рудных месторождений, по профилям, совмещенным с местами отбора фонового материала по коренным породам.

Литохимическое опробование при проведении опытно-методических работ проводится из всех генетических горизонтов почв и рыхлых отложений с целью выявления представительного горизонта опробования и закономерностей распределения бора и микроэлементов в системе: порода → рыхлые отложения → почва. При опытно-производственных работах опробуется только представительный горизонт.

Биогеохимическое опробование ведется параллельно с литохимическим. Опробование следует вести по одному-двум видам древесных растений-доминантов.

Обработка проб проводится согласно «Инструкции по геохимическим методам поисков рудных месторождений» (1965 г.).

Методика камеральных работ. Камеральные работы проводятся по всем видам полевых работ и заключаются: а) в изучении фонового распределения элементов в породах, почвах, растениях; б) в выделении эндогенных и экзогенных ореолов и их оконтуривании; в) в интерпретации аномалий; г) в статистической обработке геохимического материала.

Параметры фонового распределения рассчитываются для основных типов пород. Когда трудно определить фоновые участки, можно рекомендовать другие методы, предложенные С. В. Григоряном и др. (1965 г.), или методы Т. С. Фергисона. Расчеты производятся согласно «Инструкции по геохимическим методам поисков рудных месторождений» (1965 г.) с определением C_{ϕ} , C_{a_1} (минимально-аномальное содержание) с вероятностью 84,1%; C_{a_2} 97,7%; C_{a_3} 99,9%. Для элементов с недостаточной чувствительностью анализа при построении ореолов применяются значения, равные половине чувствительности.

По вторичным ореолам рассеяния определяются величины местного литохимического и биогеохимического фона для ландшафтов различных классов и вероятных аномальных содержаний микроэлементов в различных генетических горизонтах почв и золе растений. Обработка результатов производится раздельно для кислого (H^+ класс) и переходного ($H^+ - Ca^{2+}$ класс) ландшафтов.

Выделение эндогенных ореолов на планах поверхности и разрезах по скважинам проводится в виде плоскостных полей, оконтуренных по минимально-аномальным содержаниям, согласно трем стандартным уровням вероятности (C_{a_1} , C_{a_2} и C_{a_3}). Выделяются поля в пределах: $C_{\phi} \pm C_{a_1}$; $C_{a_1} - C_{a_2}$; $C_{a_2} - C_{a_3}$ и более C_{a_3} . При построении контуров учитываются морфология рудных тел, контакты скарновых зон, метасоматически преобразованных пород, границы литологически различных пород, форма контакта интрузива, структурные факторы.

Выделение и оконтуривание вторичных ореолов рассеяния (почв, растений, донных осадков) на картах и разрезах проводится идентично эндогенным ореолам. При пороге чувствительности анализа ниже фоновых значений ореолы строятся в изобконцентрациях.

Для характеристики эндогенных ореолов, их качественной и количественной оценки рассчитываются следующие параметры в ореолах: среднее содержание элемента, продуктивность, среднеаномальное содержание; коэффициенты минерализации,

аномальности, контрастности и зональности. Средние содержания элементов определяются как среднеарифметические.

Вторичные ореолы рассеяния характеризуются параметрами: геометрией (формой, площадью, степенью изрезанности), среднеаномальными содержаниями, коэффициентами контрастности и зональности. Для характеристики расчлененности контуров ореолов используется коэффициент Нагеля, показывающий сложность строения ореола в плане: $KP = S/3,54F$, где F — площадь ореола, S — длина его границ. Площади ореолов подсчитываются точечной палеткой. Для геохимической характеристики изученных ландшафтов рассчитывают ряд коэффициентов, общепринятых в геохимии ландшафтов.

СПИСОК ЛИТЕРАТУРЫ

- Александров С. М., Барсуков В. Л., Щербина В. В. Геохимия эндогенного бора. М., Наука, 1968. 183 с.
- Баранов И. Я., Родзянко Н. Г. О связи датолитового оруденения с малыми интрузиями.—Изв. вузов. Геология и разведка, 1963, № 9, с. 15—20.
- Барсуков В. Л. Об изоморфизме бора в силикатах.—Геохимия, 1958, № 7, с. 660—666.
- Барсуков В. Л. О минералах-индикаторах бороносности скарнов.—Геохимия, 1960, № 5, с. 399—404.
- Барсуков В. Л. О металлогенической специализации гранитоидных интрузий.—В кн.: Химия земной коры. Т. II, М., 1964, с. 196—214.
- Барсуков В. Л., Курильчикова Г. Е. О бороносности серпентинитов.—Геохимия, 1957, № 5, с. 312—319.
- Белов Н. В. Кристаллохимические рамки рассмотрения вопросов изоморфного вхождения бора в силикаты.—Геохимия, 1960, № 6, с. 551—556.
- Берлин Л. Е., Перцев Н. Н. Бор. М., Недра, 1961. 51 с. (Требования промышленности к качеству минерального сырья. Вып. 69).
- Беус А. А., Григорян С. В. Геохимические методы поисков и разведки месторождений твердых полезных ископаемых. М., Недра, 1975. 280 с.
- Бобко Е. В., Панова А. В. О поглощении бора в почвах.—Почвоведение, 1940, № 12, с. 34—39.
- Бобко Е. В., Церлинг В. В. О влиянии бора на репродуктивное развитие растений.—Ботан. ж., 1938, т. XXIII, № 1, с. 3—11.
- Будзинский Ю. А. К геохимии галогенов, аммония и бора Приэльбрусья.—Геохимия, 1965, № 6, с. 707—723.
- Буренков Э. К. Бор и другие микроэлементы в осадочных и вулканогенных образованиях миоплиоценца Закавказья. Автореф. канд. дисс. М., 1973. 28 с.
- Буренков Э. К., Зорин А. М. О формах нахождения бора в отложениях миоплиоценца Карталинии.—В кн.: Редкие элементы. Вып. 8. М., 1973, с. 98—103.
- Буренков Э. К., Кузина К. И. О значении поисковой достоверности расщеплений-индикаторов при поисках полезных ископаемых.—Сов. геология, 1965, № 8, с. 89—96.
- Буслова Е. Д. Взаимодействие бора с другими элементами минерального питания растений и значение бора для накопления хлорофилла.—В кн.: Микроэлементы в жизни растений и животных. М., 1952, с. 259—274.
- Буялов Н. И., Швыряева А. М. Геоботанические методы исследований при поисках борного сырья.—В кн.: Геоботанические методы при геологических исследованиях. М., 1955, с. 135—146.
- Валяшко М. Г. Некоторые черты геохимии бора.—В кн.: Химия боратов. Рига, 1953, с. 77—82.
- Варенцов М. И. Геологическое строение западной части Куринской депрессии. М.—Л., Изд-во АН СССР, 1950. 259 с.
- Варлаков А. С. К геохимии бора при метаморфических процессах в связи с диабазами на Байкале.—Геохимия, 1961, № 6, с. 521—525.
- Васильковский Н. П. О схеме возрастного расчленения верхнепалеозойских вулканогенных и интрузивных образований юго-западных отрогов Се-

верного Тянь-Шаня.— Зап. Узб. отд. Всесоюз. минерал. о-ва. 1956, вып. 10, с. 159—168.

Виноградов А. П. Химический элементарный состав организмов моря.— Тр. Биогеохим. лаб., 1935, т. 3, с. 63—278.

Виноградов А. П. Бор в почвах Советского Союза.— Почвоведение, 1947, № 2, с. 82—95.

Виноградов А. П. Геохимия редких и рассеянных элементов в почвах. М., Изд-во АН СССР, 1957. 279 с.

Виноградов А. П. Среднее содержание химических элементов в главных типах изверженных пород земной коры.— Геохимия, 1962, № 7, с. 555—571.

Вировец В. В., Зенин М. Ф. О средних содержаниях бора в осадочных породах Средней Азии.— Тр. Среднеазиатск. науч.-исслед. ин-та геол. и мин. сырья, 1966, вып. 7, с. 48—53.

Власюк П. А. Содержания подвижных форм микроэлементов меди, цинка, бора и кобальта в почвах Украинской ССР.— В кн.: Микроэлементы. Рига, 1955, с. 47—50.

Владавец В. И. Рассеянные элементы в вулканических продуктах.— Тр. Лаб. вулканол., 1958, вып. 13, с. 137—154.

Геохимические методы при поисках эндогенных рудных месторождений. М., изд. ИМГРЭ, 1974. 216 с.

Геология и геохимия центральной части Северного Кавказа/Н. Г. Родзянко, В. И. Джумайло, С. В. Савин и др. Изд-во Ростовск. ун-та, 1971. 204 с.

Гетлинг Р. В., Савинова Е. Н. О распределении бора в породах и скарновых минералах Вадимо-Александровского датолитового месторождения.— Геохимия, 1959, № 1, с. 38—45.

Глазовская М. А. Почвы мира. Кн. I. Изд-во МГУ, 1972. 230 с.

Голов В. И. Бор в почвах Приморья и Приамурья и эффективность его как удобрения.— В кн.: Микроэлементы в почвах Дальнего Востока. Владивосток, 1969, с. 54—65.

Горбов А. Ф. Основы геологической классификации боратов.— Тр. Всесоюз. науч.-исслед. ин-та галургии, 1960, вып. 40, с. 392—446.

Горбов А. Ф. Условия образования и закономерности размещения боратовых месторождений вулканогенно-осадочного типа.— Тр. Всесоюз. науч.-исслед. ин-та галургии, 1960, вып. 40, с. 3—69.

Горшенин А. Д. О возможности использования валовых содержаний бора в интрузивных породах для прогноза и поисков эндогенных месторождений бора.— В кн.: Шестая научная конференция молодых сотрудников ИМГРЭ. М., 1970, с. 55—57.

Граменицкий Е. Н. Анализ парагенезисов флюоборита.— Геология рудных месторождений, 1966, № 1, с. 16—22.

Григорян С. В., Овчинников Л. Н. К вопросу об интерпретации геохимических аномалий.— В кн.: Литохимические поиски рудных месторождений. Алма-Ата, 1972, с. 68—81.

Григорьева Д. В. Содержание бора в почвах и растениях Центральной Якутии.— В кн.: Микроэлементы в биосфере и их применение в сельском хозяйстве и медицине Сибири и Дальнего Востока. Улан-Удэ, 1967, с. 109—114.

Дегенс Э. Т. Геохимия осадочных образований. М., Мир, 1967. 299 с.

Дир У. А., Хаши Р. А., Зусман Дж. Породообразующие минералы. Т. 4. М., Мир, 1966. 482 с.

Дубковский Г. П. О количественной зависимости между агрохимическими свойствами почв и содержанием микроэлементов.— В кн.: Микроэлементы в биосфере и применение их в сельском хозяйстве и медицине Сибири и Дальнего Востока. Улан-Удэ, 1973, с. 98—103.

Дунаев В. А. О распространении бора в некоторых горных породах Урала.—Геохимия, 1959, № 3, с. 273—277.

Егоров А. П. Данные о содержании бора в некоторых метаморфических породах и их гранитизированных разностях в районе Таежного месторождения в Южной Якутии.—Геохимия, 1961, № 9, с. 775—783.

Ежков Ю. Б., Левченко И. В. К геохимии бора в гранитоидах.—Геохимия, 1972, № 9, с. 1053—1062.

Емельяненко А. С. Распределение бора в породах Верхнеудоминского многофазного интрузива.—Геология и геофизика, 1967, № 7, с. 119—121.

Железные руды Южной Якутии/Д. П. Сердюченко, А. В. Глебов, М. И. Каденская и др. М., Изд-во АН СССР, 1960. 520 с.

Заревич И. П. Скары и оруденение в контактах гранитоидов с доломитами некоторых месторождений в Чаткальском и Зеравшанском хребтах.—Автореф. канд. дисс. М., 1966. 22 с.

Зырин Н. Г. Распределение и варьирование содержаний микроэлементов в почвах Русской равнины.—Почвоведение, 1968, № 7, с. 77—87.

Иващевская О. А. Бор в почвах Иркутской области.—Автореф. канд. дисс. М., 1972. 22 с.

Ильин В. Б. К биогеохимии бора в ландшафтах юга Западной Сибири.—В кн.: Докл. снб. почвоведов к VIII Международ. почв. конгр. Новосибирск, 1964, с. 46—57.

Инструкция по геохимическим методам поисков рудных месторождений. М., Недра, 1965.

Кадыров М. Х. О распределении рассеянного бора в вулканогенных породах C_2+C_3 центральной части Кураминского хребта.—Узб. геол. ж., 1968, № 1, с. 43—45.

К геохимии бора в галогенных толщах/М. А. Карасик, В. П. Бобров, Ю. И. Гончаров, М. В. Ванина.—Литология и полезные ископаемые, 1964, № 6, с. 43—56.

Каталымов М. В., Рябова С. И. О содержании подвижного бора в почвах и методика его определения.—Почвоведение, 1958, № 8, с. 53—58.

Ковалевский А. Л., Черных И. Д. Некоторые результаты определения бора в почвах и растениях Сибири.—В кн.: Микроэлементы в биосфере и их применение в сельском хозяйстве и медицине Сибири и Дальнего Востока. Улан-Удэ, 1967, с. 129—135.

Ковалевский В. В., Андрианова Г. А. Микроэлементы в почвах СССР. М., Наука, 1970. 179 с.

Ковда В. А., Якушевская И. В., Тюрюканов А. Н. Микроэлементы в почвах Советского Союза. Изд-во МГУ, 1959. 67 с.

Ковда В. А. Основы учения о почвах. Кн. 2. М., Наука, 1973. 468 с.

Кожара В. Л. Литохимические и биогеохимические поиски в мерзлотных ландшафтах.—Разведка и охрана недр, 1964, № 3, с. 13—19.

Кореневский С. М., Донченко К. Б. Геология и условия формирования калийных месторождений Советского Предкарпатья.—В кн.: Геология месторождений калийных солей. Л., 1963, с. 142—152.

Косалс Я. А., Мазуров М. П. Поведение редких щелочей, бора, фтора и бериллия при становлении Биту-Джидинского гранитного массива.—Геохимия, 1968, № 10, с. 1238—1247.

Кузина К. И. Использование растительности для выявления биогеохимических провинций бора в горных полупустынных и сухостепенных ландшафтах. Автореф. канд. дисс. М., 1968. 15 с.

Кузьмин В. И. О специализации магматических комплексов в отношении бора на примере отдельных районов Красноярского края.—В кн.: Металлогеническая специализация магматических комплексов. М., 1964, с. 198—221.

Курман И. М., Мельнищий В. В. Основные направления поисковых работ на борное сырье.—В кн.: Вопросы геологии и агрономических руд. М., 1956, с. 229—239.

Ландергрен С. О распределении бора в морских глинистых отложениях.—В кн.: Рельеф и геология дна океанов. М., 1964, с. 16—18.

Левинсон А. А., Людвиг Д. К. Рассуждения по поводу бора в глинистых отложениях.—Геохимия, 1967, № 4, с. 491—492.

Лисицын А. Е. О некоторых геохимических особенностях бора в процессе образования известковых скарнов на Урале.—Минеральное сырье, 1963, вып. 7, с. 139—146.

Лисицын А. Е., Малинко С. В., Орлова Е. В. Геологические особенности и поисковые критерии промышленных месторождений бора.—Геология месторождений твердых полезных ископаемых, 1966, вып. 2, с. 1—63.

Лисицын А. Е., Хитров В. Г. Распределение бора в минералах некоторых изверженных и метаморфических пород Среднего Урала по результатам микроспектрального анализа.—Геохимия, № 3, 1963, с. 259—268.

Лукашев К. И., Лукашев В. К. Геохимические поиски элементов в зоне гипергенеза. Минск, Наука и техника, 1967, кн. 1—378 с., кн. 2—298 с.

Лыхин А. Г., Кубышкина Е. В. Повышенные концентрации бора в экзоконтакте интрузии как один из геохимических признаков потенциально рудоносных магматических комплексов.—В кн.: Шестая науч. конф. молодых сотрудников ИМГРЭ. М., 1970, с. 54—55.

Ляхович В. В. Особенности содержания олова и бора в гранитоидах.—Геохимия, 1965, № 1, с. 25—31.

Ляхович В. В. Аксессорные минералы в гранитоидах Советского Союза. М., Наука, 1967. 448 с.

Ляхович В. В. Редкие элементы в породообразующих минералах гранитоидов. М., Недра, 1972. 280 с.

Мазаева М. М. К вопросу о действии бора на растения.—Ботан. ж., 1938, т. 23, № 1, с. 12—22.

Макеев О. В. Общие закономерности распределения микроэлементов в почвах СССР и микроэлементный состав некоторых почв Байкальской Сибири.—В кн.: Микроэлементы в почвах, водах и организмах Восточной Сибири и Дальнего Востока и их роль в жизни растений, животных и человека. Улан-Удэ, 1961, с. 7—38.

Макеев О. В. Биогеохимия и агрохимия микроэлементов в Сибири и на Дальнем Востоке.—В кн.: Микроэлементы в биосфере и применение их в сельском хозяйстве и медицине Сибири и Дальнего Востока. Улан-Удэ, 1967, с. 7—44.

Мак-Лин Э., Волк Г. Значения бора для люцерны и др. сельскохозяйственных культур, выращиваемых на почвах штата Огайо.—В кн.: Микроэлементы. М., 1962, с. 327—335.

Микроэлементы в почвах и лугопастбищных растениях мерзлотных ландшафтов Якутии/А. Д. Егоров, Д. В. Григорьева, Т. Т. Курилюк, Н. Н. Сazonov. Якутск, 1970. 288 с.

Микроэлементы в почвах Камчатки и эффективность их как удобрений/Т. М. Стружкина, И. Б. Тужилина, А. Ф. Скрипченко и др.—В кн.: Микроэлементы в почвах Дальнего Востока. Владивосток, 1969, с. 66—71.

Некоторые вопросы биогеохимии и агрохимии микроэлементов в исследовании ландшафтов Западной Сибири/В. Б. Ильин, А. П. Анникова, В. К. Бахнов и др.—В кн.: Докл. сиб. почвоведов к X Международ. почв. конгр. Новосибирск, 1974, с. 72—82.

Некрасов И. Я. Геохимия олова и редких элементов Верхояно-Чукотской складчатой области. М., Наука, 1966. 379 с.

Несветайлова Н. Г. О геоботаническом методе поисков медных и полиметаллических руд.—Разведка и охрана недр, 1955, № 4, с. 17—20.

Нокколдс С. Р. Геохимические наблюдения. Геохимия некоторых серий изверженных пород. М., Изд-во иностр. лит., 1958. 176 с.

Оборин А. А., Залкинд И. Э. К геохимии бора в гипергенных процессах.—Геохимия, 1964, № 2, с. 148—162.

Обухов А. И. Спектральное определение и почвенно-геохимическое поведение микроэлементов в тропических и субтропических условиях. Авто-реф. канд. дисс., МГУ, 1968. 24 с.

Овчинников Л. Н., Григорян С. В. Закономерности состава строения первичных геохимических ореолов сульфидных месторождений.—В кн.: Науч. основы геохим. методов поисков глубокозалегающих рудных м-ний. Ч. I. Иркутск, 1970, с. 3—36.

Овчинников Л. Н., Григорян С. В., Гармаш А. А. Успехи и проблемы геохимии.—Изв. АН СССР, сер. геол., 1967, № 11.

Озод А. А., Кац Я. Г., Лисицын А. Е. Закономерности размещения месторождений боратов вулканогенно-осадочного типа.—Сов. геология, 1976, № 1, с. 60—64.

Отрощенко В. Д. К геохимии бора и цезия в связи с вулканогенными породами Западного Тянь-Шаня.—Геохимия, 1967, № 8, с. 964—970.

Отрощенко В. Д. К геохимии бора в щелочных породах Тянь-Шаня.—Узб. геол. ж., 1968, № 6, с. 64—67.

Отрощенко В. Д., Зенин М. Ф., Хорват В. А. О распределении рассеянного бора в некоторых горных породах Северного Тянь-Шаня.—Узб. геол. ж., 1965, № 6, с. 18—23.

Палаев Т. Бор в черноземах и серых лесных почвах Северной Болгарии.—Почвоведение, 1958, № 9, с. 116—123.

Перельман А. И. Геохимия элементов в зоне гипергенеза. М., Недра, 1972. 288 с.

Перельман А. И. Геохимия ландшафтов. М., Высшая школа, 1975. 341 с.

Пейве Я. В. Бор и молибден в почвах Латвии.—В кн.: Докл. к VII Международ. конгр. почвоведов. Рига, 1960₁, с. 5—18.

Пейве Я. В. Бор и молибден в почвах Латвии.—Почвоведение, 1960₂, № 9, с. 35—43.

Пейве Я. В. Содержание микроэлементов (В, Си, Мп, Zn, Mo, Co) в почвах СССР и эффективность применения микроудобрений.—В кн.: Докл. сов. почвоведов к VII Международ. конгр. М., 1960₃, с. 83—89.

Поликарпочкин В. В., Поликарпочкина Р. Г. Биогеохимические поиски месторождений полезных ископаемых. М., Недра, 1964. 106 с.

Рабинович И. З. Редкие и рассеянные элементы в почвах Молдавии. Автореф. канд. дисс. Кишинев, 1969. 19 с.

Распределение бора в некоторых комплексах основных и ультраосновных пород Тянь-Шаня/В. Д. Отрощенко, В. В. Вировец, Л. А. Отрощенко, Л. С. Сущинский.—Геохимия, 1969, № 7, с. 899—902.

Руб М. Г., Макеев В. В., Васильева Г. Л. Металлогенические особенности гранитоидов Мяо-Чанского интрузивного комплекса (Хабаровский край).—В кн.: Металлогеническая специализация магматических комплексов. М., 1964, с. 222—245.

Саег Ю. Е. Коэффициент миграционной способности элементов и его применение для интерпретации геохимических аномалий при поисках месторождений бора.—В кн.: Очерки геохимии эндогенных и гипергенных процессов. М., 1966, с. 304—310.

Саэт Ю. Е. Коры выветривания магнетит-боратовых руд и поведение в них бора.— В кн.: Пятая науч. конф. молодых сотрудников ИМГРЭ. М., 1967, с. 16—18.

Саэт Ю. Е. Геохимические основы комплексных поисков бора по вторичным ореолам рассеяния.— Сов. геология, 1969₁, № 2, с. 96—109.

Саэт Ю. Е. Биогенная миграция бора — теоретическая основа биогеохимического метода поисков борных месторождений.— В кн.: Биогеохимические поиски рудных месторождений. Улан-Удэ, 1969₂, с. 204—220.

Саэт Ю. Е., Игумнов Н. Я., Несвижская Н. И. Геохимические поиски эндогенных месторождений бора. М., Наука, 1973. 135 с.

Сердюченко Д. П. Борные осадочно-метаморфические формации.— В кн.: Докл. сов. геол. к VI Международ. конгр. по седиментологии. М., 1960, с. 132—140.

Сердюченко Д. П., Павлов В. А. О генетических и геохимических особенностях борных месторождений.— В кн.: Редкие элементы в породах различных метаморфических фаций. М., 1967, с. 126—189.

Синякова С. Н. Содержание бора в почвах.— Тр. Биогеохим. лаб., 1939, т. 5, с. 151—160.

Скок Дж. Функции бора в растительной клетке.— В кн.: Микроэлементы. М., 1962, с. 295—318.

Соболев В. С. О структуре боратов.— Минерал. сб., № 3, Львов, 1949, с. 228—236.

Содержание микроэлементов в почвах Монгольской Народной Республики/Ц. Батцэрэн, Ж. Гардху, Д. Бадарч, Ж. Посолмаа.— В кн.: Микроэлементы в биосфере и применение их в сельском хозяйстве и медицине Сибири и Дальнего Востока. Улан-Удэ, 1973, с. 94—97.

Ставров О. Д., Хитров В. Г. Бор в породах и пегматитах Восточного Саяна.— Геохимия, 1960, № 5, с. 405—413.

Сывороткин Г. С. О содержании бора в растениях, обладающих млечной системой.— В кн.: Микроэлементы в жизни растений и животных. М., 1952, с. 274—279.

Ткалич С. М. Фитогеохимический метод поисков месторождений полезных ископаемых. Л., Недра, 1970. 173 с.

Хардер Г. Геохимия бора. М., Недра, 1964. 135 с.

Хокс Х. Е., Уэллс Дж. С. Геохимические методы поисков минеральных месторождений. М., Мир, 1964.

Цейтлин С. Г. Содержание бора в различных почвенных горизонтах и растениях.— Тр. Биогеохим. лаб., 1939, т. 5, с. 161—169.

Черных И. Д., Ковалевская О. М., Ковалевский А. Л. К биогеохимическим поискам месторождений бора.— В кн.: Биогеохимические поиски рудных месторождений. Улан-Удэ, 1969, с. 221—233.

Шабынин Л. И. О некоторых особенностях образования рудоносных скарнов в доломитовых контактах.— Геология рудных месторождений, 1961₁, № 1, с. 3—18.

Шабынин Л. И. О контактово-метасоматических месторождениях бора в магнезиальных скарнах.— Геология рудных месторождений, 1961₂, № 3, с. 3—27.

Шабынин Л. И. О магнезиальноскарновой рудной формации.— В кн.: Вопросы генезиса и закономерности размещения эндогенных месторождений. М., 1966, с. 88—101.

Шабынин Л. И. Рудные месторождения в формации магнезиальных скарнов. М., Недра, 1974. 288 с.

Шабынин Л. И., Перцев Н. Н., Малинко С. В. Условия нахождения и диагностические признаки борных минералов скарновых месторождений. М., Недра, 1964. 98 с.

Швыряева А. М. О возможности применения биогеохимического метода при поисках борного сырья.—В кн.: Геохимические поиски рудных месторождений в СССР. М., 1957, с. 305—312.

Швыряева А. М., Малашина Н. С. Морфологические изменения и заболевания растений в горной биогеохимической провинции.—Тр. Биогеохим. лаб., 1960, т. 11, с. 238—245.

Школьник М. Я. Роль и значение бора и других микроэлементов в жизни растений. М., Изд-во АН СССР, 1939. 222 с.

Школьник М. Я. Значение микроэлементов в жизни растений и в земледелии. М., Изд-во АН СССР, 1950. 512 с.

Школьник М. Я. О физиологической роли микроэлементов у растений.—В кн.: Микроэлементы в жизни растений и животных. М., 1952, с. 39—54.

Школьник М. Я. О биологической роли бора в растительных организмах.—Успехи современной биологии, 1955, т. 40, вып. 2, с. 211—229.

Шоу Д. М. Геохимия микроэлементов кристаллических пород. Л., Наука, 1969. 208 с.

Эллис А. Дж. Геохимия гидротермальных районов.—В кн.: Проблемы геохимии. М., 1965, с. 167—179.

Эффендиев Г. Х., Рзазаде П. Ф. Сорбционный метод извлечения бора из вод и рассолов.—Тр. Ин-та химии АН Азербайджанской ССР, Баку, 1955, с. 124—159.

Яковleva B. B. О роли бора в углеводном обмене растений.—В кн.: Микроэлементы в жизни растений и животных. М., 1952, с. 137—149.

Яржемский Я. Я. Проблемы поисков борного сырья в галогенных толщах СССР.—Сов. геология, 1958, № 7, с. 4—14.

Распределение средних содержаний валовых (\bar{X}_n), воднорастворимых ($\bar{X}_{водн}$) и кислотнорасторимых ($\bar{X}_{кисл}$) форм бора в некоторых почвах Советского Союза

Ассоциации почв	Генерации почв	Семейства почв	Типы почв	Почвообразующие породы	Генетические горизонты почв	\bar{X}_B , млн m^{-2}	$\bar{X}_{водн}$, млн m^{-2}	$\bar{X}_{кисл}$, млн m^{-2}	Выход воднорасторимой формы бора, %	Выход кислотно-расторимой формы бора, %	Район исследований
						(\bar{X}_n)	($\bar{X}_{водн}$)	($\bar{X}_{кисл}$)			
Khnatse Rephobne			Альпийские горные луговые темно-бурые	Элювио-делювий биотит-рогообманковых гранодиоритов	A _{fu}	50 (15)	4,4 (8)	8,8	1,2 (8)	2,5	Чаткальский хр. Южная Киргизия
					B _{mh} BC C _{stal}	56 (15) 47 (15) 31 (15)	1,6 (8) 0,8 (8) 0,4 (8)	2,9 1,8 1,3	1,0 (8) 0,6 (8) 0,3 (8)	1,8 1,3 1,0	
Svabaltse Rephobne			Субальпийские горные луговые светло-бурые	Элювио-делювий слабогуттмалинизованных гранодиоритов	A _{uf} B _{mh} BC C _{stal}	85 (4) 88 (4) 80 (4) 44 (4)	1,8 (4) 1,5 (4) 1,5 (4) —	1,5 1,3 1,2 —	1,1 (4) 1,0 (4) 0,7 (4) —	1,3 1,3 0,9 —	Хр. Хамар-Дабан (Южное Прибайкалье)
Tymycoffne			Кислые мерзлотно-таежные неоподзоленные на массивных	Элювио-делювий гнейсов	A _{fu} A _{fu} B _h B _{hFe} BC C _{stal}	25 (42) 25 (44) 25 (40) 18 (17) 12 (19)	2,7 (4) 2,7 (4) 10,8 (4) 5,3 (4) —	10,8 11,0 43,3 5,3 —	— — — — —	— — — — —	Хр. Хамар-Дабан (Южное Прибайкалье)

кристаллических породах (гаэжные ортоподбуры)	Элювио-деловий аляскитовых гранитов	A_0	24 (31)	12,3 (4)	51,2	—	—
		$A_{uf}B_h$ $B_{hFe}Al$ C_{stal}	24 (30) 25 (34) 19 (19) 8 (8)	5,7 (4) 3,0 (4) — —	23,7 12,0 — —	—	—
Элювио-деловий биотит-роговообманковых гранодиоритов		A_{of}	17 (20)	1,5 (10)	8,0	5,8 (8)	30,5
		$A_{uf}B_h$ $B_{hFe}Al$ $B_{Fe}Al$ BC C_{stal}	18 (20) 19 (20) 18 (20) 17 (20) 7 (20)	— 1,9 (8) — 1,4 (4) —	11,2 — — 8,2 —	6,0 (12) — — 5,4 (4) —	— 35,3 — 31,8 —
Элювио-деловий вулканогенных пород кислого состава		A_{uf}	59 (109)	9,0 (8)	15,3	12,0 (8)	20,3
		$A_{uf}B_h$ BC C_{stal}	45 (112) 44 (113) 43 (41)	4,5 (8) 2,3 (8) —	10,0 5,2 —	5,0 (8) 9,0 (8) —	11,1 20,5 —
Элювио-деловий вулканогенных пород среднего основного состава		A_0A_{fu}	27 (20)	—	—	—	—
		B_{hFe} BC C_{stal}	38 (20) 37 (20) 41 (10)	1,4 (4) — —	3,7 — —	15,4 (4) — —	40,5 — —
Кинчхе	Анфилиты	A_0A_{fu}	38 (20)	—	—	—	—
		$B_{hFe}Al$ BC C_{stal}	56 (20) 58 (20) 34 (10)	— — —	— — —	— — —	— — —

Съезжатель

Кинчхе

Анфилиты

Продолжение прилож.

Ассоциации почв	Генерации почв	Семейства почв	Типы почв	Почвообразующие породы	Генетические горизонты почв	$\bar{X}_{B'}$, м.н. ⁻¹	$\bar{X}_{\text{волн}}'$, м.н. ⁻¹	Выход волнораспространяющейся боры, %	$\bar{X}_{\text{кина}}$, млн ⁻¹	Выход кислотно-расщепляемой формы боры, %	Район исследований
YAPMATHO-ФИБРАТНІЕ KINCJHE RYMYCOBRIE	Горные бурые почвы широколиственных и смешанных лесов	Кислые дерновые лесные неоподзоленные почвы на древнем речном аллювию	Комплекс перемежающихся песков и глин	A _{of} A _{uf} B _h B _h B _h Fe, Al BC C _{stal}	19 (15) 17 (15) 17 (15) 12 (15) 11 (15) 9 (20)	— — — — — —	— — — — — —	— — — — — —	— — — — — —	— — — — — —	Курбинский хр. (Западное Забайкалье)
ORJINENHIFIЕ YAPMATHO-ФИБРАТНІЕ CRUMHENHIFIЕ	Горные бурые почвы широколиственных и смешанных лесов	Эловий полимиктовых песчанников	Эловий деловий липаритов	A _{fu} B _m BC C _{stal}	50 (12) 60 (11) 60 (8) 50 (4)	0,6 0,7 8,8 —	1,2 1,1 14,7 —	— — — —	— — — —	— — — —	Xр. Сихотэ-Алинь (Южное Приморье)
YAPMATHO-ФИБРАТНІЕ KINCJHE RYMYCOBRIE	Горные бурые почвы широколиственных и смешанных лесов	Глинистая кора выветривания гранодиорит-порфиров	Глинистая кора выветривания гранодиорит-порфиров	A _{fu} B _{1m} B _{2m} BC C _{stal}	30 (15) 20 (15) 80 (14) 20 (14) 30 (6)	4,0 (2) 0,0 (2) 1,2 (2) 16,6 (2) 0,0 (2)	13,3 0,0 1,6 4,3 0,0	25,0 (2) 0,0 (2) 1,8 (2) 4,3 (2) 0,3 (2)	83,3 0,0 2,2 21,6 0,0	Побережье Японского моря (Приморский край)	

Бытующие		Карликовые иллювиально-гумусовые подзолы редкоколесий		Подзолистые ильино-вялочно-гумусово-железистые таежные		Элювио-делювий гранит-порфиров		Карликовые иллювиально-гумусовые подзолы редкоколесий		Элювио-делювий гранитов	
A_{0f}/n	B_p^m	A_0E_p	E_p	A_0A_{fu}	E_p	A_0A_{fu}	B_p^m	A_0E_p	E_p	A_0A_{fu}	B_p^m
70 (16)	80 (18)	20 (15)	0,02 (10)	0,1	—	—	—	—	—	—	—
90 (16)	1,6 (4)	20 (15)	0,02 (10)	0,1	—	—	—	—	—	—	—
40 (5)	1,3 (4)	20 (17)	0,04 (10)	0,2	—	—	—	—	—	—	—
—	—	11 (10)	—	—	—	—	—	—	—	—	—
2,2 (4)	2,0 (4)	—	—	—	—	—	—	—	—	—	—
2,0 (4)	1,3 (4)	—	—	—	—	—	—	—	—	—	—
1,3 (4)	—	—	—	—	—	—	—	—	—	—	—
—	—	—	—	—	—	—	—	—	—	—	—
Хр. Большой Кавказ	Хр. Джу́р-Джу́р (Хада́ровский край)	Хр. Джу́р-Джу́р (Хада́ровский край)	Хр. Джу́р-Джу́р (Хада́ровский край)	Хр. Джу́р-Джу́р (Хада́ровский край)	Хр. Джу́р-Джу́р (Хада́ровский край)	Хр. Джу́р-Джу́р (Хада́ровский край)	Хр. Джу́р-Джу́р (Хада́ровский край)	Хр. Джу́р-Джу́р (Хада́ровский край)	Хр. Джу́р-Джу́р (Хада́ровский край)	Хр. Джу́р-Джу́р (Хада́ровский край)	Хр. Джу́р-Джу́р (Хада́ровский край)

Продолжение приложения

Ассоциации почв	Генерация почв	Семейства почв	Типы почв	Почвообразующие породы	Генетические горизонты почв	\bar{X}_{H} , м.дн ⁻¹	$\bar{X}_{\text{водн}}$, м.дн ⁻¹	Выход вонюческо-тваримой боры, %	$\bar{X}_{\text{кисл}}$, млн ⁻¹	Выход кислотно-расторимой боры, %	Район исследований
Кислые рифейско-лишайниковые Kisliche rifyeiko-lyshajniche	Горные	Кислые дерновые слабоподзолистые почвы средней тайги	Элювио-делювийский кироксен-амфиболитовых гнейсов	A+B+BC C_{stat}	20 (12) 15 (10)	—	—	—	—	—	Алданское нагорье (Южная Якутия)
Лиственнично-хвойно-альпийские Ljubnennye-hvojno-alpijskie	Горные	Горные серо-бурые оподзоленные почвы широколиственных и смешанных лесов	Элювио-делювийский кислых эфузивов	$A_0 A_{uf}$ $E_{pl} B_t$ BC C_{stat}	43 (32) 41 (32) 33 (35) 25 (22)	0,7 (27) 0,4 (27) 1,5 (27) —	—	—	—	—	Хр. Малый Хинган (Хабаровский край)
Кислые рифейско-лишайниковые Kisliche rifyeiko-lyshajniche	Горные	Кислые таежные подоесы	Бескарбонатные тяжелые делювияль-суглинки	$A_0 A_{uf}$ B^{gFe} C_g	40 (5) 60 (5) 60 (5)	0,9 (5) 4,8 (5) 1,7 (5)	—2,2 8,0 2,0	—	—	—	Хр. Малый Хинган (Хабаровский край)

Дерново-аллювиаль-ные мерзлотно-слоистые почвы влаж-ных лугов	Мерзлый аллювио-дельвий граноди-оритов	$A_0 A_{fu}$ B_g A_{fu} $BC C_{stal}$	40 (10) 40 (12) 60 (6) 70 (10)	6,8 (10) 0,5 (5) 0,8 (5) 4,5 (5)
Pойменные лугово-лесные	Мерзлые пестрано-сулиннистые аллювиаль-ные отло-жения	A_{fu} B B_g BC_g C_{stal}	6 (10) 10 (10) 12 (10) 19 (10) 22 (8)	— 1,0 (2) — 1,5 (2) —
Kисличе синер-гидро жеффирие	Kисличе синер-гидро жеффирие			
Taежно-мерзлотные кислые глеевые перегной-ные почвы марей	Иловатые бескарбо-натные сулинки и глины	A_0 A_{fu} AB_g B_g C	20 (6) 19 (6) 13 (5) 8 (8) 16 (8)	— — — — —
Kисличе абрази-вие	Kисличе абрази-вие			
Kисличе торфниче-ское	Kисличе торфниче-ское	T ₁ T ₂	19 (4) 11 (4)	— —
Kисличе среднемоц-ные почвы вениково-осоковых болот	Kисличе среднемоц-ные почвы вениково-осоковых болот			1,0 (1) —
Xp. Джуг-джур (Хабров-ский край)				Хр. Джуг-дружур (Западное Забайкалье)

Продолжение приложений

Ассоциации почв	Генерации почв	Семейства почв	Типы почв	Почвообразующие породы	Генетические горизонты почв	\bar{X}_B^1 м.лн. ⁻¹	\bar{X} волн ¹ м.лн. ⁻¹	Выход волнорасчлененных форм бора, %	$\bar{X}_{\text{КИСА}}$ м.лн. ⁻¹	Выход кислотно-расторимых форм бора, %	Район исследований
hartzrie	Knigrie skrabaab-	Knigrie minnepar-	hre (gojotrije)	Knigrie minnepar-	hre gojotrije	A_{hf} $A_{fh}E_{ph}$ $B_m C_a stal$ BC C_{stal}	30 (6) 20 (4) 20 (4) 20 (4) 10 (4)	1,3 (4) — 12,8 (4) 14,2 (4) —	4,0 — 61,5 69,5 —	— — — — —	Xp. Сихотэ-Алинь (Приморский край)
hartzrie	Knigrie minnepar-	hre (gojotrije)	corbie nojpar-	corbie nojpar-	кора выветривания мелкозернистых липаритов	A_{hf} $A_{fh}E_{ph}$ $B_m C_a stal$ BC C_{stal}	30 (6) 20 (4) 20 (4) 20 (4) 10 (4)	1,3 (4) — 12,8 (4) 14,2 (4) —	4,0 — 61,5 69,5 —	— — — — —	Xp. Сихотэ-Алинь (Приморский край)
hartzrie	Мерзлотно-таежные остаточно-карбонат-	Элювио-деловий известняков и доломитов				A_{hf} A_{hBCa} BC C_{CaCo_3}	20 (8) 30 (11) 15 (13) 20 (8)	4,2 (5) 0,8 (5) 7,5 (5) —	0,8 0,3 1,2 —	— — — —	Xp. Джугджур (Хабаровский край)

ные перегнойные	A _{of}	100 (11)	1,6	1,4	23,0 (7)	23,0	Нерчинский хр. (Восточное Забайкалье)
	A _{fh}	60 (11)	0,2	0,2	8,0 (7)	11,0	
Хриевато-суглинистая кора выветривания доломитов	B _{hCa}	70 (11)	0,7	0,8	12,0 (7)	15,0	Хр. Улан-Бургасы (Западное Забайкалье)
	BC	70 (13)	0,3	0,7	6,0 (7)	10,0	
Хриевато-суглинистая кора выветривания доломитов	C _{CaCO₃}	10 (11)	—	—	—	—	Хр. Хамар-Дабан (Южное Прибайкалье)
	A _{of}	38 (20)	2,0 (5)	6,4	12,6 (5)	30,5	
Элювио-деловий мраморов	A _{fh}	32 (20)	—	—	—	—	Хр. Хамар-Дабан (Южное Прибайкалье)
	B _{hCa}	30 (20)	3,6 (5)	10,5	8,3 (5)	26,0	
Элювио-деловий кальцифоров	BC	23 (20)	2,5 (5)	9,5	4,0 (5)	17,0	Хр. Хамар-Дабан (Южное Прибайкалье)
	C _{CaCO₃}	10 (20)	—	—	—	—	

Литогенные отложения-карги

Литогенные алювиально-глинистые

Красногорские глины

Субаэральные гуматно-кальциевые

Нейтральные гумусовые

Кальций-гумусовые степные

Обыкновенные среднегумусные черноземы типичных степей	Тяжелые лессивидные суглинки и глины	$A_h \text{ Ca}$ B_{CaCO_3} B_{CCaCO_3} C_{CaCO_3}	39 (74) 40 (72) 36 (47) 70 (50)	2,3 (10) 3,4 (10) 1,7 (10) —	6,6 8,3 5,0 —	— — — —	Кокчетавская возвышенность (Северный Казахстан)
Черноземы солонцеватые сухих степей	Тяжелые засоленные глины и суглинки	$A_h \text{ Ca}$ B_{CaCO_3} $B_{t\text{Na}}$	50 (92) 60 (90) 70 (49)	2,0 (10) 0,5 (10) 4,5 (10)	3,6 0,9 6,7	— — —	— — —
Черноземы южные среднемощные среднегумусные	Карбонатные леско-видные суглинки	$A_h + B_{\text{CaCO}_3}$	47 (25)	—	—	—	—
Черноземы южные мощные среднегумусные гумусово-злаково-разнотравные степи	Бурые и светло-бурые карбонатные коры выветривания	$A_h \text{ Ca}$ B_{CaCO_3} B_{CCaCO_3} C_{CaCO_3}	50 (11) 51 (7) 40 (11) 20 (15)	2,1 (11) 1,8 (7) 2,2 (11) —	3,6 4,8 4,0 —	— — — —	Волынь-Подольская возвышенность (Украина)
Маломощные черноземные земновидные горные степи	Элювиоделовой сланцев и гнейсов	$A_h \text{ Ca}$ B_{CaCO_3} B_{CCaCO_3} C_{Casat}	30 (37) 30 (35) 30 (20) 10 (33)	1,6 (10) 0,9 (10) 1,9 (10) —	5,0 3,4 7,9 —	— — — —	Прелгорья Большого Кавказа
							Кокчетавская возвышенность (Северный Казахстан)

Продолжение прилож.

нейтральные и слабощелочные

Слабощелочные оглиненные

Кальций-гумусовые оглиненные

Ассо- циации почв	Гене- тичес- ствия почв	Семей- ства почв	Типы почв	Почвообра- зующие породы	Генетические горизонты почв	\bar{X}_B' , млн. ⁻¹	$\bar{X}_{\text{водн}}$, млн. ⁻¹	Выход воднорас- творимой формы бора, %	$\bar{X}_{\text{кисл}}$, млн. ⁻¹	Выход кислотно- рас- творимой формы бора, %	Район исследований
Светло- коричневые почвы ксе- рофитных полянико- злаковых степей	Обмызвест- кованный элювио- делялювий биотит- рогоово- маковых граноди- ритов	A _h Ca B _{mstal} B _{C/CaCO₃}	50 (17) 50 (8) 50 (17)	1,9 (2) 0,5 (2) 0,9 (2)	3,4 1,2 2,0	0,8 (2) 0,3 (2) 0,5 (2)	1,4 0,8 1,0	Чаткаль- ский хр. (Южная Киргизия)			
Выщелоч- енные серо-корич- невые почвы субтропи- ческих ксе- рофитных кустарников	Обызвест- кованный элювио- делювий гравий-пор- фиров	A _h Ca B _{mstal} B _{Casial} C _{Casial}	50 (17) 50 (13) 40 (15) 40 (17)	4,9 (9) 1,8 (9) 3,8 —	8,4 4,5 — —	— — — —	— — — —	Прелгорья Большого Кавказа			

Продолжение приложений

Ассоциации почв	Семейства почв	Типы почв	Почвообразующие породы	Генетические горизонты почв	$\bar{X}_{\text{вн.}}$, млн. ⁻¹	$\bar{X}_{\text{водн.}}$, млн. ⁻¹	Выход воднорастворимой формы бора, %	$\bar{X}_{\text{кисл.}}$, млн. ⁻¹	Выход кислотно-расстворимой формы бора, %	Район исследований
Karpatskaya rynnycovaya chernozemnoye		Черноземо-видные почвы высокогорных степей	Делювий миоцен-плиоценовых песчаников	A _h B _{CaCO₃} C _{CaCO₃}	61 (25) 38 (25) 32 (25)	— — —	— — —	— — —	— — —	Предгорья Варденинского хр. (Армения)
Karpatskaya rynnycovaya chernozemnoye		Горные темно-каштановые почвы сухих степей	Элювио-делювий туфов и туфоконгломератов	A+B+BC	70 (25)	—	—	—	—	
Karpatskaya rynnycovaya chernozemnoye		Сероземы типичные пустынных степей	Гипсоминеральные третичные и четвертичные суглинки	A+B+BC C _{CaSO₄}	66 (7) 60 (7)	— —	— —	— —	— —	Предгорья Гиссар-

ского хр.
(Южная
Туркмения)

Светлые сероземы полынно-солняковых полупустынь	Соленоносные глины и суглинки	A+B+BC C_{sol}	135 (5) 150 (5)	—	—	—	—	—	—	—	—	—
Маломощные серо-земы полынно-солняковой пустыни	Эловий рыхлых сахаровидных гипсов	A+B+BC C_{CaSO_4}	25 (9) 10 (9)	—	—	—	—	—	—	—	—	—
Бурые солонцеватые почвы эфемерово-злаковой полупустыни	Засоленные четвертичные глины и суглинки	A/CaNa B/Na B/CaCO ₃ B/CaSO ₄ BC ¹ sol BC ² sol C_{sol}	47 (39) 59 (18) 38 (50) 41 (33) 66 (50) 21 (50) 81 (8)	1,6 (5) — 1,6 (5) 16,0 (5) — — —	3,4 — 4,2 39,0 — — —	— — — — — — —	— — — — — — —	— — — — — — —	— — — — — — —	— — — — — — —	— — — — — — —	
Серо-бурые солонцеватые почвы солняково-эфемеровой пустыни	Загипсованные глины	A/CaNa B/Na B/CaCO ₃ B/CaSO ₄ BC ¹ sol BC ² sol C_{sol}	47 (9) 66 (4) 56 (4) 50 (9) 34 (2) 53 (4) 81 (3)	3,8 (3) — 12,8 (4) 12,8 (4) — 14,4 (4) —	8,1 — 22,8 25,6 — 27,1 —	— — — — — — —	— — — — — — —	— — — — — — —	— — — — — — —	— — — — — — —	— — — — — — —	

Фырталы-кесе-

Сүзапарлык ойнаштар

Сүзапарлык тұмандо-қарташке біреу

Продолжение прилож.

Ассоциация почв	Генерации почв	Семейства почв	Типы почв	Почвообразующие породы	Генетические горизонты почв	$\bar{X}_{B'}$, м.н. ⁻¹	\bar{X} волн ¹ , м.н. ⁻¹	Выход волнораспространяющейся формой бора, %	$\bar{X}_{\text{киса}}$, м.н. ⁻¹	Выход кислотно-растворимой формой бора, %	Район исследования
mejoriphie karpinnye-lymy-	bre reeble	bre reeble	Carapakariphie Lhyporehno- oobretkorobnphie lytorebre	Carapakariphie Lhyporehno- oobretkorobnphie lytorebre	Carapakariphie Lhyporehno- oobretkorobnphie lytorebre	A _h BC _{CaCO₃} BC _g C _g	40 (30) 40 (30) 40 (16) 70 (10)	3,5 (5) 3,0 (5) 2,0 (5) —	8,5 8,0 6,0 —	— — — —	Кокчетав- ская возвы- щенность (Северный Казахстан)
reaplinn-lymy-	bre reeble	bre reeble	Allovoindelovye lуговые черноземо- видные почвы типчаково- ковых	Pokrovnye суглинки	Лугово- черноземо- видные почвы типчаково- ковых	A _h BC _{CaCO₃} BC _g C _g	53 (42) 50 (21) 49 (13) 53 (8) 66 (15) 100 (11)	4,2 (10) 3,2 (10) 1,9 (10) — 3,2 (10) —	8,5 6,4 4,0 — 5,2 —	— — — — — —	Предгорья Верденис- ского хр. (Армения)
mejoriphie karpinnye	reaplinn-lymy-	bre reeble	Dernovo- karbonatnye taejenne gleevye	Karbonat- nyy delevoiy smeshannogo sostava	T _{Ca} G _{Ca}	30 (11) 30 (9)	1,7 (3) 0,4 (3)	6,2 1,2	— —	хр. Джу- джур (Хаба- ровский край)	

Кислото- чные суглини-	Гидрохлори- ческие суглини- ки	Солончаки	Солонцы	Соленосные и четвер- тичные глины и суглинки	A + B _{Na}	165 (4)	—	—	—	—	Нерчин- ский хр. (Восточное Забайкалье)
Кислото- чные суглини-	Гидрохлори- ческие суглини- ки	Солончаки	Солонцы	Соленосные и четвер- тичные глины и суглинки	A _f NaE B B _{Na} A/E _{st} E _g B _T Na	54 (90) 65 (90) 80 (56) 40 (15) 40 (15) 40 (11)	1,7 (5) 1,0 (5) 15,5 (5) 4,2 (5) 3,2 (5) 2,5 (5)	2,8 1,5 21,2 9,5 7,3 5,0	— — — — — —	— — — — — —	Кокчетав- ская возвы- шенность (Северный Казахстан)
Кислото- чные суглини-	Гидрохлори- ческие суглини- ки	Солончаки	Солонцы	Хлоридно- сульфатно- натриевые солончаки	A + B + BC	100 (3)	—	—	—	—	Предгорья Дарджа-Кум (Юго- Западная Туркмения)
Кислото- чные суглини-	Гидрохлори- ческие суглини- ки	Солончаки	Солонцы	Хлоридно- сульфатно- натриевые солончаки	A _{sol} B BC	50 (2) 43 (2) 43 (2)	— — —	— — —	— — —	Пустыня Дарджа-Кум (Юго- Западная Туркмения)	

Продолжение прилож.

Ассоциация почв	Генерации почв	Семейства почв	Типы почв	Почвообразующие породы	Генетические горизонты почв	$\bar{X}_{\text{в}, \text{млн}^{-1}}$	$\bar{X}_{\text{волн}, \text{млн}^{-1}}$	Выход водно-растровой формой бора, %	$\bar{X}_{\text{кисл}, \text{млн}^{-1}}$	Выход кислотно-расщепляемой формой бора, %	Район исследований
Chlorhydratnye Hyperzemske Chalcocarbaziphilic Mehoohne	Хлоридно-натриево-магниевые приморские корковые солончаки	Пески и супеси	A _{sol} B BC	75 50 (25) 33 (25)	— — —	— — —	— — —	— — —	— — —	Полустров Чалекен (Юго-Западная Туркмения)	
Chlorhydratnye Hyperzemske Chalcocarbaziphilic Mehoohne	Хлоридно-кальций-натровые солончаки грязевых вулканов	Засоленные суглинки и глины	A _{sol} B BC	150 (13) 40 (13) 52 (13)	— — —	— — —	— — —	— — —	— — —	Восточное побережье Каспийского моря	
Chlorhydratnye Hyperzemske Chalcocarbaziphilic Mehoohne	Шелочные болотные глеевые почвы	—	A _h A _{B sol} B _{gsol}	163 (14) 102 (14) 160 (14)	— — —	— — —	— — —	— — —	— — —	Кокчетавская возвышенност (Северный Казахстан)	

Приимечание. В скобках приведено число определений.

ОГЛАВЛЕНИЕ

Предисловие	3
Введение	5

Часть I

РАСПРЕДЕЛЕНИЕ БОРА В ПОРОДАХ, ПОЧВАХ, РАСТЕНИЯХ, ВОДАХ

Глава 1. Бор в осадочных породах	10
Глава 2. Бор в вулканогенных и вулканогенно-осадочных образований	20
Глава 3. Бор в интрузивных, метаморфических и гидротермально измененных породах	26
Глава 4. Бор в почвах	42
Глава 5. Бор в растениях	47

Часть II

ЭНДОГЕННЫЕ ОРЕОЛЫ

Глава 1. Эндогенные ореолы месторождений бора известково-скарновой формации	56
Глава 2. Эндогенные ореолы месторождений бора магнезиально-скарновой формации	74
Глава 3. Эндогенные ореолы бора в неборных типах месторождений	92

Часть III

ЭКЗОГЕННЫЕ ОРЕОЛЫ

Глава 1. Литогеохимические ореолы рассеяния бора в почвах	98
Глава 2. Биогеохимические ореолы	114
Глава 3. Гидрогохимические ореолы	121

Часть IV

МЕТОДИКА ГЕОХИМИЧЕСКИХ ПОИСКОВ ЭНДОГЕННЫХ МЕСТОРОЖДЕНИЙ БОРА

Глава 1. Геохимические критерии поисков эндогенных борных месторождений	125
Глава 2. Методика геохимических работ	128
Список литературы	133
Приложение	140

ИБ № 2933

ГЕОХИМИЧЕСКИЕ КРИТЕРИИ ПОИСКОВ
МЕСТОРОЖДЕНИЙ БОРА

Редактор издательства С. Г. Бароянц
Обложка художника В. К. Сафонова
Художественный редактор Е. Л. Юрковская
Технические редакторы Л. Я. Голова,
О. А. Болтунова
Корректор Л. В. Сметанина

Сдано в набор 05.03.79. Подписано в печать 07.09.79.
Т-14999. Формат 60×90^{1/16}. Бумага № 2. Гарнитура литер.
Печать высокая. Печ. л. 9,75. Уч.-изд. л. 10,47.
Тираж 600 экз. Заказ 176/12295—2. Цена 1р. 60 к.

Издательство «Недра», 103633, Москва, К-12, Третьяковский
проезд, 1/19
Ленинградская картографическая фабрика объединения
«Аэрогеология»